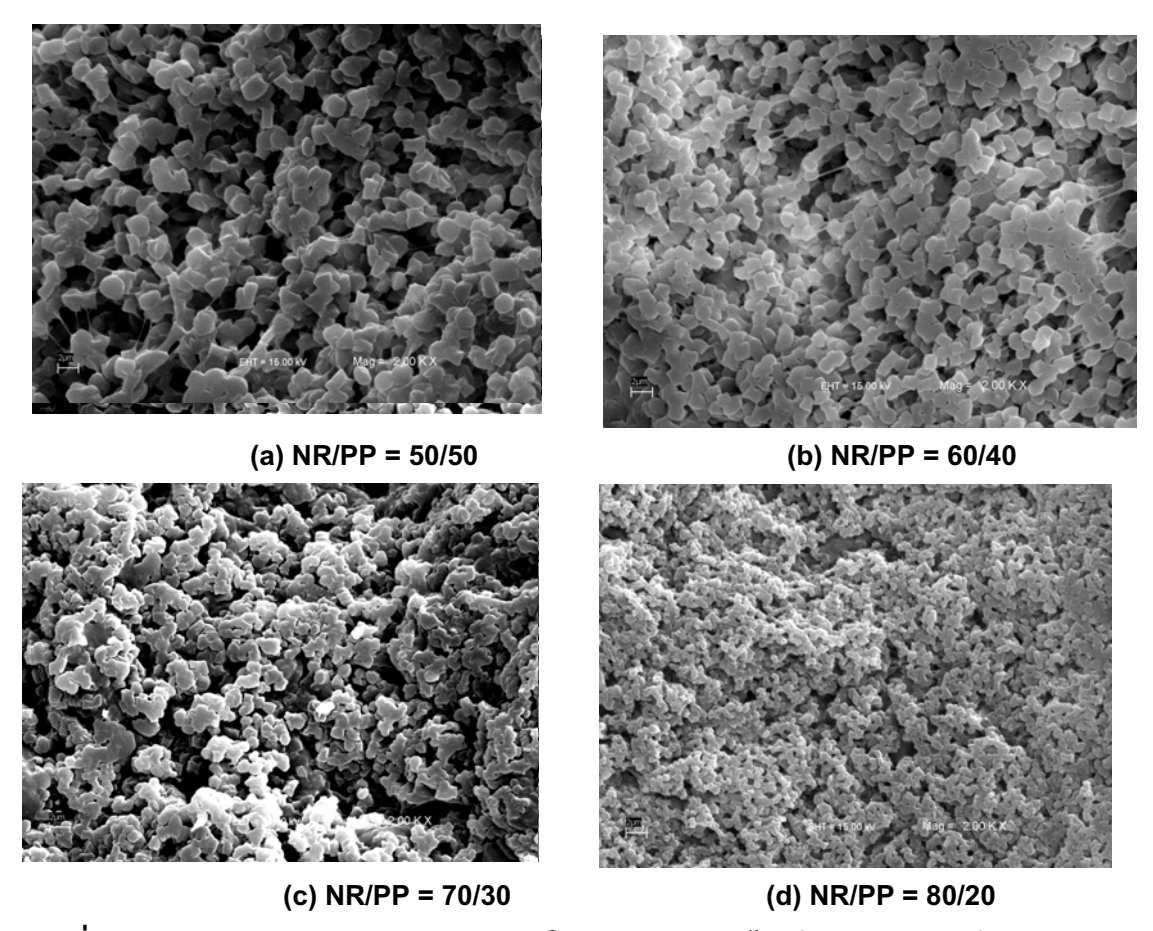


ร**ูปที่ 62** ความสัมพันธ์ระหว่างความหนืดเชิงซ้อนกับความถี่ของเทอร์โมพลาสติกวัลคาในซ์จาก การเบลนด์ยางธรรมชาติกับพอลิโพรไพลีนที่แปรอัตราส่วนการเบลนด์

3.2.4 สัณฐานวิทยาของเทอร์โมพลาสติกวัลคาในซ์

วิเคราะห์สัณฐานวิทยาของเทอร์โมพลาสติกวัลคาในซ์จากการเบลนด์ NR/PP ที่แปร อัตราส่วนการเบลนด์ได้ผลแสดงดังรูปที่ 63 พบว่าการเพิ่มปริมาณยางธรรมชาติส่งผลให้อนุภาค ของยางมีที่กระจายตัวใน PP มีขนาดเล็กลง ในทางกลับกันพบว่าการเพิ่มปริมาณพอลิโพรไพ ลีนจะทำให้เกิดเป็นโพรง (cavitation site) ใน TPVS ที่มีขนาดใหญ่ขึ้น ดังนั้นขนาดเฟสของ ยางวัลคาในซ์ที่กระจายตัวในเฟสพอลิโพรไพลีนมีแนวโม้มขนาดลดลงตามการเพิ่มปริมาณยาง ทั้งนี้เนื่องจากอนุภาคยางที่เป็นเฟสกระจายจะเกิดได้ดีเมื่อมีแรงเฉือนสูงในขณะเตรียมเทอร์โม พลาสติกวัลคาในซ์ การเพิ่มปริมาณยางธรรมชาติทำให้ความหนืดของมีค่าสูงขึ้น ส่งผลให้เกิด การเฉือนสูงขึ้นเพื่อทำให้นุภาคยางเกิดการกระจายเป็นอนุภาคที่มีขนาดเล็ก



ร**ูปที่ 63** ลักษณะทางสัณฐานวิทยาของเทอร์โมพลาสติกวัลคาในซ์จากการเบลนด์ยางธรรมชาติ กับพอลิโพรไพลีนที่แปรอัตราส่วนการเบลนด์

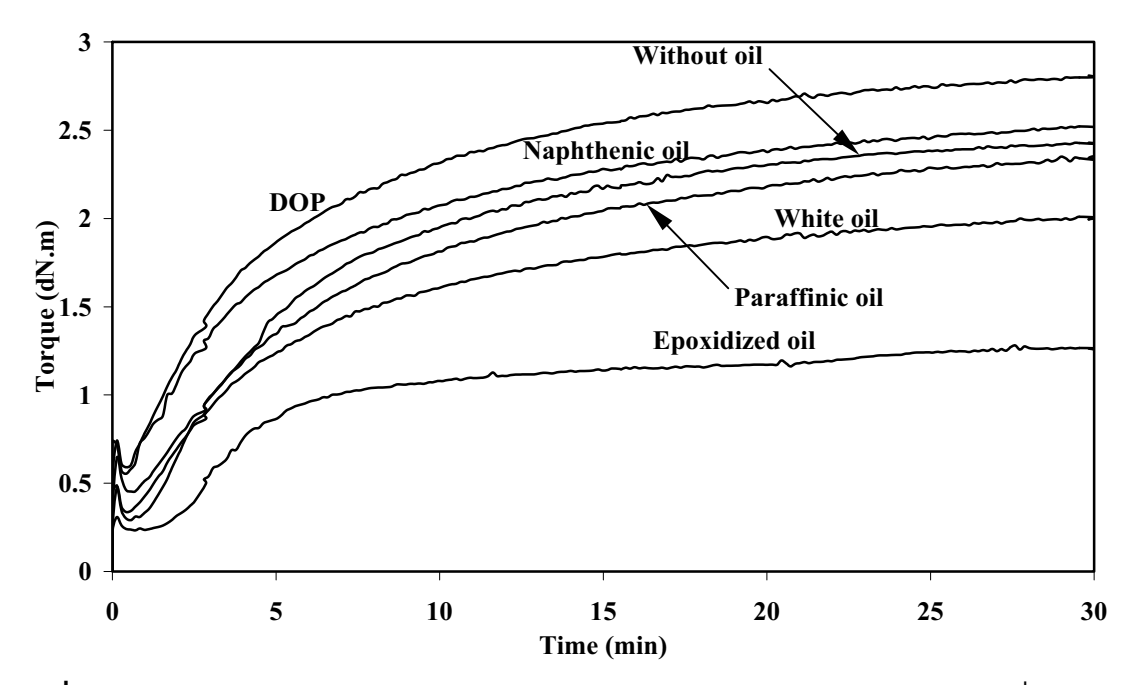
จากสมบัติต่างๆ จะเห็นว่าอัตราส่วนการเบลนด์ NR/PP ที่เหมาะสมที่สุดคือ 50/50 แต่ มีสมบัติด้านความสามารถในการคืนรูปที่ด้อย สมบัตินี้มีความความสำคัญในวัสดุประเภทนี้ ส่วน สมบัติด้านการใหลก็พบว่าที่อัตราส่วนดังกล่าวมีการใหลได้ดีที่สุด เนื่องจากมีความหนืดที่ต่ำจึง ทำให้ลดพลังงานในการแปรรูป แต่เทอร์โมพลาสติกวัลคาในซ์ที่ต้องการต้องมีสมบัติด้านความ ยืดหยุ่นที่ดีโดยเฉพาะสมบัติความสามารถในการยืดและสมบัติความสามารถในการคืนรูป ซึ่งที่ อัตราส่วน 50/50 มีพฤติกรรมคล้ายพลาสติกมากทำให้สมบัติความสามารถในการคืนรูปต่ำ ดังนั้นจึงเลือกอัตราส่วน NR/PP = 60/40 ในการศึกษาตอนต่อไป เนื่องจากมีสมบัติด้านความ ยืดหยุ่นที่ดีกว่า และสมบัติอื่นๆเป็นที่ยอมรับได้

3.3 อิทธิพลของชนิดน้ำมันต่อสมบัติเทอร์โมพลาสติกวัลคาไนซ์

เตรียมยางธรรมชาติผสมสารเคมีโดยใช้ระบบฟินอลิก (HRJ-10518) เป็นระบบการวัล คาในเซชัน ผสมยางกับสารเคมีโดยแปรน้ำมัน 5 ชนิด ได้แก่ White oil, Epoxidized oil, Naphthenic oil, Paraffinic oil และ DOP แล้วศึกษาลักษณะการวัลคาในซ์ แล้วนำยางผสม สารเคมีมาเบลนด์กับพอลิโพรไพลีน ใช้อัตราส่วนการเบลนด์ NR/PP = 60/40 จากนั้นนำเทอร์ โมพลาสติกวัลคาในซ์ที่ได้ไปทดสอบสมบัติต่างๆ

3.3.1 ลักษณะการวัลคาไนซ์ของยางธรรมชาติ

รูปที่ 64 แสดงกราฟการวัลคาในซ์ของยางธรรมชาติที่ผสมน้ำมันชนิดต่าง ๆโดยใช้ระบบ การวัลคาในซ์แบบฟินอลิก ได้สมบัติการวัลคาในซ์ต่าง ๆสรุปดังในตารางที่ 40



ร**ูปที่ 64** กราฟความสัมพันธ์ระหว่างทอร์คกับเวลาการวัลคาในเซชันของยางธรรมชาติที่แปร ชนิดของน้ำมันปริมาณ

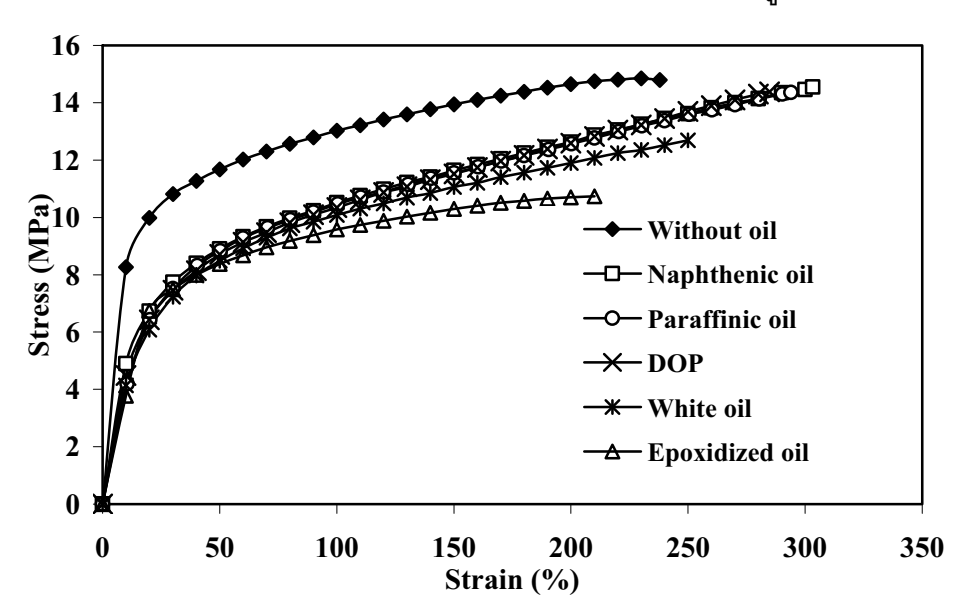
ตารางที่ 40 ค่าทอร์คสูงสุด (MH), ค่าทอร์คต่ำสุด (ML), ค่าผลต่างทอร์คสูงสุดกับต่ำสุด (MH-ML), เวลาสก็อต (Scorch, T_{S1}) และเวลาการวัลคาไนเซชัน (T_{C90}) ของยางธรรมชาติวัลคาไนซ์ ที่แปรชนิดของน้ำมัน จากเครื่อง MDR ที่อุณหภูมิ 180 °C

Oil types	MH	ML	MH-ML	T _{S1}	T _{C90}
	(dN.m)	(dN.m)	(dN.m)	(min)	(min)
Without oil	2.43	0.29	2.14	4.44	16.58
DOP	2.81	0.60	2.21	3.66	16.64
Paraffinic oil	2.47	0.45	2.02	4.42	18.11
Naphthenic oil	2.52	0.55	1.97	4.41	17.52
White oil	2.01	0.34	1.67	6.03	17.46
Epoxidized oil	1.28	0.23	1.05	24.21	20.33

จากตารางที่ 40 พบว่าน้ำมันที่มีผลต่อระบบการวัลคาในเซชันมากที่สุด คือน้ำมันอิพอก ใชด์ ส่วนน้ำมันแนฟเทนิก, น้ำมันพาราฟินิก, ไดออกทิลพะทะเลท และน้ำมันขาวมีผลต่อระบบ การวัลคาในเซชัน โดยระบบฟินอล็ก (HRJ-10518) น้อยกว่า ทั้งนี้อาจจะเนื่องมาจากโครงสร้าง ของน้ำมันอิพอกซิไซด์ มีส่วนของวงแหวนอิพอกไซด์ และพันธะ –C=O ซึ่งมีความเป็นขั้วสูงทำ ให้เข้ากับยางธรรมชาติไม่ดี เพราะยางธรรมชาติไม่มีสภาพขั้ว นอกจากนี้ HRJ-10518 ที่ใช้เป็น สารวัลคาในซ์มีหมู่ว่องไว คือ หมู่เมทิลลอล (-CH₃OH) ซึ่งจะว่องไวต่ออันตริกิริยากับหมู่อิพอก ไซด์ในน้ำมันอิพอกไซด์ ทำให้มีผลต่อการเกิดพันธะเชื่อมโยงกับยางธรรมชาติน้อยลง จึงส่งผล ให้ค่าทอร์คของยางวัลคาในซ์ที่ได้มีค่าต่ำที่สุด ส่วนน้ำมันอีก 4 ชนิดมีผลต่อลักษณะการวัลคา ในซ์ของยางธรรมชาติน้อย เนื่องจากมีความเป็นขั้วต่ำสามารถเข้ากับยางธรรมชาติได้ดี และ น้ำมันไม่มีส่วนที่เข้าทำปฏิกิริยาขัดขวางการเกิดพันธะเชื่อมโยงของยางธรรมชาติกับ

3.3.2 สมบัติเชิงกลของเทอร์โมพลาสติกวัลคาไนซ์

จากการนำเทอร์โมพลาสติกวัลคาในซ์ที่แปรชนิดน้ำมันโดยผสมในปริมาณเท่ากันคือ 20 phr ไปทดสอบความต้านทานต่อแรงดึง, ความสามารถในการยืด, ความสามารถในการคืนรูป ได้ผลการทดลองกราฟความสัมพันธ์ระหว่างความเค้นกับความเครียดดังรูปที่ 65



ร**ูปที่ 65** ความสัมพันธ์ระหว่างความเค้นกับความเครียดของเทอร์โมพลาสติกวัลคาในซ์จาก การเบลนด์ยางธรรมชาติกับพอลิโพรไพลีนที่แปรชนิดน้ำมัน อัตราส่วนการเบลนด์ NR/PP=60/40

จากรูปที่ 65 เมื่อพิจารณาความชันของกราฟในช่วงที่เป็นเส้นตรง พบว่าการเติมน้ำมัน ทำให้ความชันของกราฟลดลง หรือความแข็งตึงของเทอร์โมพลาสติกวัลคาในซ์มีค่าลดลง ซึ่ง พบว่าน้ำมันแนฟเทนิก, น้ำมันพาราฟินิก และไดออกทิลพะทะเลทมีความแข็งตึงใกล้เคียงกัน มาก ประเมินค่าความต้านทานต่อแรงดึง และค่าความสามารถในการยืดจนขาดจากจุดขาด ได้ผลดังตารางที่ 41 นอกจากนี้ในตารางนี้แสดงผลการทดสอบสมบัติความสามารถในการคืนรูป และความแข็งไว้ด้วย

ตารางที่ 41 ค่าความต้านทานต่อแรงดึง, ค่าความสามารถในการยืดจนขาด, ค่าความสามารถ ในการคืนรูป และค่าความแข็งของเทอร์โมพลาสติกวัลคาในซ์จากการเบลนด์ยางธรรมชาติกับ พอลิโพรไพลีนแปรชนิดน้ำมัน ใช้อัตราส่วนการเบลนด์ NR/PP = 60/40

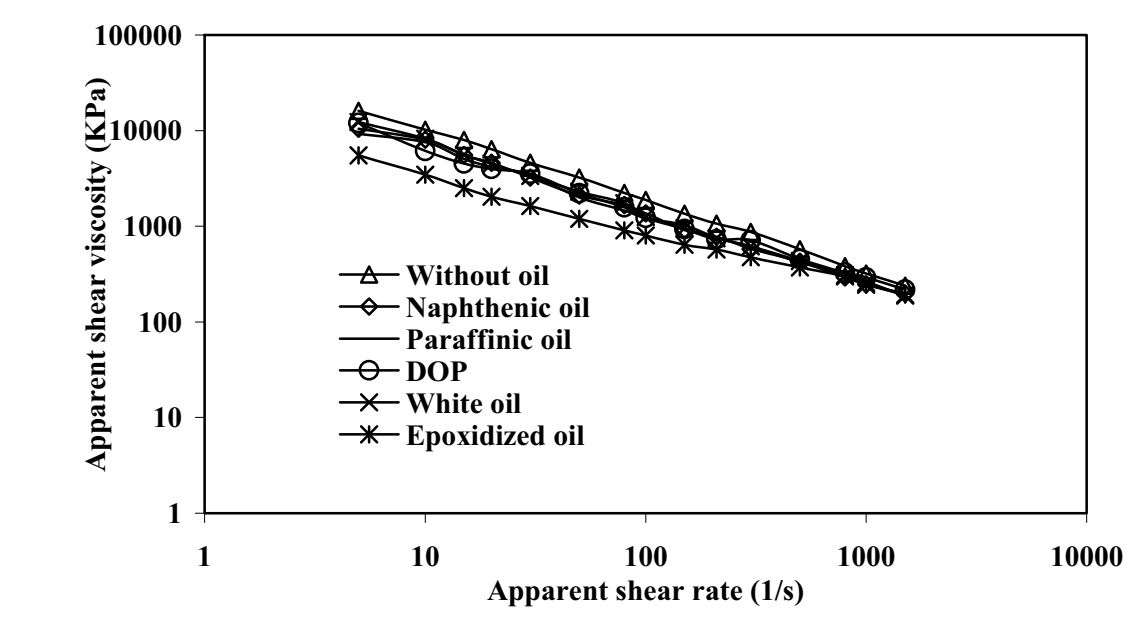
Oil types	Tensile	Elongation at	Tension set	Hardness
	strength	break	(%)	(Shore A)
	(MPa)	(%)		
Without oil	14.85	238	50.0	87.0
Naphthenic oil	14.54	303	25.0	84.5
Paraffinic oil	14.38	294	22.5	84.0
DOP	14.38	285	25.0	85.0
White oil	12.69	251	20.0	83.0
Epoxidized oil	10.76	210	35.0	83.0

จากตารางที่ 41 พบว่าน้ำมันที่ให้ TPVs ที่มีสมบัติความต้านทานต่อแรงดึงดี คือ น้ำมันแนฟเทนิก, น้ำมันพาราฟินิก และไดออกทิลพะทะเลท ส่วนน้ำมันขาวมีค่าความต้านทาน ต่อแรงดึงต่ำกว่าน้ำมันทั้งสามชนิดข้างต้น แต่น้ำมันอิพอกไซด์ให้ TPVs มีสมบัติความต้านทาน ต่อแรงดึงด้อยที่สุด ทั้งนี้เนื่องจากโครงสร้างของน้ำมันอิพอกไซด์มีส่วนของวงแหวนอิพอกไซด์ และพันธะ -C=O ซึ่งมีความเป็นขั้วสูงทำให้เข้ากับยางธรรมชาติไม่ดี นอกจากนี้สารวัลคาในซ์ คือฟินอลิกเรซิน (HRJ-10518) ซึ่งหมู่ว่องไว คือหมู่เมทิลลอล (-CH3OH) ซึ่งเข้ากันได้ดี กับน้ำมันอิพอกซิไดซ์ ทำให้รบกวนระบบการเชื่อมโยงของยางธรรมชาติ จึงส่งผลให้ยางมี ความแข็งแรงต่ำและความต้านทานต่อแรงดึงต่ำที่สุด ส่วนน้ำมันอีก 4 ชนิดมีผลต่อความ ต้านทานต่อแรงดึงน้อย เนื่องจากเกิดอันตรกิริยากับฟินอลิกเรซินต่ำและส่วนใหญ่มีวงแหวนอะ โรมาติกเป็นส่วนประกอบ ทำให้เข้ากับยางธรรมชาติได้ดี เมื่อพิจารณาความสามารถในการยืด จนขาดของ TPVs ที่ใช้น้ำมันแนฟเทนิก, น้ำมันพาราฟินิก และไดออกทิลพะทะเลทให้ค่าดี ใกล้เคียงกัน ส่วนน้ำมันขาวมีค่าต่ำกว่า ส่วน TPVs ที่ใช้น้ำมันอิพอกไซด์ให้ค่าความสามารถใน การยืดจนขาดต่ำที่สุด

จากตารางที่ 41 พบว่าการเติมน้ำมันสามารถปรับปรุงสมบัติความสามารถในการคืนรูป ได้ดีขึ้นมาก เนื่องจากน้ำมันจะเข้าไปช่วยหล่อลื่นให้สายโช่ยางเกิดการขยับตัวได้ง่ายยิ่งขึ้น โดย พบว่าน้ำมันขาวให้ความสามารถในการคืนรูปดีที่สุด รองลงมาคือ น้ำมันแนฟเทนิก, ไดออกทิล พะทะเลท, และ น้ำมันพาราฟินิก ตามลำดับ ซึ่งน้ำมันทั้ง 4 ชนิดให้สมบัติการคืนรูปที่ดีมาก ส่วนน้ำมันอิพอกไซด์มีสมบัติแย่ที่สุด นอกจากนี้พบว่าความแข็งของเทอร์โมพลาสติกวัลคาไนซ์ ทุกชนิดจะลดลงเมื่อผสมน้ำมัน เนื่องจากน้ำมันจะเข้าไปช่วยหล่อลื่นให้สายโช่ยางเกิดการขยับ ตัวได้ง่ายมากยิ่งขึ้น ทำให้ยางมีความนิ่มขึ้น โดยพบว่าน้ำมันแต่ละชนิดให้ความแข็งใกล้เคียง กัน

3.3.3 สมบัติด้านการไหลของเทอร์โมพลาสติกวัลคาในซ์

วิเคราะห์สมบัติการใหลของเทอร์โมพลาสติกวัลคาในซ์จากการเบลนด์ยางธรรมชาติกับ พอลิโพรไพลีนที่แปรชนิดน้ำมันโดยใช้ในปริมาณ 20 phr ได้ผลแสดงดังรูปที่ 66

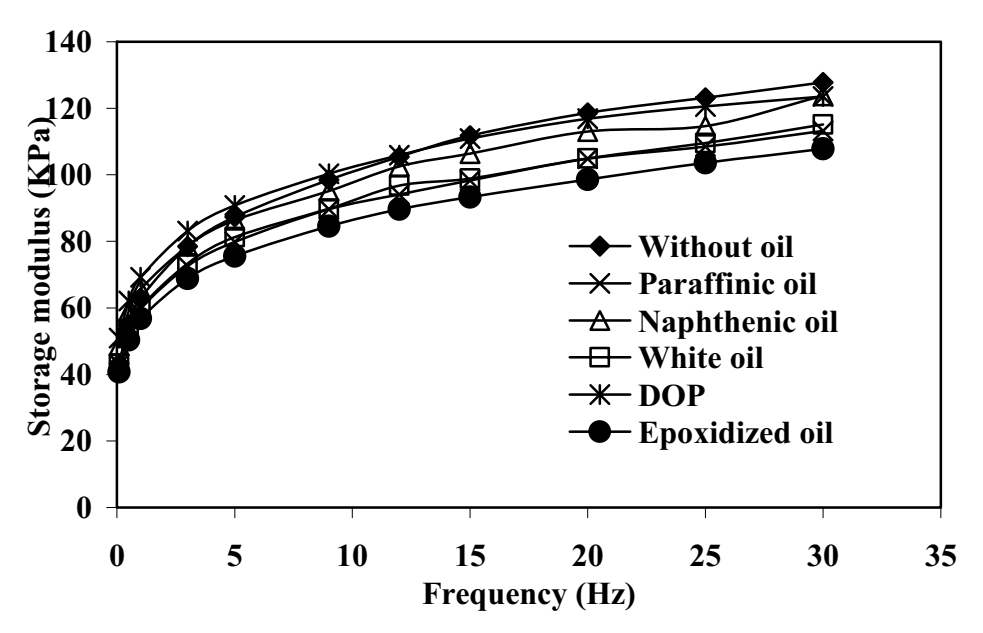


ร**ูปที่ 66** ความสัมพันธ์ระหว่างความหนืดเฉือนปรากฏกับอัตราเฉือนปรากฏของเทอร์โม พลาสติกวัลคาในซ์จากการเบลนด์ยางธรรมชาติกับพอลิโพรไพลีนที่แปรชนิดของน้ำมัน

จากรูปที่ 66 พบว่าการเติมน้ำมันทำให้เทอร์โมพลาสติกวัลคาในซ์มีความหนืดเฉือน ปรากฏลดลง โดยน้ำมันอิพอกซิไดซ์ทำให้เทอร์โมพลาสติกวัลคาในซ์มีความหนืดลดลงมากที่สุด เนื่องจากน้ำมันที่มีขั้วสูงจะทำให้ไม่เข้ากับยางและมีอันตรกิริยากันต่ำ จึงทำให้มีความหนืดลดลง ส่วนน้ำมันอีก 4 ชนิดให้ความหนืดที่ใกล้เคียงกันมากตลอดช่วงอัตราเฉือนที่ทำการทดลอง

3.3.4 สมบัติเชิงพลวัตของเทอร์โมพลาสติกวัลคาในซ์

ทดสอบสมบัติเชิงพลวัตของเทอร์โมพลาสติกวัลคาในซ์จากการเบลนด์ยางธรรมชาติ กับพอลิโพรไพลีนที่แปรชนิดของน้ำมันปริมาณ 20 phr โดยการแปรค่าความถี่ กำหนด Strain = 7.0 % และ ที่ 180 °C ได้ผลความสัมพันธ์ระหว่างมอดูลัสสะสมกับความถี่แสดงในรูปที่ 67



ร**ูปที่ 67** ความสัมพันธ์ระหว่างมอดูลัสสะสมกับความถี่ของเทอร์โมพลาสติกวัลคาในซ์จากการ เบลนด์ยางธรรมชาติกับพอลิโพรไพลีนที่แปรชนิดของน้ำมัน

จากรูปที่ 67 จะเห็นว่าเมื่อพิจารณาที่ความถี่เดียวกันพบว่า การเติมน้ำมันทำให้เทอร์โม พลาสติกวัลคาในซ์มีมอดูลัสสะสมลดลง ซึ่งน้ำมันน้ำมันอิพอกซิไดซ์ ที่ทำให้มอดูลัสสะสมมี พลังงานสะสมลดลงมากที่สุดคือ รองลงมาคือน้ำมันขาว ซึ่งใกล้เคียงกับน้ำมันพาราฟินิก รองลงมาได้แก่ น้ำมันแนฟเทนิก และไดออกทิลพะทะเลท ตามลำดับ การที่มอดูลัสสะสมลดลง เป็นเพราะโซ่พอลิเมอร์เกิดการขยับได้ตัวมากขึ้น เนื่องจากการหล่อลื่นของน้ำมันทำให้สายโช่ ยางเกิดการขยับตัวได้ง่ายมากยิ่งขึ้น

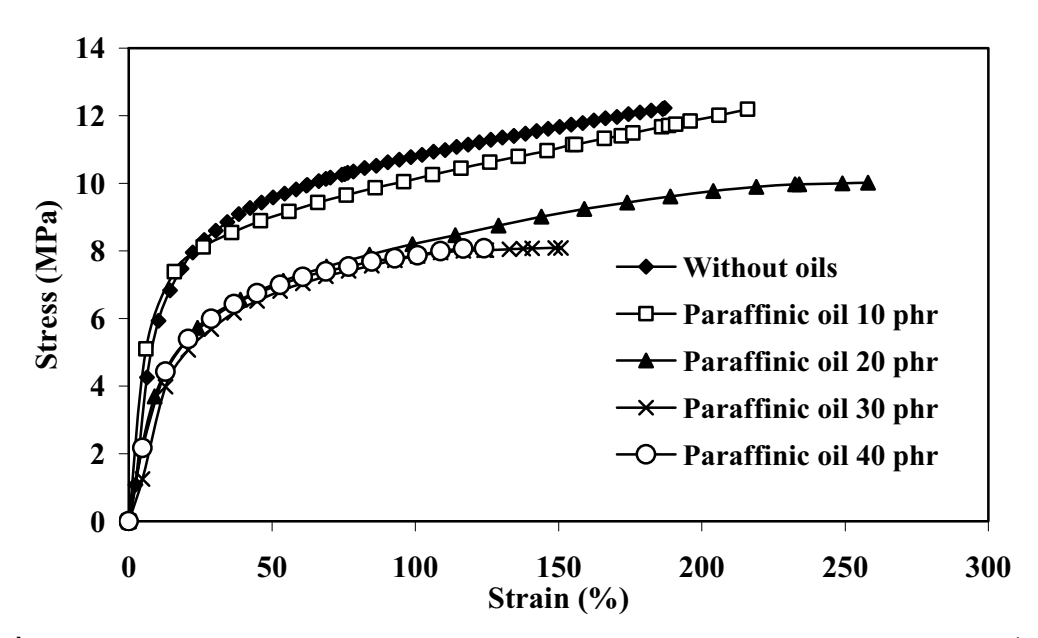
3.4 อิทธิพลปริมาณน้ำมันต่อสมบัติเทอร์โมพลาสติกวัลคาในซ์

เตรียม TPVs จากการเบลนด์ NR/PP = 60/40 โดยใช้ระบบฟินอลิกเป็นระบบการวัลคา ในเซชัน แปรปริมาณน้ำมันพาราฟินิก ได้แก่ 0, 10, 20, 30 และ 40 phr จากนั้นนำเทอร์โม พลาสติกวัลคาในซ์ที่ได้ไปทดสอบสมบัติต่างๆ

3.4.1 สมบัติเชิงกลของเทอร์โมพลาสติกวัลคาในซ์

จากการนำเทอร์โมพลาสติกวัลคาในซ์ที่แปรปริมาณน้ำมันพาราฟินิก ไปทดสอบความ ต้านทานต่อแรงดึงได้ผลการทดลองกราฟความสัมพันธ์ระหว่างความเค้นกับความเครียดดังรูปที่ 68 พบว่าความชันของกราฟในช่วงที่เป็นเส้นตรงมีแนวโน้มลดลงตามการเพิ่มปริมาณน้ำมัน พาราฟินิก กล่าวคือมอดูลัสและความแข็งตึงของเทอร์โมพลาสติกวัลคาในซ์มีแนวโน้มลดลง เพราะน้ำมันเข้าไปแทรกตัวระหว่างโช่พอลิเมอร์ทำให้วัสดุที่ได้มีความนิ่มลง นอกจากนี้ยังทำให้ สายโช่มีความเป็นระเบียบน้อยลง และสามารถขยับตัวได้ง่าย หรือเกิดการใหลได้ง่ายขึ้น ทำให้

วัสดุมีความยืดหยุ่นที่ดีขึ้น ที่จุดขาดของเทอร์โมพลาสติกวัลคาในซ์ขาดสามารถประมินค่าความ ต้านทานต่อแรงดึง และค่าความสามารถในการยืดจนขาด ได้ดังตารางที่ 42 นอกจากนี้ในตาราง นี้ได้แสดงผลการทดสอบสมบัติความสามารถในการคืนรูป และความแข็งด้วย



ร**ูปที่ 68** ความสัมพันธ์ระหว่างความเค้นกับความเครียดของเทอร์โมพลาสติกวัลคาในซ์ที่แปร ปริมาณน้ำมันพาราฟินิก อัตราส่วนการเบลนด์ NR/PP เท่ากับ 60/40

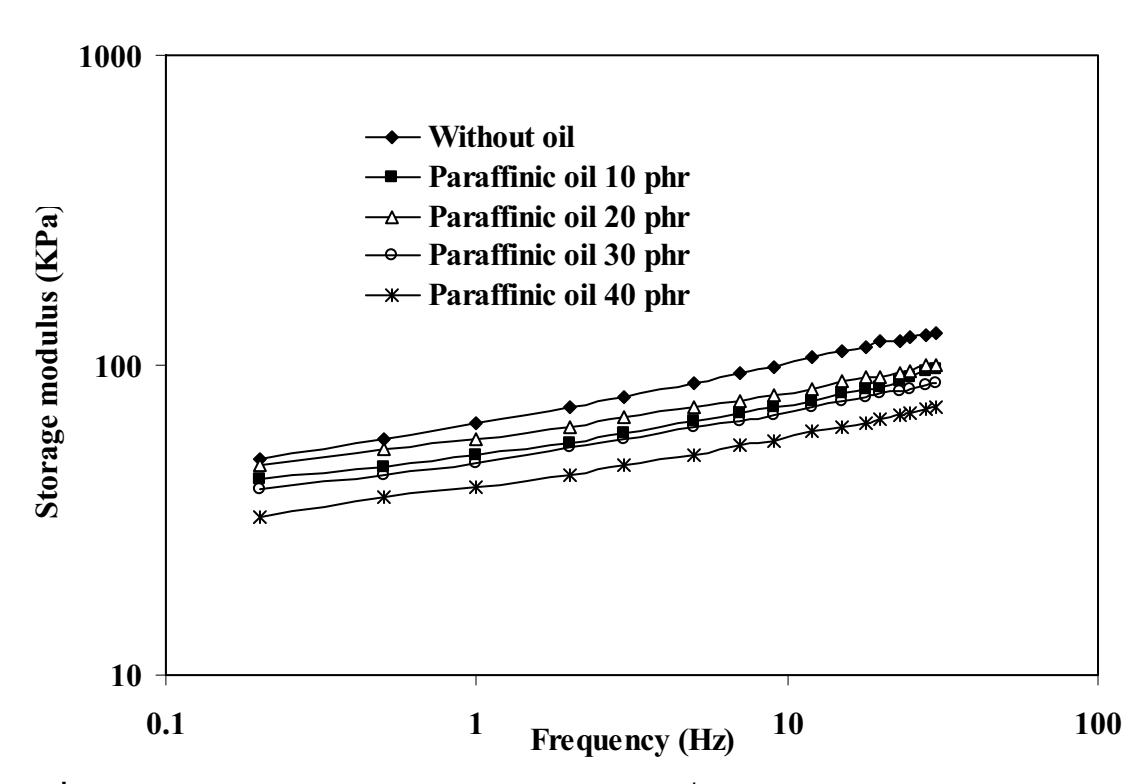
ตารางที่ 42 ความต้านทานต่อแรงดึง, ค่าความสามารถในการยืดจนขาด, ค่าความสามารถใน การคืนรูป และค่าความแข็งของเทอร์โมพลาสติกวัลคาในซ์จากการเบลนด์ยางธรรมชาติกับพอลิ โพรไพลีนแปรปริมาณน้ำมันพราราฟินิก

Quantity of	Tensile	Elongation at	Tension set	Hardness
Paraffinic oil (phr)	strength	break	(%)	(Shore A)
	(MPa)	(%)		
0	12.23	187	50	85
10	12.18	216	35	83
20	10.10	261	25	80
30	8.09	153	30	78
40	8.02	125	35	76

จากตารางที่ 42 พบว่าการเพิ่มปริมาณน้ำมันพาราฟินิกส่งผลให้เทอร์โมพลาสติกวัลคา ในซ์มีความสามารถในการต้านทานต่อแรงดึงน้อยลง เนื่องจากน้ำมันหล่อลื่นโมเลกุลพอลิเมอร์ และเพิ่มความไม่เป็นระเบียบแก่สายโซ่พอลิเมอร์ และทำให้สายโซ่ขยับตัวได้ง่าย จึงมีความนิ่ม มากขึ้นดังการมีแนวโน้มลดลงของค่าความแข็งและความแข็งแรง นอกจากนี้การเพิ่มปริมาณ น้ำมันพาราฟินิก ส่งผลให้เทอร์โมพลาสติกวัลคาในซ์มีความสามารถในการยืดจนขาดได้มากขึ้น จนถึงระดับการผสมน้ำมันที่ 20 phr จะมีค่าสูงที่สุด การผสมน้ำมันในปริมาณมากกว่านั้นจะ ส่งผลให้ความสามารถในการยืดจนขาดมีแนวโน้มลดลง ซึ่งเป็นเพราะน้ำมันเข้าไปเพิ่มความไม่ เป็นระเบียบแก่สายโซ่พอลิเมอร์ และทำให้สายโซ่ขยับตัวได้ง่ายจึงมีความนิ่มมากขึ้น ซึ่งนั่นคือมี สมบัติยืดหยุ่นมากขึ้น หากแต่เมื่อปริมาณน้ำมันเกิน 20 phr ความสามารถในการยืดลด เพราะ เป็นการผสมน้ำมันที่ปริมาณที่มากเกินไป ส่วนของน้ำมันอาจเกิดเป็นเฟสที่สามเกิดการรวมตัว กัน ซึ่งจะก่อให้เกิดจุดอ่อนทำให้วัสดุขาดได้ง่าย ส่วนความสามารถในการคืนรูปจะมีแนวโน้มใน ทำนองเดียวกัน กล่าวคือ จะมีสมบัติดีที่สุดที่ปริมาณการใช้น้ำมัน 20 phr

3.4.2 สมบัติพลวัติเชิงกลของเทอร์โมพลาสติกวัลดาในซ์

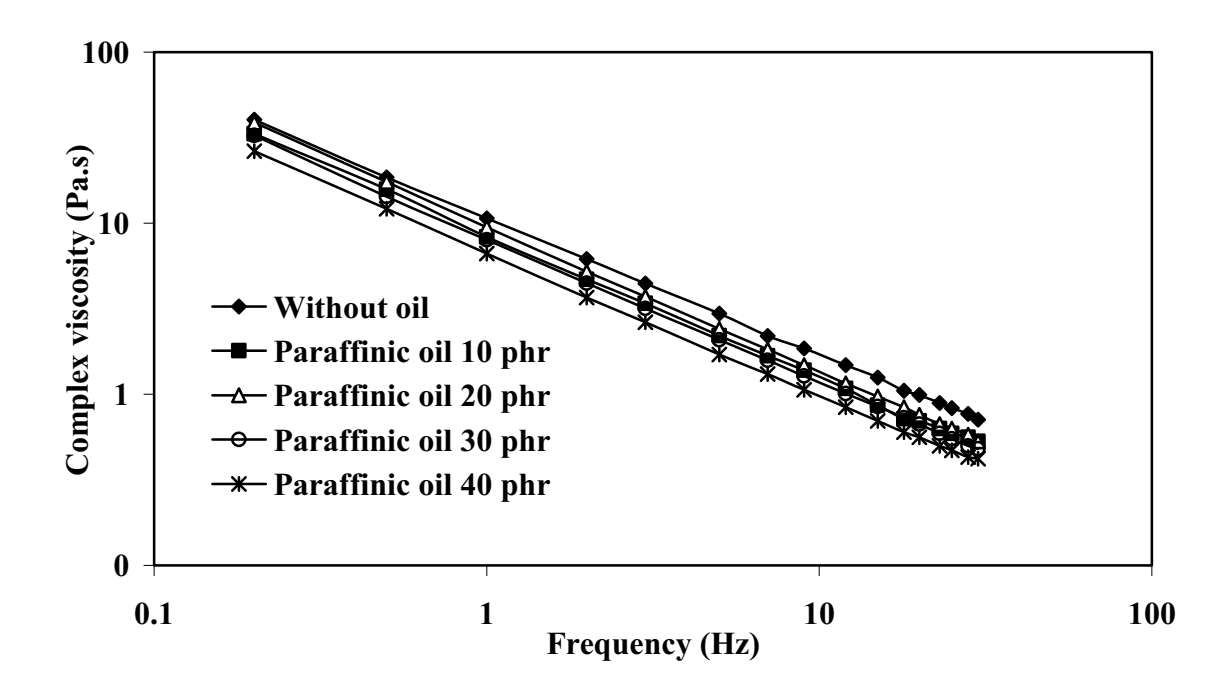
ทดสอบสมบัติเชิงพลวัตของเทอร์โมพลาสติกวัลคาในซ์ที่เตรียมจากจากการเบลนด์ยาง ธรรมชาติกับพอลิโพรไพลีนและแปรปริมาณน้ำมันพาราฟินิกที่ 0, 10, 20, 30 และ40 phr โดย ทำการแปรค่าความถี่ ที่ความเครียด 7.0 % และ 180 °C ได้ผลความสัมพันธ์ระหว่างมอดูลัส สะสมกับความถี่แสดงในดังรูปที่ 69



ร**ูปที่ 69** ความสัมพันธ์ระหว่างมอดูลัสสะสมกับความถี่ของเทอร์โมพลาสติกวัลคาในซ์จาก การเบลนด์ยางธรรมชาติกับพอลิโพรไพลีนที่แปรปริมาณน้ำมันพาราฟินิก อัตราส่วนการเบลนด์ NR/PP = 60/40

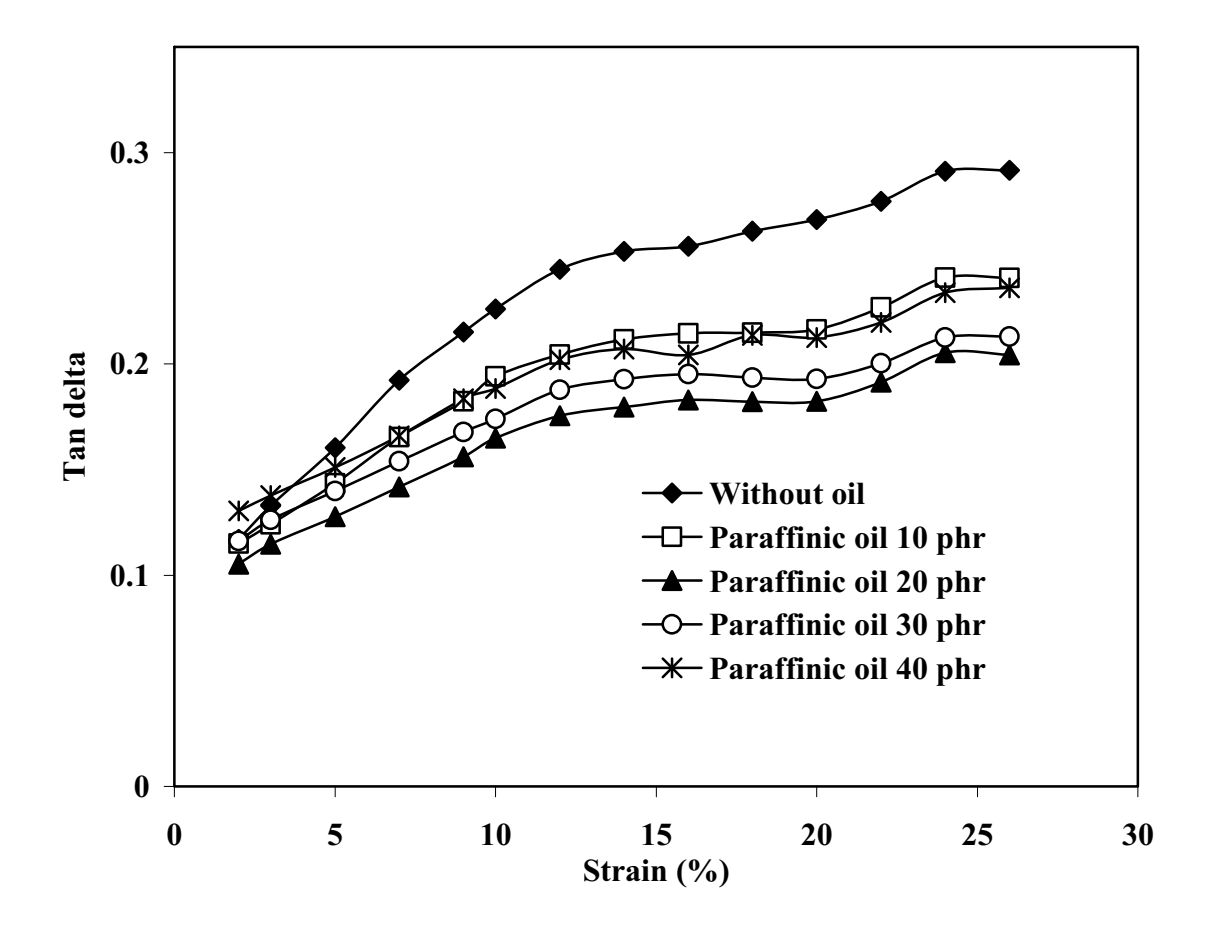
จากรูปที่ 69 พบว่าเมื่อเพิ่มปริมาณน้ำมันพาราฟินิกส่งผลให้เทอร์โมพลาสติกวัลคาในซ์ มีมอดูลัสสะสมหรือพลังงานสะสมลดลง เพราะน้ำมันเป็นตัวที่เข้าไปเพิ่มความไม่เป็นระเบียบ และเป็นตัวหล่อลื่นแก่สายโซ่พอลิเมอร์ และทำให้สายโซ่ขยับตัวได้ง่าย

รูปที่ 70 แสดงความสัมพันธ์ระหว่างความหนืดเชิงซ้อนกับความถี่ของเทอร์โม พลาสติกวัลคาในซ์จากการเบลนด์ยางธรรมชาติกับพอลิโพรไพลีนที่แปรปริมาณน้ำมันพารา ฟินิกพบว่าการเพิ่มปริมาณน้ำมันพาราฟินิกส่งผลให้เทอร์โมพลาสติกวัลคาในซ์มีความหนืด เชิงซ้อนมีแนวโน้มลดลง เพราะน้ำมันหล่อลื่นสายโซ่พอลิเมอร์ ทำให้สายโซ่ขยับตัวได้ง่าย จึงมี ความนิ่มมากขึ้นหรือมีการต่อต้านการไหลหรือความหนืดลดลง ดังนั้นการผสมน้ำมันจึงสามารถ ช่วยในการปรับปรุงสมบัติการแปรรูปได้เป็นอย่างดี



ร**ูปที่ 70** ความสัมพันธ์ระหว่างความหนืดเชิงซ้อนกับความถี่ของเทอร์โมพลาสติกวัลคาในซ์จาก การเบลนด์ยางธรรมชาติกับพอลิโพรไพลีนที่แปรปริมาณน้ำมันพาราฟินิก อัตราส่วนการเบลนด์ NR/PP = 60/40

รูปที่ 71 แสดงความสัมพันธ์ระหว่าง Tan δ กับความเครียดที่ทดสอบที่ความถี่ 1 Hz ของเทอร์โมพลาสติกวัลคาในซ์จากการเบลนด์ยางธรรมชาติกับพอลิโพรไพลีนที่แปรปริมาณ น้ำมันพาราฟินิก



ร**ูปที่ 71** ความสัมพันธ์ระหว่าง Tan δ กับความเครียดของเทอร์โมพลาสติกวัลคาในซ์จาก การเบลนด์ยางธรรมชาติกับพอลิโพรไพลีนแปรปริมาณน้ำมันพาราฟินิก

จากรูปที่ 71 พบว่าการใช้น้ำมันที่ปริมาณ 20 phr ทำให้วัสดุมีค่า Tan δ ต่ำที่สุด กล่าวคือมีความยืดหยุ่นสูงที่สุด เนื่องจากการใช้น้ำมันปริมาณนี้มีความเหมาะสมในการผสมเข้า กับยางได้ดีจึงช่วยเพิ่มความยืดหยุ่นมากขึ้น ซึ่งเมื่อใช้น้ำมันเกินกว่านี้จะทำให้เกิดจุดอ่อนที่ก่อ ให้โซ่โมเลกุลของพอลิเมอร์ขาดได้ง่าย สามารถคืนกลับรูปร่างเดิมได้น้อย และสามารถยืดได้ น้อย

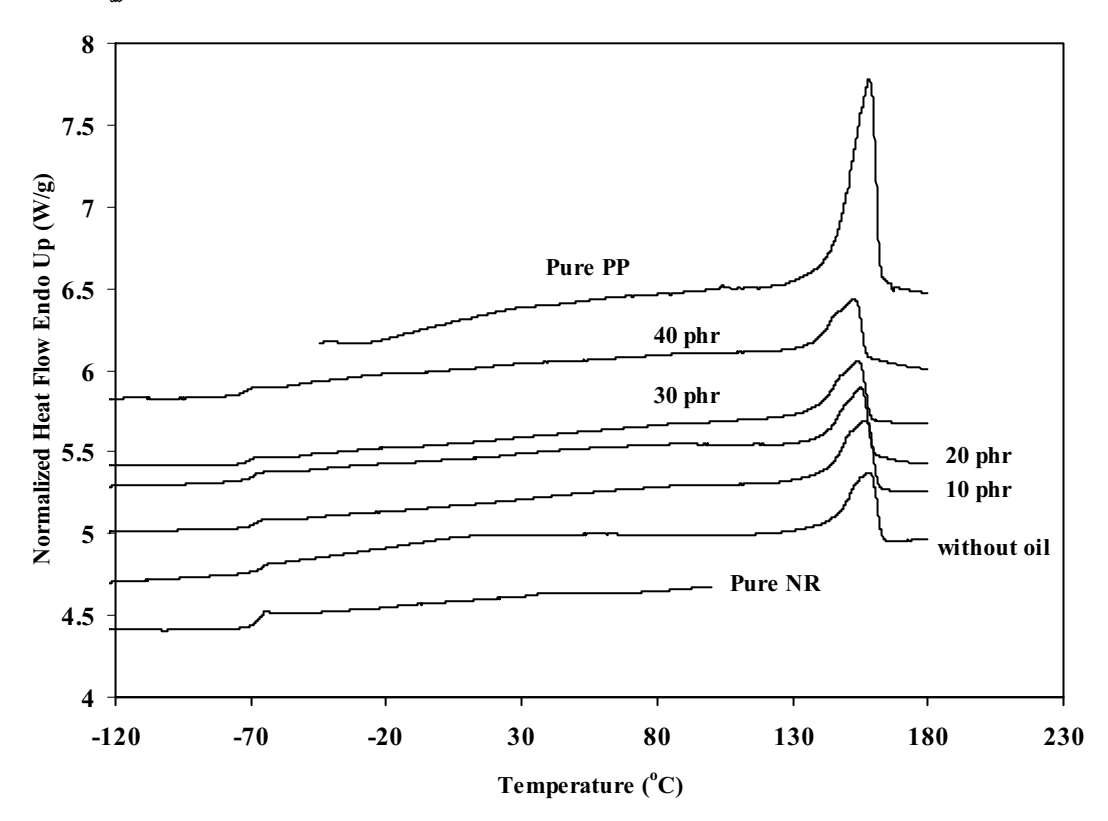
3.4.3 การวิเคราะห์สมบัติเชิงความร้อน

วิเคราะห์สมบัติเชิงความร้อนของ 60/40 NR/PP TPVs ที่แปรปริมาณน้ำมันพาราฟินิก เปรียบเทียบกับยางและ PP ที่ไม่เบลนด์ วิเคราะห์โดยใช้เทคนิค Differential scanning calorimetry ใช้เครื่อง DSC (TA Instruments, Texas, U.S.A.) ภายใต้บรรยากาศไนโตรเจน โดยให้ความร้อนตัวอย่างไปที่ 200°C เป็นเวลา 5 นาทีเพื่อกำจัดประวัติความจำของวัสดุ หลังจากนั้นทำให้เย็นถึง –120°C ด้วยอัตรา 10°C /min. แล้วให้ความร้อนด้วยอัตราเดิม จนถึง 200°C วิเคราะห์ค่าอุณหภูมกลาสทรานสิชัน (glass transition temperature, T_g) จากจุด

กลางของการทรานสิชัน นอกจากนี้หาปริมาณผลึกของเฟส PP (X_{pp}) จากความร้อนของการ เกิดผลึก (heat of crystallization, ΔH_{TPV}) ซึ่งค่าความร้อนการเกิดผลึกของ PP (ΔH_{PP} =209 J/g) และสัดส่วนโดยน้ำหนักของ PP (m_{pp}) ดังนี้

$$X_{pp} = \frac{\Delta H_{TPV}}{m_{PP} \Delta H_{PP}} \tag{9}$$

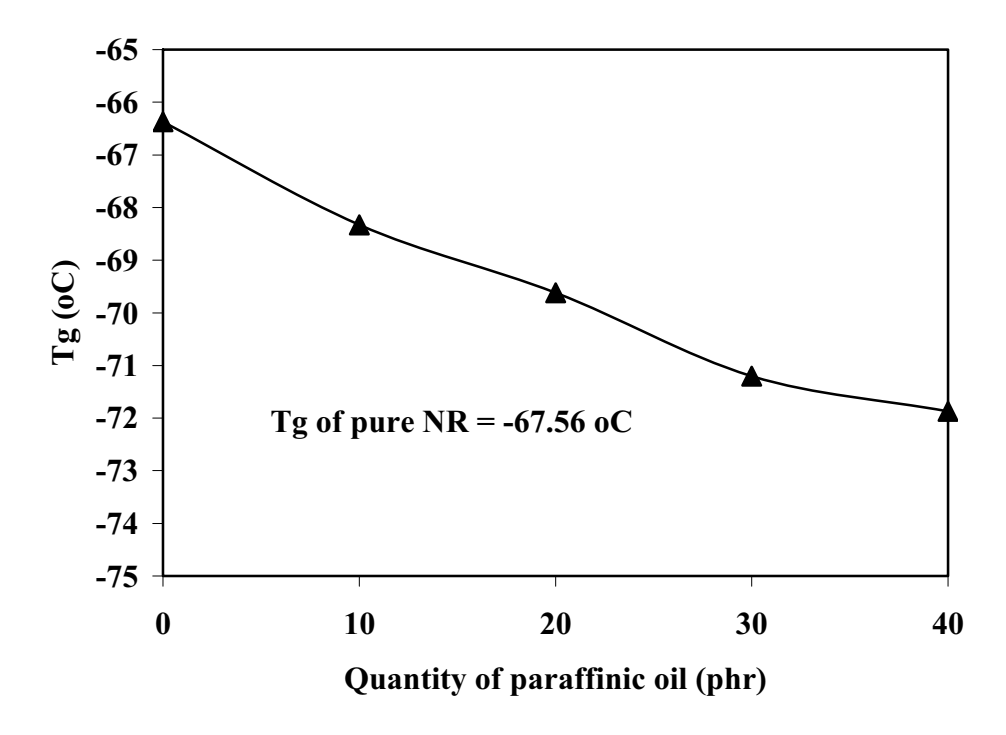
รูปที่ 72 แสดง DSC thermograms ของ 60/40 NR/PP TPVs ที่ผสมน้ำมันพาราฟินิก ในปริมาณต่างๆเปรียบเทียบกับ pure NR และ pure PP พบว่าสามารถเห็นการเกิดกลาสทราน สิชัน (T_g) ของเฟสยางได้อย่างชัดเจนที่อุณหภูมิต่ำ นอกจากนี้ยังสามารถสังเกตเห็นค่าอุณหภูมิ หลอมผลึก (crystalline melting temperature (T_m)) ของเฟส PP ได้อย่างชัดเจน แต่พบว่าไม่ สามารถเห็นกลาสทรานสิชันของ PP เนื่องจากการมีปริมาณผลึกสูงจึงทำให้บดบังสมบัติการ เป็นอสัณฐานของ PP



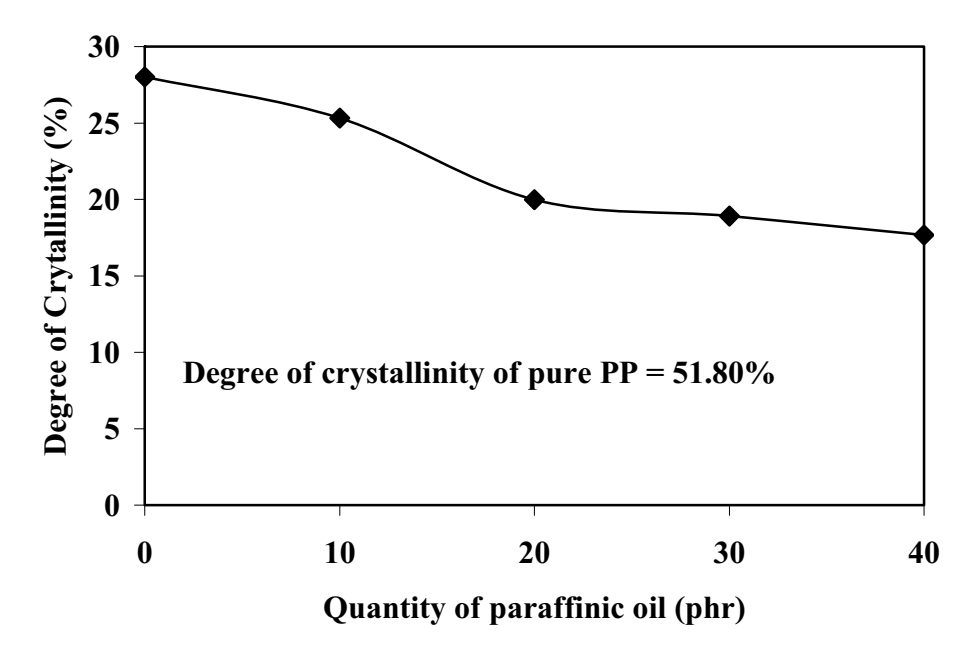
ร**ูปที่ 72** DSC thermograms ของ 60/40 NR/PP TPVs ที่ผสมน้ำมันพาราฟินิกในปริมาณ ต่างๆเปรียบเทียบกับ pure NR และ pure PP.

รูปที่ 73 แสดงความสัมสัมพันธ์ระหว่าง T_g กับปริมาณน้ำมัน พบว่า T_g มีแนวโน้มลดลง ตามการเพิ่มปริมาณน้ำมันเนื่องจากน้ำมันแพร่เข้าสู่อนุภาคยางวัลคาในซ์แล้วทำให้ยางบวม (an oil-swollen rubber phase) ทำให้โซ่โมเลกุลยืดหยุ่นได้มากขึ้น ทำให้ความเป็นยางของ TPVs มากขึ้นตามการเพิ่มปริมาณน้ำมัน แต่เนื่องจาก TPVs เป็นระบบสองเฟส (two-phase systems) เราต้องพิจารณาถึงสมบัติของ PP matrix ด้วย การเพิ่มปริมาณน้ำมันจะส่งผลต่อการ

ลดสมบัติด้านความแข็งแรงของ PP ซึ่งทำให้เกิดการยืดได้มากขึ้นโดยเฉพาะที่ปริมาณน้ำมัน มากกว่า 20 phr และจะมีผลต่อการลดปริมาณผลึกของ PP ดังแสดงในรูปที่ 74

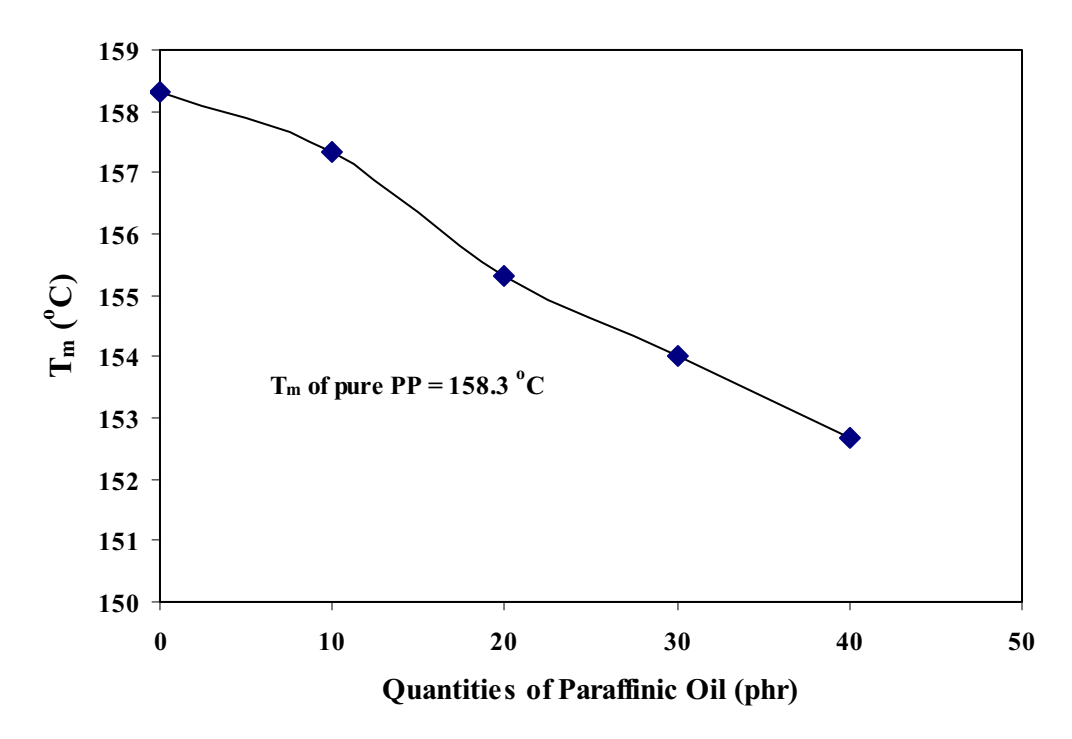


ร**ูปที่ 74** Tg ของ 60/40 NR/PP TPVs ที่ผสมน้ำมันพาราฟินิกในปริมาณต่างๆเปรียบเทียบ กับ pure NR และ pure PP.



ร**ูปที่ 75** ปริมาณผลึกของ 60/40 NR/PP TPVs ที่ผสมน้ำมันพาราฟินิกในปริมาณต่างๆ เปรียบเทียบกับ pure NR และ pure PP.

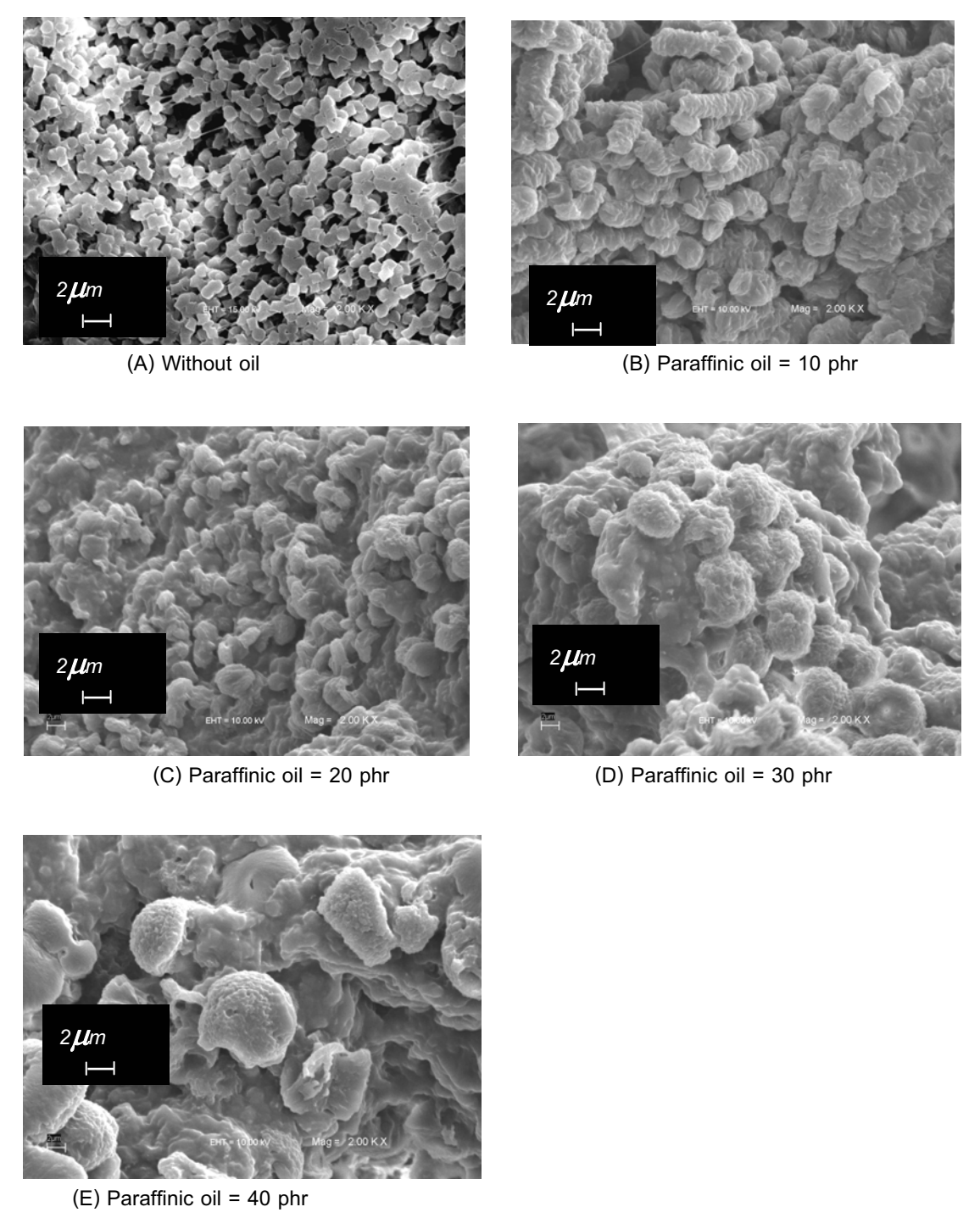
จากรูปที่ 75 พบว่าการเตรียม TPVs ทำให้ปริมาณผลึกใน PP ลดลงมากเนื่องจากการ บดในสภาวะอุณหภูมิสูงทำให้ผลึกที่เป็นส่วนที่เป็นระเบียบหายไปมากโดยลดลงจาก 51.8% เป็น 28.01% ใน TPVs ที่ไม่ผสมน้ำมัน นอกจากนี้พบว่าการผสมน้ำมันและเพิ่มปริมาณน้ำมัน ในช่วง 0-20 phr ส่งผลให้ปริมาณผลึกใน PP มีแนวโน้มลดลงอย่างรวดเร็ว เนื่องจากน้ำมันแพร่ เข้าสู่เฟส PP และทำให้ส่วนผลึกกลายเป็นส่วนอสัณฐานที่บวมน้ำมัน (oil-swollen amorphous phase) การเพิ่มปริมาณน้ำมันมากกว่า 20 phr มีผลทำให้ปริมาณผลึกค่อยๆลดลง อาจจะมีผล มาจากการที่เกิดการอิ่มตัวของน้ำมันและน้ำมันในเฟส PP จะถูกผลักไปสู่เฟสยาง ทำให้อนุภาค ยางบวมกระจายใน PP ดังแสดงในรูปที่ 77 (D) และ 77 (E) ดังนั้นการเพิ่มปริมาณน้ำมันทำให้ ลดปริมาณผลึกแต่เพิ่มส่วนอสัณฐานของ PP จึงส่งผมให้สมบัติด้านความแข็งแรง ความแข็ง ความหนืดและมอดูลัสะสมลดลง การเพิ่มปริมาณน้ำมันยังมีผลต่อการลดค่า T_m ดังแสดงในรูปที่ 76 พบว่า T_m ของ TPVs มีแนวโน้มลดลงตามการเพิ่มปริมาณน้ำมัน ดังนั้นผลึกของ PP จะ หลอมที่อุณหภูมิที่ต่ำกว่า



ร**ูปที่ 76** ปริมาณผลึกของ 60/40 NR/PP TPVs ที่ผสมน้ำมันพาราฟินิกในปริมาณต่างๆ เปรียบเทียบกับ pure NR และ pure PP.

3.4.4 สมบัติสัณฐานวิทยาของเทอร์โมพลาสติกวัลคาไนซ์

วิเคราะห์สัณฐานวิทยาของเทอร์โมพลาสติกวัลคาในซ์จากการเบลนด์ NR/PP = 60/40 ที่แปรปริมาณน้ำมันได้ผลแสดงดังรูปที่ 77



รูปที่ 77 ลักษณะทางสัณฐานวิทยาของเทอร์โมพลาสติกวัลคาในซ์จากการเบลนด์ยางธรรมชาติ กับพอลิโพรไพลีนที่แปรปริมาณน้ำมันพาราฟินิก: (A) Without oil, (B) Paraffinic oil = 10 phr, (C)Paraffinic oil = 20 phr, (D) Paraffinic oil = 30 phr และ (E) Paraffinic oil = 40 phr

จากรูปที่ 77 จะเห็นว่าการผสมน้ำมันทำให้ขนาดของอนุภาคยางของ TPVs มีขนาด ใหญ่ขึ้น นอกจากนี้พบว่า TPVs ที่ผสมน้ำมันพาราฟินิกที่ปริมาณ 20 phr ให้ขนาดอนุภาคเล็ก ที่สุด ซึ่งสอดคล้องกับความเด่นของสมบัติเชิงกล เพราะการใช้น้ำมันที่ปริมาณนี้เป็นปริมาณที่ เหมาะสมในการผสมเข้ากับยางได้ดีจึงช่วยเพิ่มความยืดหยุ่นมากขึ้น แต่เมื่อน้ำมันเกินกว่า ปริมาณนี้จะทำให้น้ำมันเข้าไปในอนุภาคยางและทำให้เกิดการบวมพองให้อนุภาคที่ใหญ่ขึ้น ทำ ให้ TPVs มีสมบัติเชิงกลต่ำลง สามารถคืนกลับรูปร่างเดิมได้น้อย และสามารถยืดได้น้อย

จากการผลการทดลองในตอนนี้ได้ข้อสรุปว่าการเติมน้ำมันพาราฟินิกปริมาณ 20 phr จะให้สมบัติต่างๆ เด่นขึ้นอย่างเห็นได้ชัด ทั้งสมบัติเชิงกล สมบัติพลวัต และลักษณะทางสัณฐาน วิทยา ดังนั้นการทดลองตอนต่อไปจะใช้ปริมาณน้ำมันพาราฟินิกเท่ากับ 20 phr

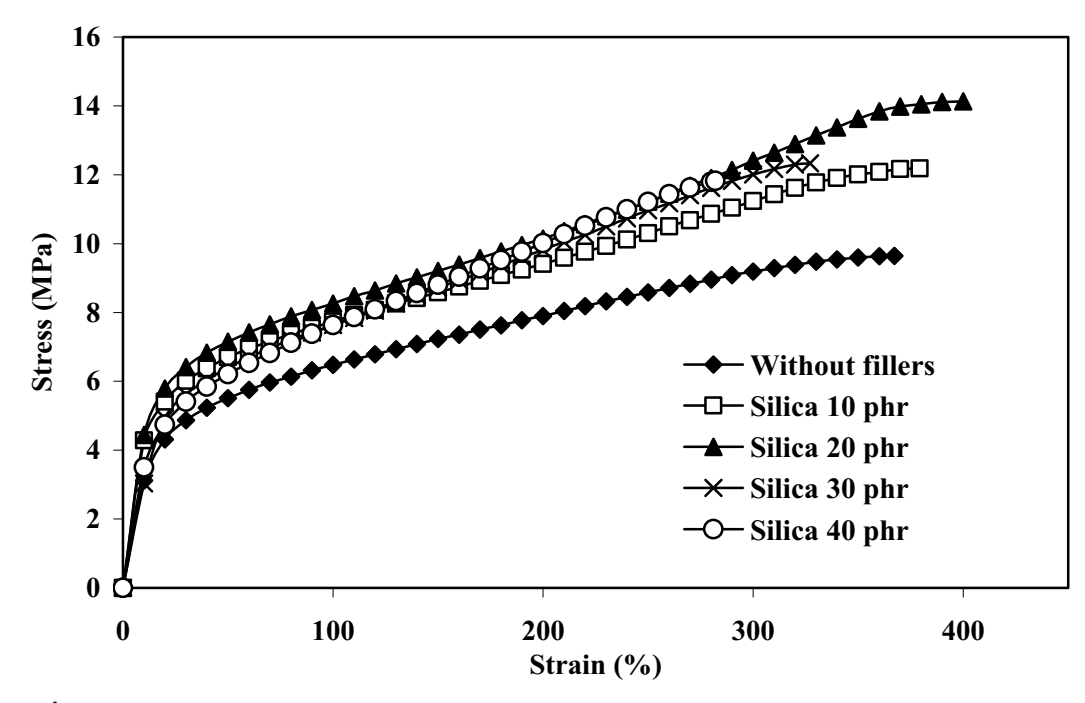
3.5 อิทธิพลของปริมาณสารตัวเติมต่อสมบัติของ TPVs

3.5.1 ซิลิกา

เตรียมคอมปาวด์ยางธรรมชาติผสมสารเคมีโดยใช้ระบบฟินอลิกเป็นระบบการวัลคาใน เซชัน โดยแปรปริมาณซิลิกาได้แก่ 0, 10, 20, 30 และ 40 phr แล้วนำไปขึ้นรูปและทดสอบ สมบัติ

3.5.1.1 สมบัติเชิงกลของเทอร์โมพลาสติกวัลคาไนซ์

รูปที่ 78 แสดงความสัมพันธ์ระหว่างความเค้นกับความเครียดของเทอร์โมพลาสติกวัล คาในซ์ที่แปรปริมาณซิลิกา เมื่อพิจารณาความซันของกราฟในช่วงที่เป็นเส้นตรง พบว่าเมื่อผสม ซิลิกาส่งผลทำให้ความซันของกราฟสูงขึ้น ซึ่งเป็นการบ่งชี้ถึงการมีมอดูลัสความยืดหยุ่นหรือ ความแข็งตึงสูงขึ้น เนื่องจากซิลิกาเป็นสารตัวเติมชนิด เสริมประสิทธิภาพ กล่าวคือจะทำให้พอลิ เมอร์เบลนด์มีความแข็งแรงเพิ่มขึ้น เนื่องจากการเกิดพันธะเชื่อมโยงระหว่างซิลิกากับยาง ธรรมชาติหรือกับ PP ได้ แต่พบว่าเมื่อเพิ่มปริมาณเพิ่มขึ้นเกินกว่า 20 phr จะมีผลทำให้พอลิ เมอร์เบลนด์มีมอดูลัสความยืดหยุ่นลดลง เนื่องจากการเติมซิลิกามากกว่านี้น่าจะเป็นปริมาณที่ มากเกินพอ ซึ่งเกิดเป็นกลุ่มก้อนซึ่งเป็นจุดอ่อนที่ที่มีความแข็งแรงต่ำ เพราะไม่สามารถเกิด พันธะเชื่อมโยงกับยางได้เต็มที่ ที่จุดดึงแล้วขาดของเทอร์โมพลาสติกวัลคาในซ์ได้ค่าความ ต้านทานต่อแรงดึง และค่าความสามารถในการยืดจนขาด แสดงดังในตารางที่ 43 ซึ่งได้รวม สมบัติความสามารถในการคืนรูป และความแข็งไว้ด้วย



ร**ูปที่ 78** ความสัมพันธ์ระหว่างความเค้นกับความเครียดของเทอร์โมพลาสติกวัลคาในซ์จาก การเบลนด์ยางธรรมชาติกับพอลิโพรไพลีนที่แปรปริมาณซิลิกา

ตารางที่ 43 ค่าความต้านทานต่อแรงดึง, ค่าความสามารถในการยืดจนขาด, ค่าความสามารถ ในการคืนรูป และความแข็งของเทอร์โมพลาสติกวัลคาในซ์จากการเบลนด์ยางธรรมชาติกับพอลิ โพรไพลีนแปรปริมาณซิลิกา ใช้อัตราส่วนการเบลนด์ เท่ากับ 60/40

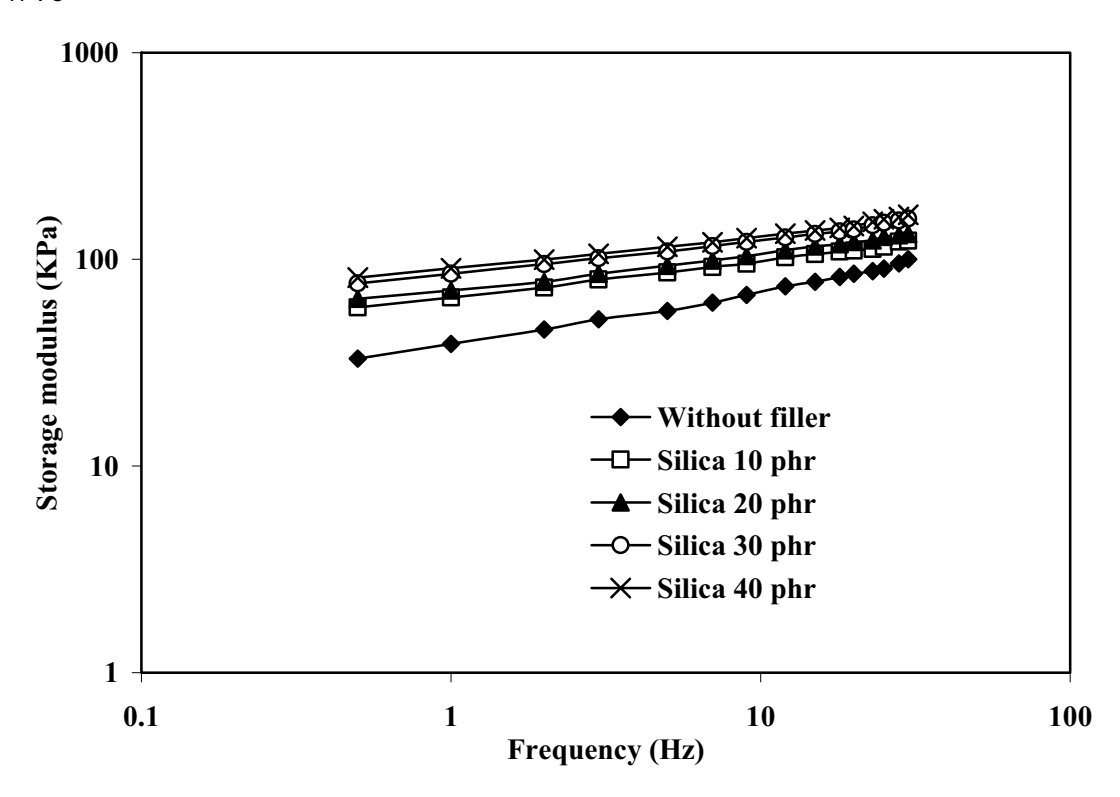
Quantity of	Tensile strength	Elongation at break	Tension set	Hardness
Silica (phr)	(MPa)	(%)	(%)	(Shore A)
0	9.66	367	25.0	84
10	12.19	379	35.0	86
20	14.15	400	35.0	87
30	12.33	327	37.5	88
40	11.82	282	40.0	88

จากตารางที่ 43 พบว่าเมื่อเพิ่มปริมาณซิลิกาใน TPVs ส่งผลให้วัสดุมีความต้านทาน ต่อแรงดึงสูงขึ้น เนื่องจากการมีอันตริกิริยาระหว่างพอลิเมอร์กับซิลิกาซึ่งทำให้พอลิเมอร์เบลนด์ มีความแข็งแรงเพิ่มขึ้น แต่เมื่อปริมาณซิลิกามากกว่า 20 phr จะมีผลทำให้พอลิเมอร์เบลนด์มี ความต้านทานต่อแรงดึงลดลง เนื่องจากซิลิกามีปริมาณที่เกินพอ จึงรวมตัวกันเองเป็นกลุ่มก้อน ซึ่งกลายเป็นจุดอ่อนในการเกิดการแตกหักและการส่งผ่านความเค้น นอกจากนี้พบว่า ที่การใช้ ซิลิกาปริมาณ 20 phr ทำให้ TPVs มีความสามารถในการยืดสูงที่สุด แต่การเพิ่มปริมาณซิลิกา

ทำให้ความสามารถในการคืนรูปลดลง (% tension set สูงขึ้น) และทำให้ค่าความแข็งมีแนวโน้ม เพิ่มขึ้น

3.5.1.2 สมบัติเชิงพลวัต

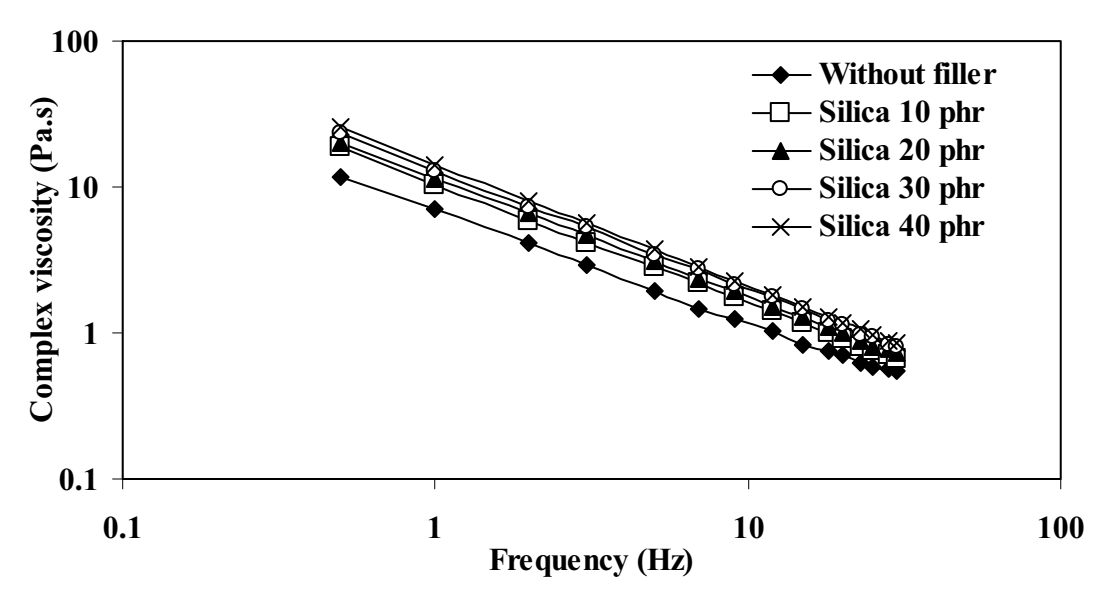
ทดสอบสมบัติเชิงพลวัตของเทอร์โมพลาสติกวัลคาในซ์จากการเบลนด์ยางธรรมชาติกับ พอลิโพรไพลีนที่แปรปริมาณซิลิกาที่ 0, 10, 20, 30 และ40 phr โดยแปรค่าความถี่ ที่ค่า ความเครียด 7.0 % และ 180 °C ได้ความสัมพันธ์ระหว่างมอดูลัสสะสมกับความถี่แสดงดังในรูป ที่ 79



ร**ูปที่ 79** ความสัมพันธ์ระหว่างมอดูลัสสะสมกับความถี่ของเทอร์โมพลาสติกวัลคาในซ์จาก การเบลนด์ยางธรรมชาติกับพอลิโพรไพลีนที่แปรปริมาณชิลิกา

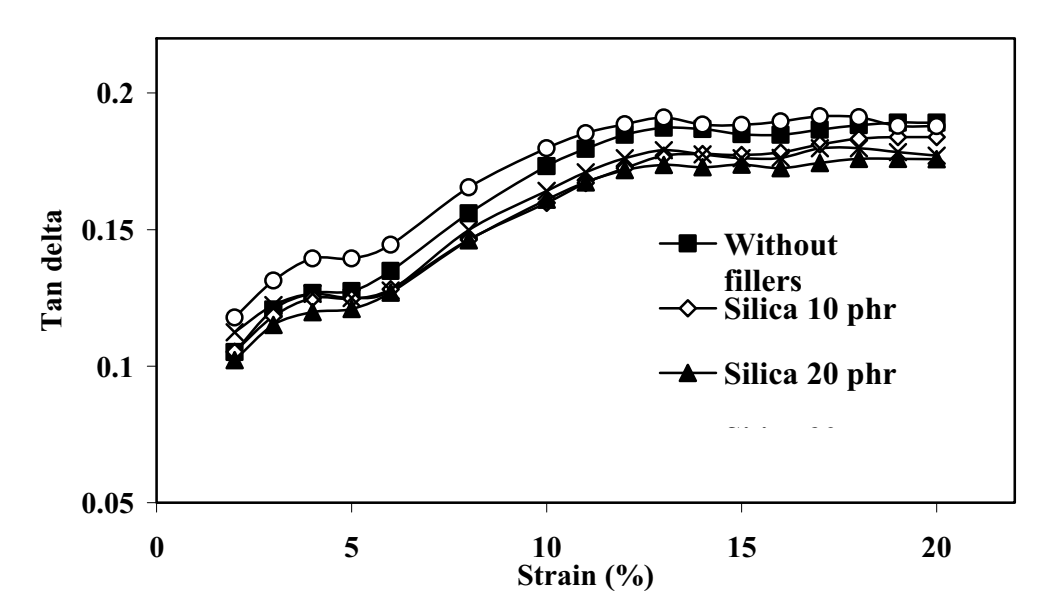
จากรูปที่ 79 พบว่าการเพิ่มปริมาณซิลิกาส่งผลให้มอดูลัสสะสมของเทอร์โมพลาสติกวัล คาในซ์มีค่าสูงขึ้นตามลำดับ เนื่องจากซิลิกาเป็นสารตัวเติมซึ่งเป็นอนุภาคเม็ดเล็ก ๆ และแข็ง เมื่อผสมอยู่ในเทอร์โมพลาสติกวัลคาในซ์จะเป็นตัวขัดขวางการผิดรูปของพอลิเมอร์จึงทำให้มี มอดูลัสสะสมสูงขึ้น

รูปที่ 80 แสดงความสัมพันธ์ระหว่างความหนืดเชิงซ้อนกับความถี่ของเทอร์โม พลาสติกวัลคาในซ์จากการเบลนด์ยางธรรมชาติกับพอลิโพรลีนที่แปรปริมาณซิลิกา พบว่าการ เพิ่มปริมาณชิลิกาส่งผลต่อการเพิ่มของค่าความหนืดเชิงซ้อนของเทอร์โมพลาสติกวัลคาในซ์ ดังนั้นซิลิกาจะขัดขวางการใหลของพอลิเมอร์ทำให้ความหนืดเชิงซ้อนของเทอร์โมพลาสติกวัล คาในซ์มีค่าเพิ่มขึ้น



ร**ูปที่ 80** ความสัมพันธ์ระหว่างความหนืดเชิงซ้อนกับความถี่ของเทอร์โมพลาสติกวัลคาในซ์จาก การเบลนด์ยางธรรมชาติกับพอลิโพรลีนที่แปรปริมาณซิลิกา

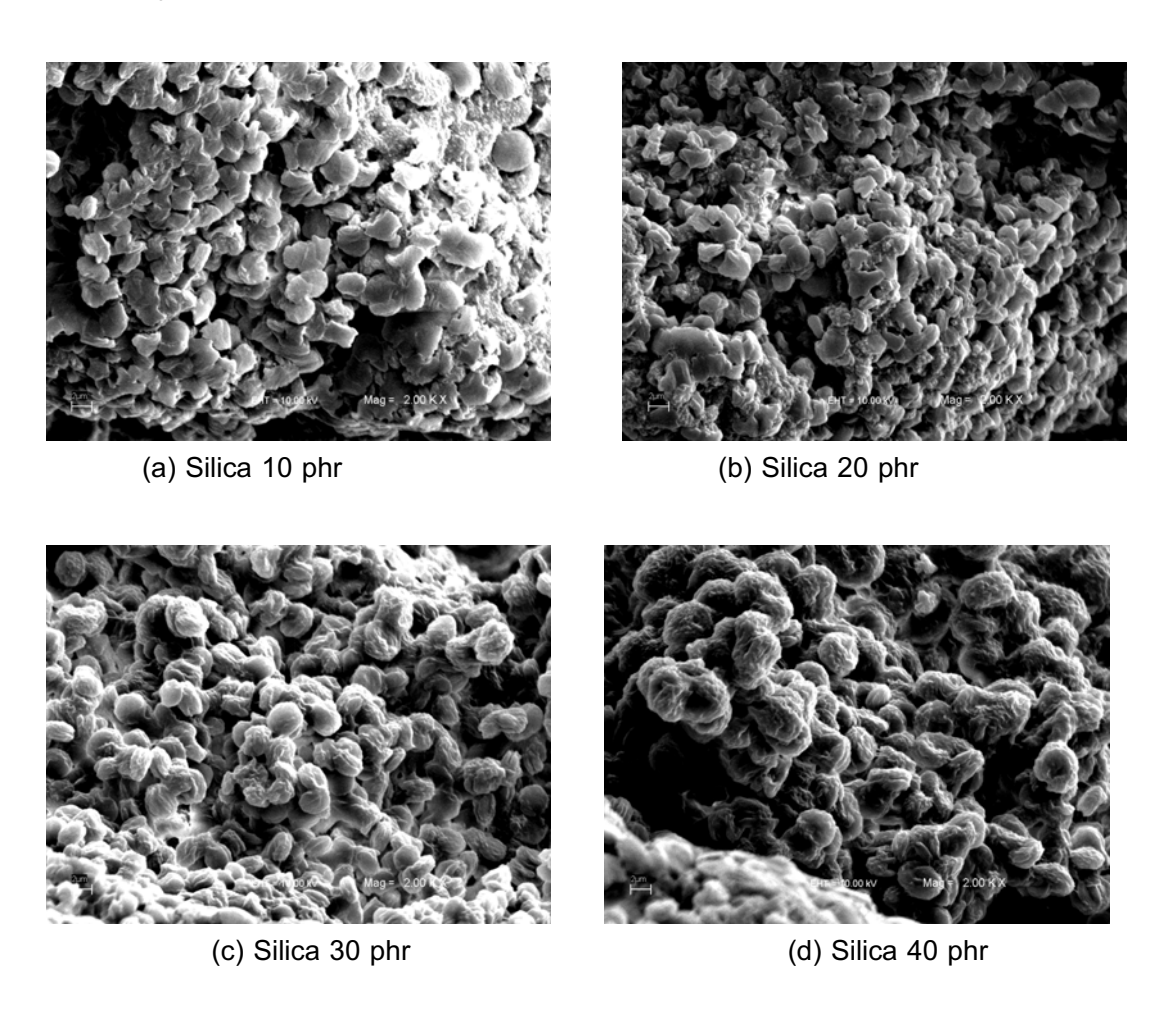
รูปที่ 81 แสดงความสัมพันธ์ระหว่างค่า Tan δ กับความเครียดของเทอร์โมพลาสติกวัล คาในซ์จากการเบลนด์ยางธรรมชาติกับพอลิโพรไพลีนที่แปรปริมาณซิลิกา ซึ่งค่า Tan δ เป็น ตัวที่ชี้บ่งบอกถึงสมบัติด้านความยืดหยุ่น ซึ่งได้จากอัตราส่วนระหว่างมอดูลัสสูญเสียต่อมอดูลัส สะสม ซึ่งถ้า Tan δ มีค่าต่ำ ก็จะบ่งบอกถึงสมบัติยืดหยุ่นสูง ในการทดลองนี้พบว่าการใช้ซิลิกา ที่ให้สมบัติความยืดหยุ่นสูงที่สุด คือการใช้ที่ปริมาณ 20 phr รองลงมาคือ 10, 30, 0 และ 40 phr ตามลำดับ

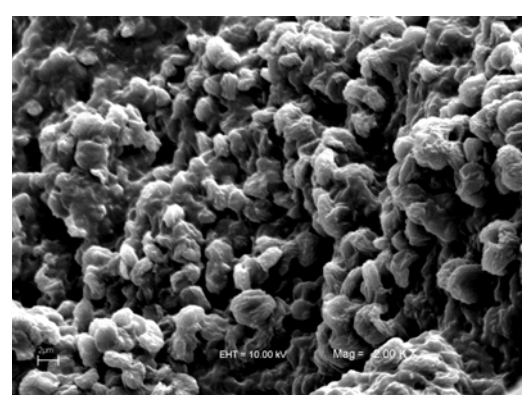


ร**ูปที่ 81** ความสัมพันธ์ระหว่าง Tan δ กับความเครียดของเทอร์โมพลาสติกวัลคาในซ์จาก การเบลนด์ยางธรรมชาติกับพอลิโพรไพลีนที่แปรปริมาณชิลิกา

3.5.1.3 สัณฐานวิทยาของเทอร์โมพลาสติกวัลคาไนซ์

รูปที่ 82 แสดงสมบัติสัณฐานวิทยาของเทอร์โมพลาสติกวัลคาในซ์จากการเบลนด์ NR/PP ที่แปรปริมาณซิลิกา พบว่าการไม่ผสมซิลิกาให้อนุภาคยางที่มีขนาดเล็กที่สุด แต่ TPVs ที่ผสมซิลิกาปริมาณ 20 phr ให้ขนาดอนุภาคของยางวัลคาในซ์ที่เล็ก เนื่องจากซิลิกาผสมเข้า กับยางได้ดีจึงช่วยเพิ่มความยืดหยุ่นมากขึ้น รวมทั้งยังให้ความแข็งแรงแก่วัสดุได้ดีอีกด้วย ซึ่ง เมื่อใช้ซิลิกาเกินกว่านี้จะทำให้เกิดจุดอ่อนที่ก่อให้ TPVs ขาดได้ง่าย และมีอนุภาคยางวัลคาในซ์ ขนาดใหญ่ขึ้นตามการเพิ่มปริมาณซิลิกา





(e) Without fillers

ร**ูปที่ 82** ลักษณะทางสัณฐานวิทยาของเทอร์โมพลาสติกวัลคาในซ์จากการเบลนด์ยางธรรมชาติ กับพอลิโพรไพลีนที่แปรปริมาณซิลิกา

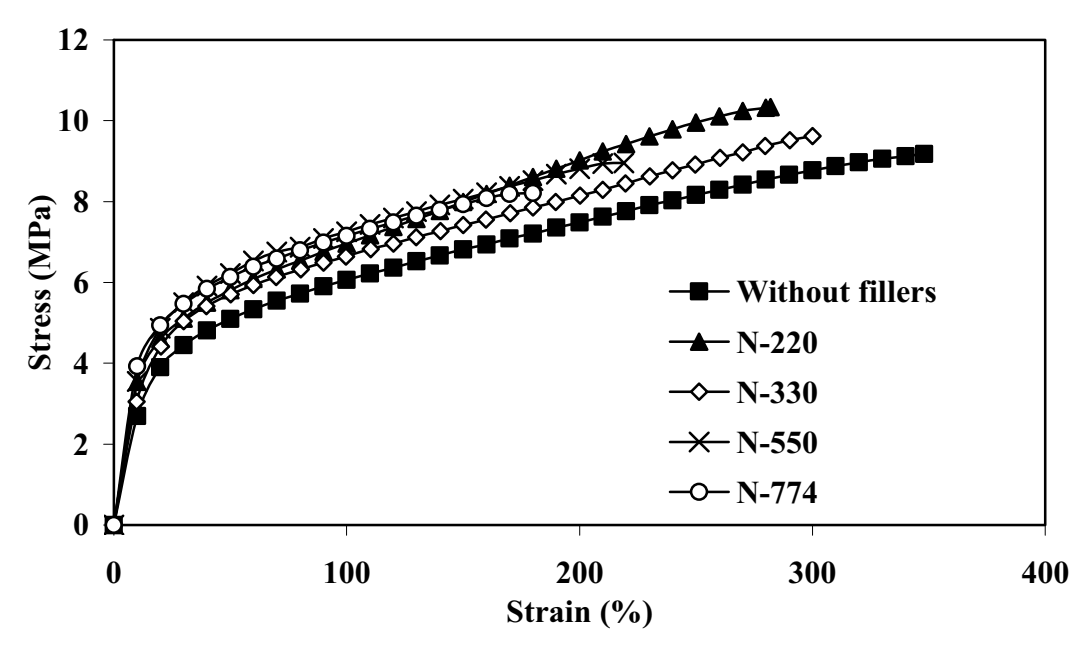
จากผลการศึกษาสมบัติต่างๆ จะเห็นว่าการเติมซิลิกาที่ปริมาณ 20 phr ให้สมบัติของ เทอร์โมพลาสติกวัลคาในซ์ยางธรรมชาติกับพอลิโพรไพลีนที่ดีที่สุด ได้แก่ สมบัติเชิงกล, สมบัติ เชิงพลวัต, ลักษณะทางสัณฐานวิทยา และเมื่อเติมซิลิกาปริมาณมากกว่านี้จะทำให้สมบัติต่างๆ ด้อยลง ดังนั้นการเตรียมเทอร์โมพลาสติกวัลคาในซ์ยางธรรมชาติกับพอลิโพรไพลีนควรเติมสาร ตัวเติมชนิดซิลิกาที่ปริมาณ 20 phr จึงจะได้วัสดุที่มีคุณภาพดีที่สุด

3.5.2 เขม่าดำ

เตรียมยางธรรมชาติผสมสารเคมีโดยใช้ระบบฟินอลิกเป็นระบบการวัลคาในเซชัน โดย แปรเกรดเขม่าดำ ได้แก่ N-220, N-330, N-550 และ N-774 ใช้ปริมาณ 20 phr นำยางผสม สารเคมีมาเบลนด์กับพอลิโพรไพลีน ใช้อัตราส่วนการเบลนด์ NR/PP เท่ากับ 60/40 แล้วนำไป ขึ้นรูปแล้วทดสอบสมบัติ

3.5.2.1 สมบัติเชิงกลของเทอร์โมพลาสติกวัลคาไนซ์

จากการนำเทอร์โมพลาสติกวัลคาในซ์ที่แปรเกรดเขม่าดำไปทดสอบความต้านทานต่อ แรงดึงได้ผลการทดลองกราฟความสัมพันธ์ระหว่างความเค้นกับความเครียดดังรูปที่ 83



ร**ูปที่ 83** กราฟความสัมพันธ์ระหว่างความเค้นกับความเครียดของเทอร์โมพลาสติกวัลคาในซ์ จากการเบลนด์ยางธรรมชาติกับพอลิโพรไพลีนที่แปรเกรดของเขม่าดำ

จากรูปที่ 83 เมื่อพิจารณาความชันของกราฟในช่วงที่เป็นเส้นตรง พบว่าเมื่อผสมเขม่า ดำเกรดต่าง ๆ มีผลให้ความชันมีค่าสูงขึ้น นั่นคือเทอร์โมพลาสติกวัลคาในช์ยางธรรมชาติกับพอ ลิโพรไพลีนมีมอดูลัสความยืดหยุ่นหรือความแข็งตึงสูงขึ้น เนื่องจากเขม่าดำเป็นสารตัวเติมชนิด เสริมประสิทธิภาพ กล่าวคือจะทำให้พอลิเมอร์เบลนด์มีความแข็งแรงเพิ่มขึ้น เนื่องจากการเกิด พันธะเชื่อมโยงระหว่างเขม่าดำกับยางธรรมชาติ เมื่อพิจารณาที่เกรดเขม่าดำ พบว่าเขม่าดำแต่ ละเกรดให้มอดูลัสยืดหยุ่นที่ต่างกัน กล่าวคือเขม่าดำที่ให้มอดูลัสความยืดหยุ่นสูงสุดคือ N-220 รองลงมาคือ N-330, N-550 และ N-774 ตามลำดับ เนื่องจากเขม่าดำที่มีขนาดอนุภาคเล็กจะทำ ให้พอลิเมอร์เบลนด์มีความแข็งแรงดีกว่า ในตารางที่ 44 จะเห็นว่าเขม่าดำที่มีขนาดอนุภาคเล็ก ที่สุดคือ N-220 รองลงมาคือ N-330, N-550 และ N-774 ตามลำดับ จะเห็นค่าความแข็งตึงมี แนวโน้มตามพื้นที่ผิวของเขม่าดำ

ตารางที่ 44 เปรียบเทียบคุณสมบัติของเขม่าดำเกรดต่างๆ (Thai carbon black Data sheet, 2006)

Properties	N-220	N-330	N-550	N-774
lodine Adsorption (g/kg)	121+/-5	82+/-5	43+/-5	29+/-4
CTAB Surface Area (m ² /g)	111+/-7	83+/-6	42+/-5	25-33
pH Value	6-9	6-9	6-9	9-11
Heating Loss at 125°C (%max)	1.0	1.0	1.0	0.3
Ash Content (%max)	0.45	0.45	0.45	0.5
Sulphur Content (%max)	1.1	1.1	1.1	0.1
Toluene Discoloration (%min)	90	90	90	70
Pour Content (kg/m ³)	330	340	330	490
Fine Content (%max)	15	15	15	7

ตารางที่ 45 แสดงความต้านทานต่อแรงดึง ค่าความสามารถในการยืดจนขาด ความสามารถในการคืนรูป และค่าความแข็งของเทอร์โมพลาสติกวัลคาในซ์จากการเบลนด์ยาง ธรรมชาติกับพอลิโพรไพลีนที่แปรเกรดเขม่าดำ พบว่าเทอร์โมพลาสติกวัลคาในซ์ยางธรรมชาติ กับพอลิโพรไพลีนที่ใช้เขม่าดำเกรด N-220 มีความต้านทานต่อแรงดึงสูงสุด รองลงมาคือ N-330 เนื่องจากเขม่าดำ 2 ชนิดนี้มีขนาดอนุภาคเล็กจะทำให้พอลิเมอร์เบลนด์มีความต้านทานต่อแรง ดึงสูง ซึ่งพบว่าเขม่าดำที่มีขนาดอนุภาคเล็กที่สุดคือ N-220 รองลงมาคือ N-330, N-550 และ N-774 ตามลำดับ (ตารางที่ 44) ส่วนเขม่าดำเกรด N-550 และ N-774 ให้ค่าความต้านทานต่อแรง ดึงที่ต่ำกว่า

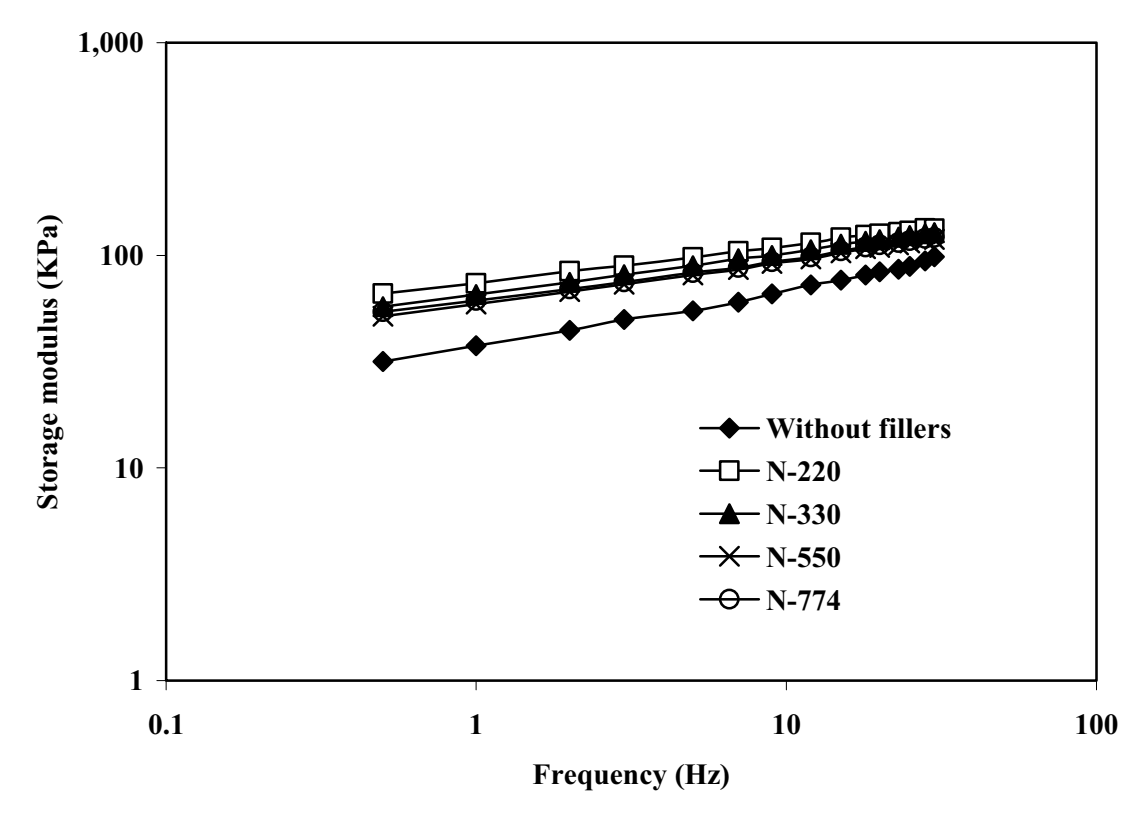
ตารางที่ 45 ค่าความต้านทานต่อแรงดึง, ค่าความสามารถในการยืดจนขาด, ค่าความสามารถ ในการคืนรูป และค่าความแข็งของเทอร์โมพลาสติกวัลคาในซ์จากการเบลนด์ยางธรรมชาติกับ พอลิโพรไพลีนที่แปรเกรดเขม่าดำ ใช้อัตราส่วนการเบลนด์ เท่ากับ 60/40

Carbon black	Tensile	Tensile Elongation at		Hardness
	strength	break	(%)	(Shore A)
	(MPa)	(%)		
Without CB	9.18	348	25	84
N-220	9.31	307	30	86
N-330	10.33	282	30	87
N-550	9.98	260	35	87
N-774	9.67	257	35	86

จากตารางที่ 45 พบว่าเมื่อเติมเขม่าดำ ทำให้เทอร์โมพลาสติกวัลคาในซ์ยางธรรมชาติ กับพอลิโพรไพลึนมีความสามารถในการยืดลดลง เนื่องจากการเติมสารตัวเติมจะทำให้พอลิเมอร์ เบลนด์มีสมบัติความยืดหยุ่นลดลง เพราะสารตัวเติมจะเข้าไปขัดขวางความสามารถในการ ยืดหยุ่นของสายโซ่โมเลกุลของพอลิเมอร์ เมื่อพิจารณาเกรดเขม่าดำ จะเห็นว่าเขม่าดำเกรดที่ให้ ค่าความสามารถในการยืดสูงที่สุดคือ N-330 ซึ่งใกล้เคียงกับ N-220 รองลงมาคือ N-550 และ N-774 ตามลำดับ ทั้งนี้เนื่องจากเขม่าดำที่มีขนาดอนุภาคเล็กจะทำให้พอลิเมอร์เบลนด์มี ความสามารถในการยืดสูง (เขม่าดำเกรด N-330 และ N-220) แต่เมื่อเขม่าดำมือนุภาคใหญ่ขึ้น เมื่อแรงเค้นสูงขึ้นทำให้ TPVs ขาดได้ง่าย จึงมีความสามารถในการยืดต่ำ (เขม่าดำเกรด N-550 และ N-774 ตามลำดับ) นอกจากนี้การผสมเขม่าดำทำให้ความสามารถในการคืนรูปลดลง เนื่องจากการเติมสารตัวเติมจะทำให้พอลิเมอร์เบลนด์มีสมบัติความยืดหยุ่นลดลง จะเห็นว่าเขม่า ดำเกรดที่ให้ค่าความสามารถในการคืนรูปสูงที่สุดคือ N-220 รองลงมาคือ N-330, N-550 ซึ่ง เท่ากับ N-774 ตามลำดับ ซึ่งมีแนวโน้มตามขนาดอนุภาค

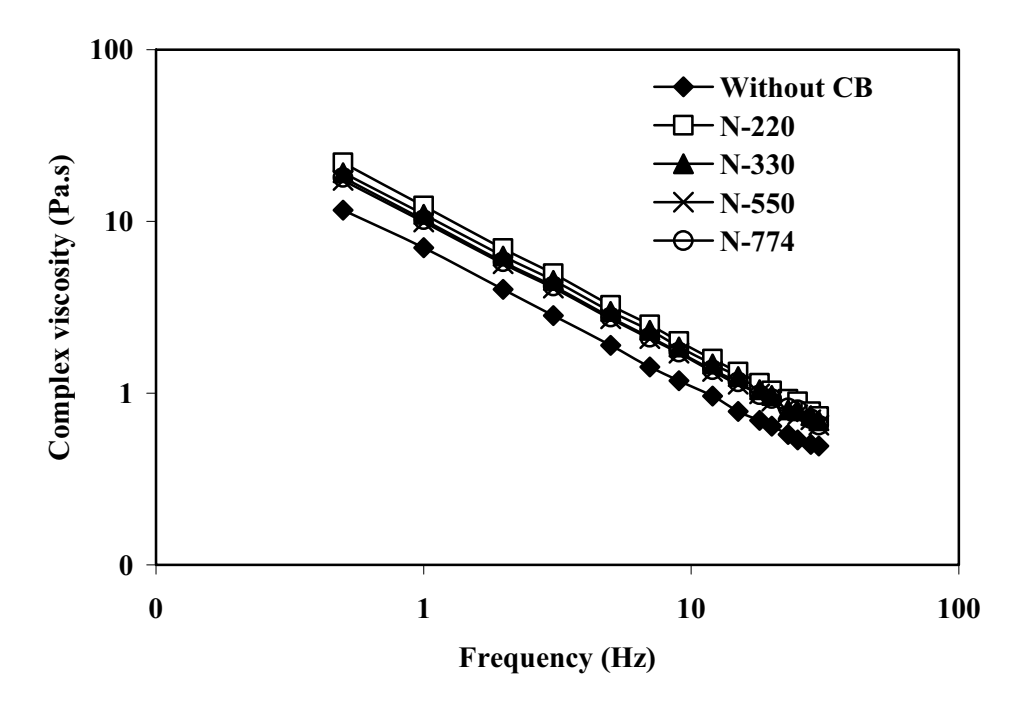
3.5.2.2 สมบัติเชิงพลวัต

ทดสอบสมบัติเชิงพลวัตของเทอร์โมพลาสติกวัลคาในซ์จากการเบลนด์ยางธรรมชาติกับ พอลิโพรไพลีนที่แปรเกรดเขม่าดำ (ได้แก่ N-220, N-330, N-550 และ N774) โดยการแปร ค่าความถี่ ที่ Strain คงที่ 7.0 % ที่อุณหภูมิ180 °C ได้ผลความสัมพันธ์ระหว่างมอดูลัสสะสมกับ ความถี่ ดังแสดงในรูปที่ 84 พบว่าการเติมสารตัวเติมเขม่าดำจะทำให้มอดูลัสสะสมมีค่าสูงขึ้น เนื่องจากเขม่าดำเป็นสารตัวเติมซึ่งเกิดอันตรกิริยากับยางได้ดีและจะเข้าไปแทรกอยู่ระหว่าง โมเลกุลของพอลิเมอร์ ซึ่งจะทำให้ขัดขวางการผิดรูปของ TPVs โดยพบว่าเขม่าดำที่มีอนุภาค เล็ก (N-220) จะให้ TPVs ที่มีมอดูลัสสะสมสูงที่สุด รองลงมาคือ TPVs ที่ผสมเขม่าดำเกรด N-330 และ N-550 ซึ่งใกล้เคียงกันกับ N-774 ตามลำดับ นั่นคือเขม่าดำที่มีอนุภาคขนาดเล็กจะ มีพื้นที่ผิวสัมผัสมากจึงเกิดการขัดต่อต้านการผิดรูปได้สูงกว่า



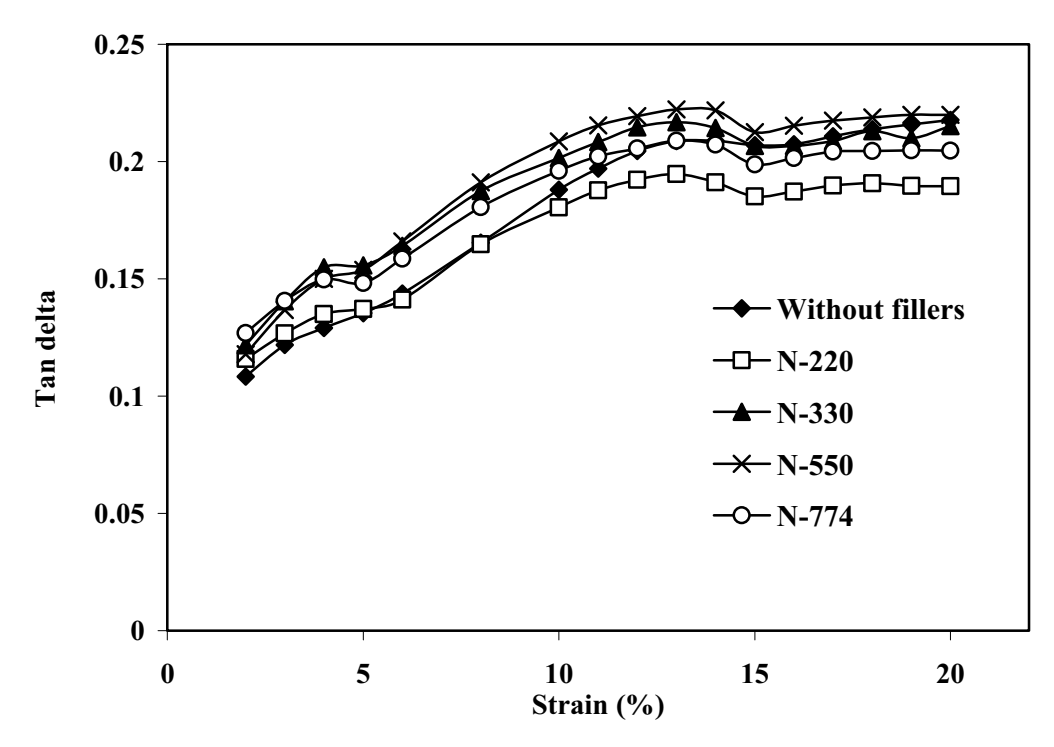
ร**ูปที่ 84** ความสัมพันธ์ระหว่างมอดูลัสสะสมกับความถี่ของเทอร์โมพลาสติกวัลคาในซ์จาก การเบลนด์ยางธรรมชาติกับพอลิโพรไพลีนที่แปรเกรดของเขม่าดำ

รูปที่ 85 แสดงความสัมพันธ์ระหว่างความหนืดเชิงซ้อนกับความถี่ของเทอร์โม พลาสติกวัลคาในซ์จากการเบลนด์ยางธรรมชาติกับพอลิโพรใพลีนที่แปรเกรดของเขม่าดำพบว่า การผสมเขม่าดำจะทำให้ค่าความหนืดเชิงซ้อนสูงขึ้น เนื่องจากเพิ่มการต่อต้านการใหลเนื่องจาก ปฏิกิริยาและอันตรกิริยาระหว่างเขม่าดำกับพอลิเมอร์ โดยพบว่า TPVs ที่ผสมเขม่าดำที่มี อนุภาคเล็กที่สุด (N-220) จะมีความหนืดสูงเชิงซ้อนที่สุด รองลงมาคือ N-330 และ N-550 ซึ่ง ใกล้เคียงกันกับ N-774 ตามลำดับ



ร**ูปที่ 85** ความสัมพันธ์ระหว่างความหนืดเชิงซ้อนกับความถี่ของเทอร์โมพลาสติกวัลคาในซ์จาก การเบลนด์ยางธรรมชาติกับพอลิโพรไพลีนที่แปรเกรดของเขม่าดำ

รูปที่ 86 แสดงความสัมพันธ์ระหว่างค่า Tan δ กับความเครียดของเทอร์โมพลาสติกวัล คาในซ์จากการเบลนด์ยางธรรมชาติกับพอลิโพรไพลีนที่แปรเกรดของเขม่าดำ พบว่าค่า Tan δ ของ TPVs ที่ผสมเขม่าดำเกรด N-220 มีค่าต่ำที่สุด ซึ่งมีความยืดหยุ่นสูงที่สุด นอกจากนี้ ค่า Tan δ ของ TPVs ที่ผสมเขม่าดำเกรด N-774, N-330 และ N-550 มีค่าสูงขึ้นตามลำดับ ดังนั้น จึงตัดสินใจเลือกเขม่าดำเกรด N-220 ในการศึกษาการแปรปริมาณในตอนต่อไป



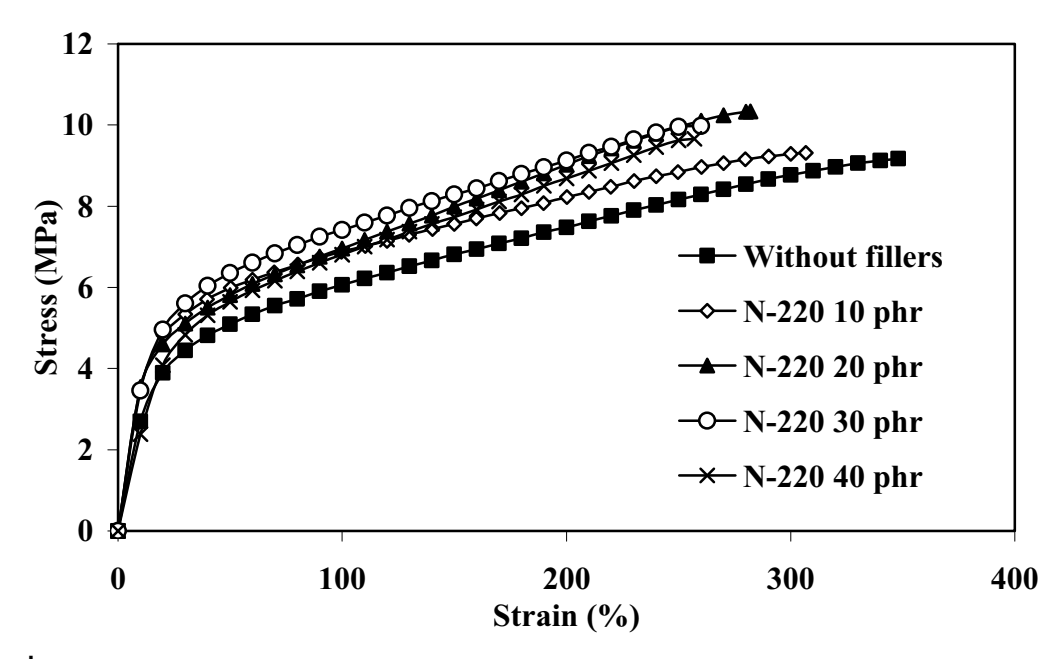
รูปที่ 86 ความสัมพันธ์ระหว่าง Tan δ กับความเครียดของเทอร์โมพลาสติกวัลคาในซ์จาก การเบลนด์ยางธรรมชาติกับพอลิโพรไพลีนที่แปรเกรดของเขม่าดำ

3.6 อิทธิพลของปริมาณเขม่าดำต่อสมบัติเทอร์โมพลาสติกวัลคาไนซ์

ในการทดลองตอนนี้เตรียมยางธรรมชาติผสมสารเคมีโดยใช้ระบบฟินอลิกเป็นระบบ การวัลคาในเซชัน โดยแปรปริมาณเขม่าดำเกรด N-220 เป็น 0, 10, 20, 30 และ 40 phr นำไป ขึ้นรูปแล้วนำเทอร์โมพลาสติกวัลคาในซ์ที่ได้ไปทดสอบสมบัติต่างๆ

3.6.1 สมบัติเชิงกลของเทอร์โมพลาสติกวัลคาไนซ์

รูปที่ 86 แสดงกราฟความสัมพันธ์ระหว่างความเค้นกับความเครียดของเทอร์โม พลาสติกวัลคาในซ์ที่แปรปริมาณเขม่าดำเกรด N-220 พบว่าความชั้นของกราฟในช่วงที่เป็น เส้นตรงมีค่าสูงขึ้นเมื่อผสมเขม่าดำ จนมีค่าสูงที่สุดที่ปริมาณการใช้ 30 phr การเพิ่มเขม่าดำเป็น 40 phr ทำให้ค่าความชั้นของกราฟลดลง สมบัติด้านความต้านทานต่อแรงดึง และค่า ความสามารถในการยืดจนขาด ที่ได้จากรูปที่ 86 สรุปในตารางที่ 46 ซึ่งได้แสดงผลการทดสอบ สมบัติความสามารถในการคืนรูป และความแข็งไว้ด้วย



ร**ูปที่ 87** ความสัมพันธ์ระหว่างความเค้นกับความเครียดของเทอร์โมพลาสติกวัลคาในซ์จากการ เบลนด์ยางธรรมชาติกับพอลิโพรไพลีนที่แปรปริมาณเขม่าดำเกรด N-220

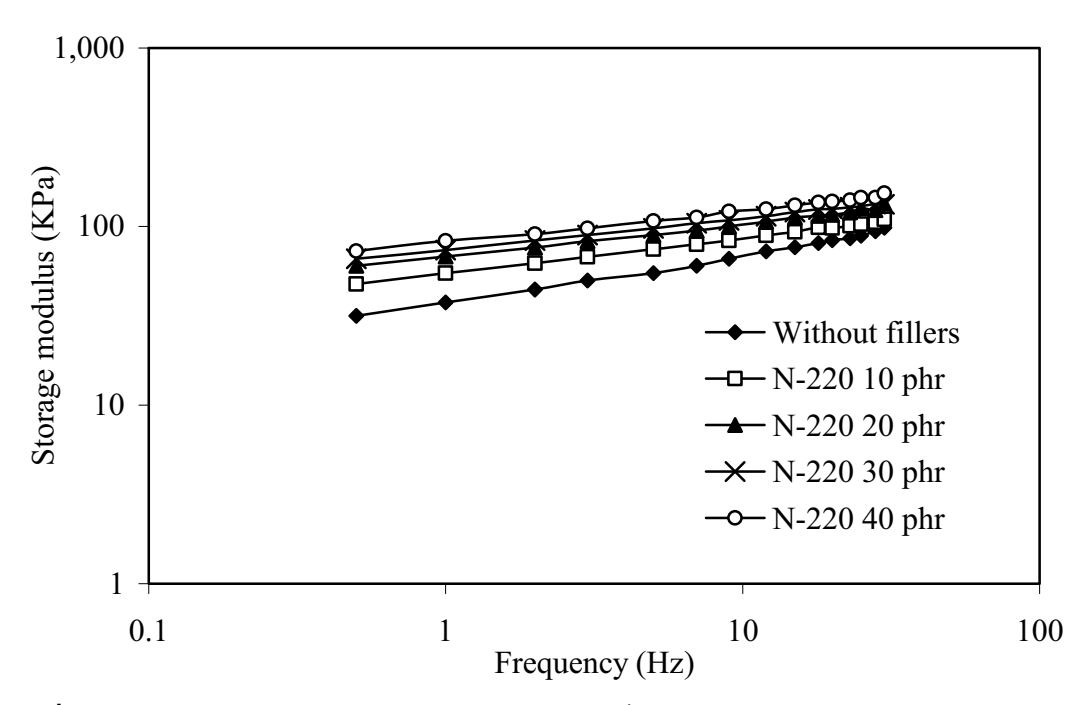
ตารางที่ 46 ค่าความต้านทานต่อแรงดึง, ค่าความสามารถในการยืดจนขาด, ค่าความสามารถ ในการคืนรูป และค่าความแข็งของเทอร์โมพลาสติกวัลคาในซ์จากการเบลนด์ยางธรรมชาติกับ พอลิโพรไพลีนที่แปรปริมาณเขม่าดำเกรด N-220

Quantity of	Tensile	Elongation at	Tension set	Hardness
N-220 (phr)	strength	break	(%)	(Shore A)
	(MPa)	(%)		
0	9.18	348	25	84
10	9.31	307	30	86
20	10.33	282	30	87
30	9.98	260	35	87
40	9.67	257	35	86

จากตารางที่ 46 พบว่า TPVs ที่ผสมเขม่าดำปริมาณ 20 phr ให้ค่าความต้านทานต่อ แรงดึง ความสามารถในการยืดจนขาดสูงที่สุดเนื่องจากสามารถเกิดอันตรกิริยาได้ดีและมี ปริมาณที่สมดุลกับพอลิเมอร์ที่ใช้ นอกจากนี้พบว่าการเพิ่มปริมาณเขม่าดำมีผลต่อการลด ความสามารถในการคืนรูปและเพิ่มความแข็งเล็กน้อย

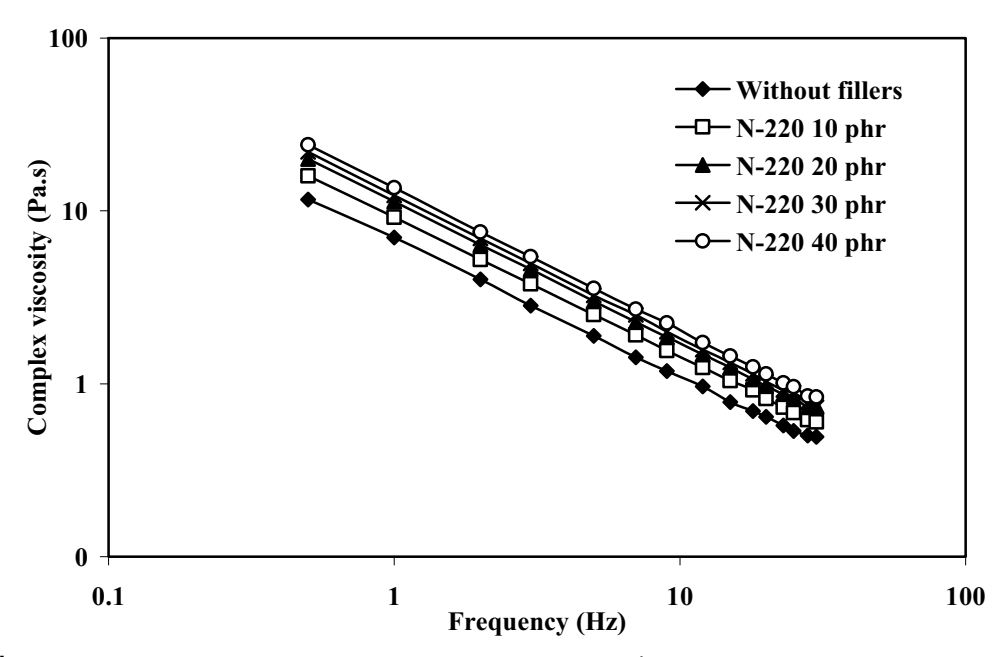
3.6.2 สมบัติเชิงพลวัตของเทอร์โมพลาสติกวัลคาไนซ์

รูปที่ 88 แสดงความสัมพันธ์ระหว่างมอดูลัสสะสมกับความถี่ของเทอร์โมพลาสติกวัลคา ในซ์จากการเบลนด์ยางธรรมชาติกับพอลิโพรไพลีนที่แปรปริมาณเขม่าดำเกรด N-220 พบว่า เพิ่มปริมาณเขม่าดำทำให้มอดูลัสสะสมของเทอร์โมพลาสติกวัลคาในซ์มีค่าเพิ่มขึ้นตามลำดับ เนื่องจาก การมีเขม่ำดำในปริมาณมากทำให้เกิดการขัดขวางการผิดรูปทำให้ค่ามอดูลัสสะสม เพิ่มขึ้นตามการเพิ่มปริมาณเขม่าดำ



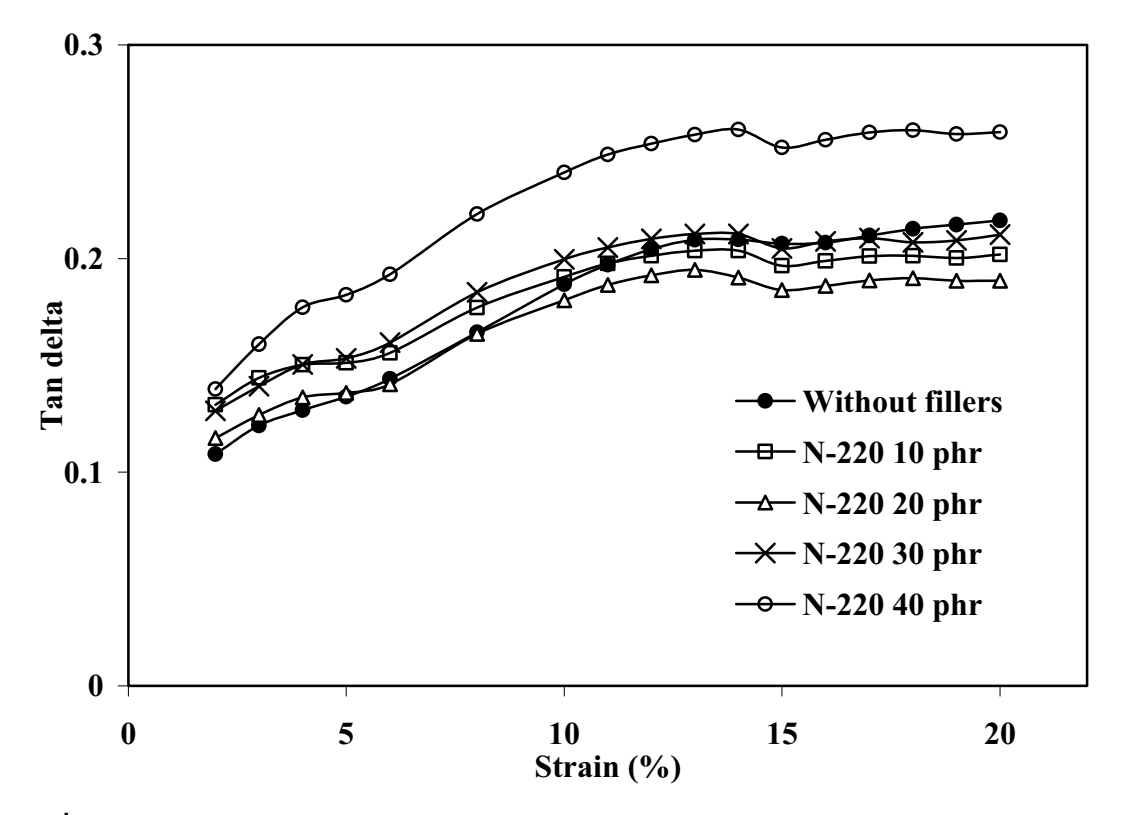
ร**ูปที่ 88** ความสัมพันธ์ระหว่างมอดูลัสสะสมกับความถี่ของเทอร์โมพลาสติกวัลคาในซ์จากการ เบลนด์ยางธรรมชาติกับพอลิโพรไพลีนที่แปรปริมาณเขม่าดำเกรด N-220

รูปที่ 89 แสดงความสัมพันธ์ระหว่างความหนืดเชิงซ้อนกับความถี่ของเทอร์โม พลาสติกวัลคาในซ์จากการเบลนด์ยางธรรมชาติกับพอลิโพรไพลีนที่แปรปริมาณเขม่าดำเกรด N-220 พบว่าการเพิ่มปริมาณเขม่าดำทำให้เพิ่มค่าความหนืดเชิงซ้อนของเทอร์โมพลาสติกวัลคา ในซ์เนื่องจากเกิดการต่อต้านการไหลที่มากขึ้น



ร**ูปที่ 89** ความสัมพันธ์ระหว่างความหนืดเชิงซ้อนกับความถี่ของเทอร์โมพลาสติกวัลคาในซ์จาก การเบลนด์ยางธรรมชาติกับพอลิโพรไพลีนที่แปรปริมาณเขม่าดำเกรด N-220

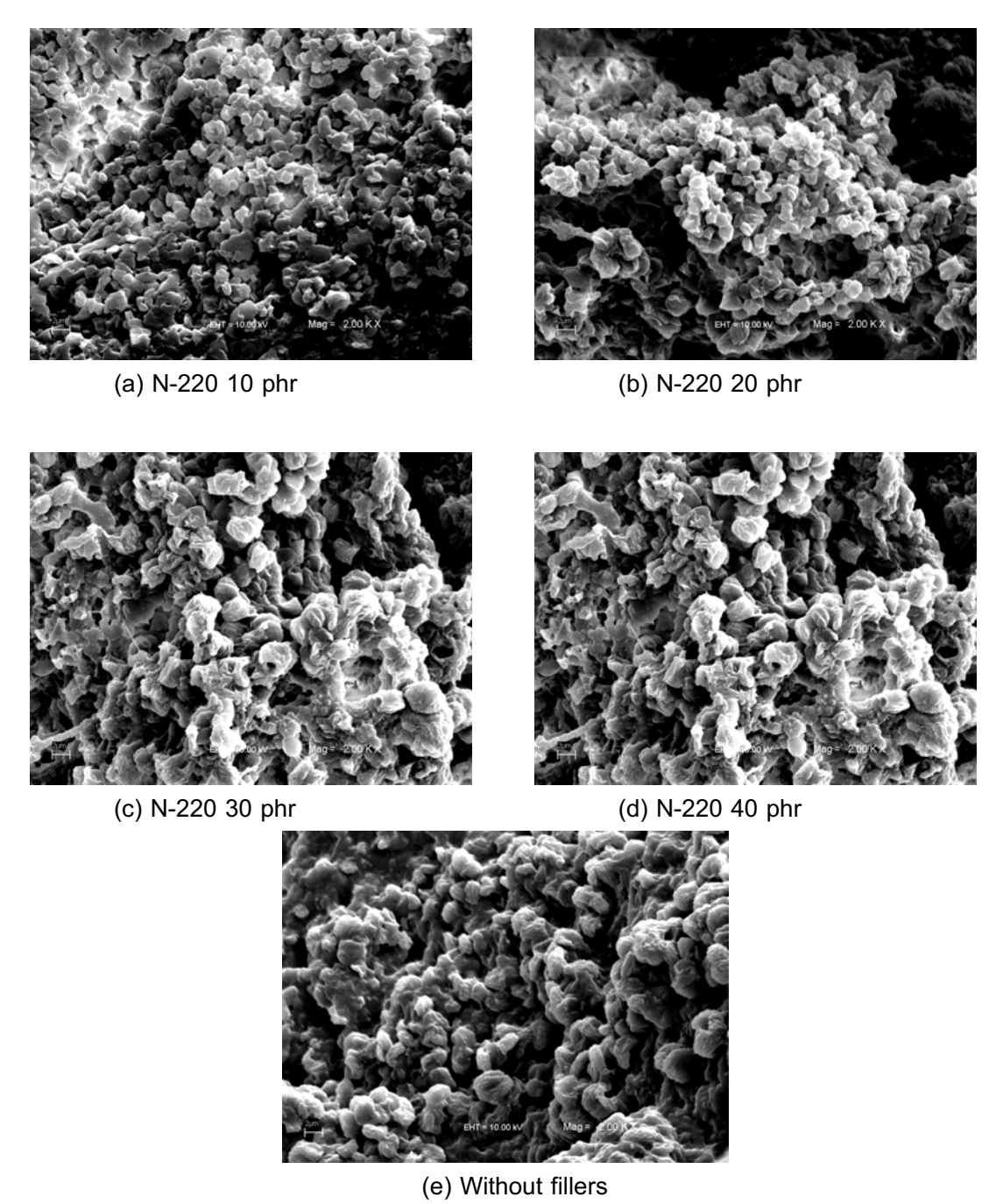
รูปที่ 90 แสดงความสัมพันธ์ระหว่างค่า Tan δ กับความเครียดของเทอร์โมพลาสติกวัล คาในซ์จากการเบลนด์ยางธรรมชาติกับพอลิโพรไพลีนที่แปรปริมาณเขม่าดำเกรด N-220 พบว่า การใช้เขม่าดำที่ปริมาณ 20 phr ให้สมบัติความยืดหยุ่นสูงที่สุด รองลงมาคือ TPVs ที่ใช้เขม่าดำ ปริมาณ 10 phr, 30phr และ ค่า Tan δ สูงที่สุดใน TPVs ที่ใช้เขม่าดำปริมาณ 40 phr ดังนั้น การใช้เขม่าดำที่ที่ปริมาณ 20 phr จึงมีสมบัติที่ดีทั้งด้านความแข็งแรงและความยืดหยุ่นของ เทอร์โมพลาสติกวัลคาในซ์ดีที่สุด



ร**ูปที่ 90** ความสัมพันธ์ระหว่างค่า Tan δ กับความเครียดของเทอร์โมพลาสติกวัลคาในซ์จาก การเบลนด์ยางธรรมชาติกับพอลิโพรไพลีนที่แปรปริมาณเขม่าดำเกรด N-220

3.6.3 สัณฐานวิทยาของเทอร์โมพลาสติกวัลคาในซ์

รูปที่ 91 แสดงสัณฐานวิทยาของเทอร์โมพลาสติกวัลคาในซ์จากการเบลนด์ NR/PP ที่ แปรเขม่าดำเกรด N-220 จะเห็นว่าลักษณะทางสัณฐานวิทยาของเทอร์โมพลาสติกวัลคาในซ์ยาง ธรรมชาติกับพอลิโพรไพลีน ที่ผสมเขม่าดำเกรด N-220 ที่ปริมาณ 20 phr ให้ขนาดอนุภาคเล็ก ใกล้เคียงกับกรณีที่ไม่ผสมสารตัวเติมและการใช้สารตัวเติม 10 phr การใช้สารตัวเติมปริมาณ 30 และ 40 phr ทำให้ได้อนุภาคยางที่มีขนาดใหญ่อย่างชัดเจน ซึ่งขนาดอนุภาคสามารถประเมิน สมบัติต่างๆของ TPVs ได้ โดยสรุปว่าการใช้เม่าดำเกรด N-220 ปริมาณ 20 phr จะให้สมบัติโดยรวมของ TPVs ที่ดีที่สุด



ร**ูปที่ 91** ลักษณะทางสัณฐานวิทยาของเทอร์โมพลาสติกวัลคาในซ์จากการเบลนด์ยางธรรมชาติ กับพอลิโพรไพลีนแปรปริมาณเขม่าดำเกรด N-220

4. การเตรียม TPVs จากการเบลนด์ยางธรรมชาติอิพอกไซด์กับพอลิโพรไพลีน4.1 อิทธิพลชนิดน้ำมันต่อสมบัติของเทอร์โมพลาสติกวัลคาไนซ์

เตรียมเทอร์โมพลาสติกวัลคาในซ์จาการเบลนด์ ENR-20/PP ที่อัตราส่วนเบลนด์ = 50/50 และ 60/40 แปรชนิดน้ำมันและพลาสติใชเซอร์คือ น้ำมันอิพอกไซด์ (ESO) ใดออกทิลพลา ทาเลท (DOP) ใดไอโซโนนิลพลาทาเลท (DINP) และน้ำมันพาราฟินิก (PO) หลังจากนั้นนำ TPVs ที่ได้ไปทดสอบสมบัติเชิงกลและสมบัติการใหล

4.1.1 สมบัติเชิงกล

เมื่อนำชิ้นทดสอบ TPVs มาทดสอบสมบัติเชิงกล คือ ความต้านทานต่อแรงดึง ความสามารถในการยืดจนขาด ความสามารถในการคืนรูป (Tension set) และความแข็ง (Hardness) ได้ผลดังแสดงในตารางที่ 47

ตารางที่ 47 ความต้านทานต่อแรงดึง ความสามารถในการยืดจนขาด ความสามารถในการคืน รูปและความแข็งของ TPVs ที่เตรียมได้จากการเบลนด์ ENR-20/PP= 60/40 และ =50/50 โดย แปรชนิดน้ำมัน

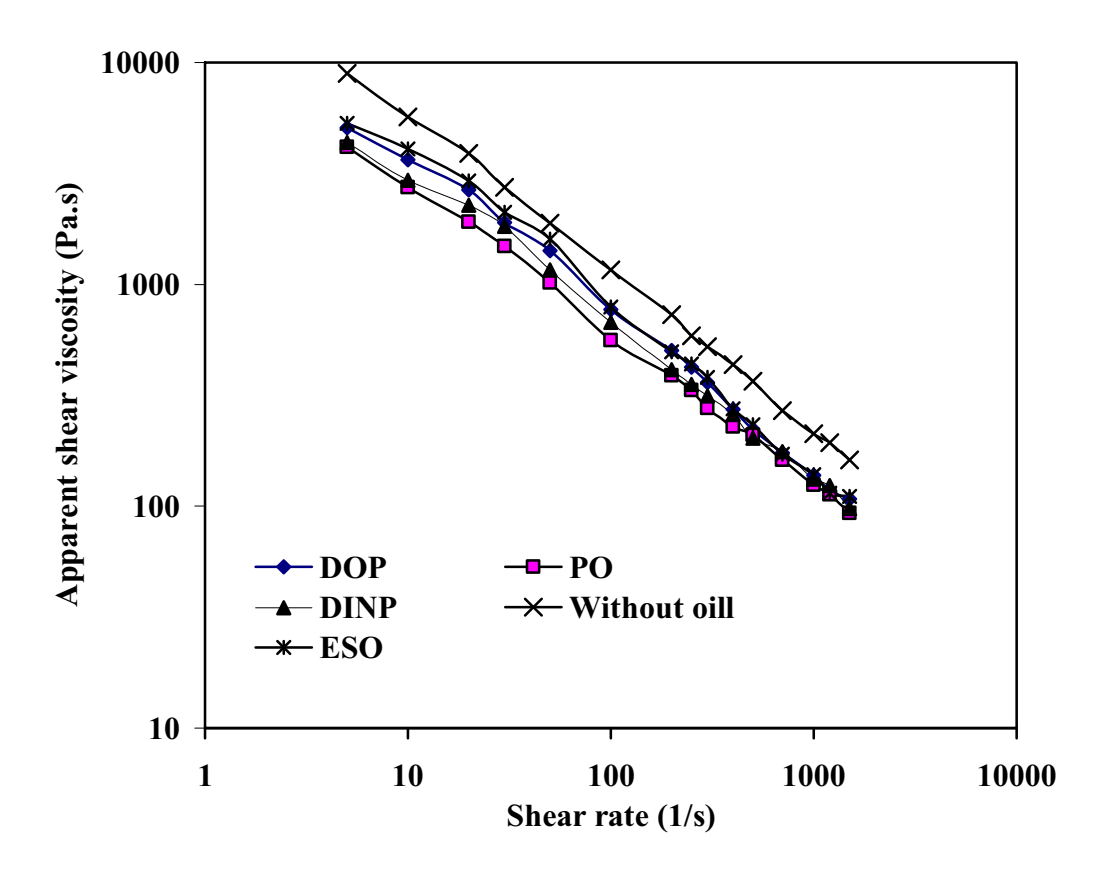
Types of Oil	Tensile strength (MPa)		Elongation at break (%)			on set %)		ness re A)
	60/40	50/50	60/40	50/50	60/40	50/50	60/40	50/50
Without Oil	8.6	10.4	190	140	57.5	63.0	87.5	97.0
ESO	8.1	10.1	195	205	50	60.0	86.0	95.0
DOP	7.9	10.1	205	250	46.0	56.5	83.0	94.0
DINP	7.1	9.7	225	260	46.0	56.5	82.0	92.0
РО	7.0	9.1	280	375	46.0	53.0	81.5	90.5

จากตารางที่ 47 เมื่อเปรียบเทียบสมบัติเชิงกลของ TPVs ระหว่างชนิดที่ใส่น้ำมันกับ ชนิดที่ไม่ใส่น้ำมัน พบว่า TPVs ชนิดที่ใส่น้ำมันมีค่าความต้านทานต่อแรงดึงและค่าความแข็ง ต่ำกว่าชนิดที่ไม่ใส่น้ำมัน แต่มีค่าความสามารถในการยืดจนขาดและความสามารถในการคืนรูป ดีกว่าชนิดที่ไม่ใส่น้ำมัน เนื่องจากน้ำมันหรือพลาสติไซเซอร์ที่ใส่ลงไปจะไปรบกวนการตกผลึก ของผลึก PP ทำให้ผลึกบางส่วนเปลี่ยนเป็นพอลิเมอร์อสันฐานส่งผลให้ความต้านทานต่อแรงดึง และความแข็งของ TPVs ลดลง นอกจากนี้น้ำมันหรือพลาสติไซเซอร์ที่ใส่ลงไป ยังไปลดแรง ดึงดูดระหว่างโมเลกุลยางและพลาสติกทำให้เพิ่มปริมาตรอิสระระหว่างสายโซ่โมเลกุลทำให้สาย โซ่โมเลกุลยางบิดตัวและเคลื่อนที่ได้ง่ายขึ้นหรือมีความยืดหยุ่นเพิ่มขึ้น จึงทำให้ TPVs ที่ผสม น้ำมันหรือพลาสติไซเซอร์มีความสามารถในการยืดจนขาดสูงและความสามารถในการคืนรูป ดีกว่า TPVs ที่ไม่ผสมน้ำมันหรือพลาสติไซเซอร์ และเมื่อเปรียบเทียบชนิดของน้ำมันพบว่า

TPVs ที่ผสมน้ำมัน ESO จะมีค่าความต้านทานต่อแรงดึงและความแข็งสูงที่สุดเนื่องจากน้ำมันมี โครงสร้างวงแหวนอิพอกไซด์ที่เกิดอันตรกิริยากับวงแหวนอิพอกไซด์ในโมเลกุลยาง ENR ได้ดี ส่วน TPVs ที่มีสมบัติรองลงมาได้แก่ TPVs ที่ผสม DOP, DINP และ PO ตามลำดับ นอกจากนี้ พบว่า TPVs ที่ผสมน้ำมัน PO จะมีค่าความสามารถในการยืดจนขาดสูงที่สุดทั้งที่อัตราส่วนเบ ลนด์ ENR/PP= 50/50 และ =60/40 รองลงมาคือ TPVs ที่ใช้ DINP, DOP และ ESO ตามลำดับ ส่วนสมบัติความสามารถในการคืนรูป พบว่า TPVs ที่ผสมน้ำมัน PO จะมีค่า Tension set ต่ำที่สุดแสดงว่ามีความสามารถในการคืนรูปดีที่สุด คาดว่าเนื่องจากน้ำมัน PO สามารถแพร่เข้าสู่สายโซ่โมเลกุลยางธรรมชาติอิพอกไซด์และพอลิโพรไพลีนดีกว่าน้ำมันชนิด อื่นๆ ดังนั้นเพื่อเพิ่มความสามารถในการแปรรูปและสมบัติความเป็นยางการใช้น้ำมัน PO น่าจะ มีความเหมาะสมมากที่สุด

4.1.2 สมบัติทางรีโอโลยี

ทดสอบสมบัติการใหลของเทอร์โมพลาสติกวัลคาในซ์จากการเบลนด์ ENR-20/PP ที่ อัตราส่วนเบลนด์ 60/40 โดยแปรชนิดน้ำมันและพลาสติใชเซอร์ด้วยเครื่องรีโอมิเตอร์ แบบ คาปิลลารี ที่อุณหภูมิ 180°C โดยการวิเคราะห์ความสัมพันธ์ระหว่างความหนืดเฉือนปรากฏกับ อัตราเฉือนปรากฏที่ระดับต่างๆ ดังแสดงผลในรูปที่ 92 พบว่าค่าความหนืดเฉือนปรากฏของ TPVs จะมีแนวโน้มลดลงตามการเพิ่มอัตราเฉือนปรากฏโดยที่อัตราเฉือนปรากฏใดๆ TPVs ชนิดที่ไม่ใส่น้ำมันจะมีค่าความหนืดเฉือนปรากฏสูงกว่า TPVs ที่ใส่น้ำมันชนิดต่างๆ เนื่องจากน้ำมันที่ผสมลงไปจะแพร่เข้าไปทั้งในเฟสยาง ENR และพอลิโพรไพลีนทำให้มีความ นิ่มมากขึ้นส่งผลให้ความหนืดของ TPVs ขณะใหลลดลง นอกจากนี้ยังพบว่าที่อัตราเฉือน ปรากฏใดๆค่าความหนืดเฉือนปรากฏของ TPVs ที่ใส่น้ำมัน ESO จะมีค่าสูงที่สุดตามด้วย TPVs ชนิดที่ใส่น้ำมัน DOP, DINP และชนิดที่ใส่น้ำมัน PO ตามลำดับ แสดงว่า น้ำมัน PO สามารถแพร่เข้าไปในเฟสพอลิโพรไพลีนและยางธรรมชาติอิพอกไซด์ได้ดีกว่าน้ำมันชนิดอื่นๆ ส่งผลให้ TPVs ที่ผสมน้ำมัน PO ใหล่ได้ง่ายกว่า TPVs ที่ผสมน้ำมันชนิดอื่นๆ



ร**ูปที่ 92** ความสัมพันธ์ระหว่างความหนืดเฉือนปรากฏกับอัตราเฉือนปรากฏของ TPVs ที่ เตรียมได้จากการเบลนด์ ENR-20/PP= 60/40 โดยแปรชนิดน้ำมัน

4.2 อิทธิพลปริมาณน้ำมันต่อสมบัติของเทอร์โมพลาสติกวัลคาไนซ์

เตรียมเทอร์โมพลาสติกวัลคาในซ์จากการเบลนด์ ENR-20/PP ที่อัตราส่วนเบลนด์ 50/50 ตาม โดยแปรปริมาณน้ำมันพาราฟินิกที่ระดับ 15, 25, 30, 35, 40, 45, 50 และ 75 phr จากนั้น นำ TPVs ที่ได้ไปทดสอบสมบัติต่างๆได้ผลการทดลองดังนี้

4.2.1 สมบัติเชิงกล

ทดสอบสมบัติเชิงกลของ TPVs จากการเบลนด์ ENR-20/PP ที่อัตราส่วนเบลนด์ 50/50 โดยแปรปริมาณน้ำมันพาราฟินิกที่ระดับต่างๆ ได้ผลดังแสดงในตารางที่ 48

ตารางที่ 48 ความต้านทานต่อแรงดึง ความสามารถในการยืดจนขาด ความสามารถในการ คืนรูปและความแข็งของ TPVs ที่เตรียมได้จากการเบลนด์ ENR-20/PP= 50/50 โดยแปร ปริมาณน้ำมันพารา ฟินิกที่ระดับต่าง ๆ

		,		
Quantities	Tensile	Elongation at	Tension set	Hardness
(phr)	strength	break	(%)	(Shore A)
	(MPa)	(%)		
0	10.4	140	63.0	94.5
15	9.3	311	58.0	92.5
25	9.1	375	53.0	90.5
30	8.9	390	50	89.0
35	8.8	317	48	88.0
40	8.1	282	45.0	87.5
45	7.3	250	45.0	86.5
50	6.8	235	42.0	85.5
75	4.9	110	40.0	80.0

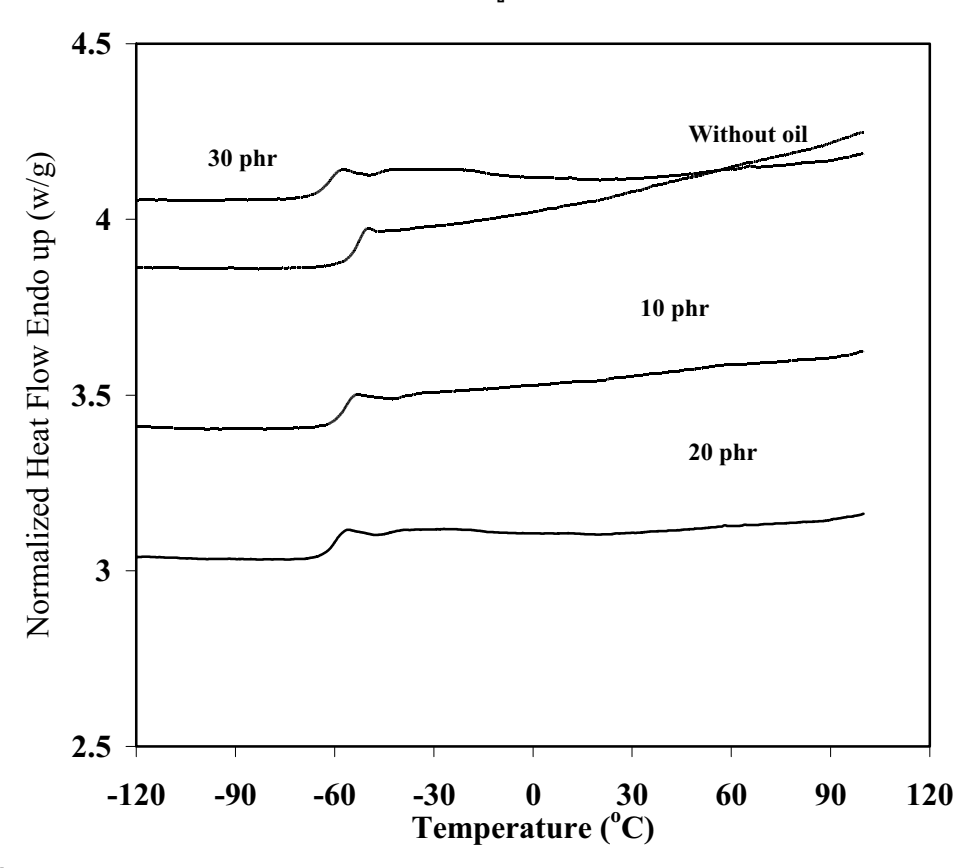
จากตารางที่ 48 พบว่าความต้านทานต่อแรงดึงและความแข็งมี แนวโน้มลดลงตามการ เพิ่มปริมาณน้ำมันพาราฟินิก โดยค่าความต้านทานต่อแรงดึงและความแข็งมีค่าต่ำสุดเมื่อ TPVs ผสมน้ำมันพาราฟินิกปริมาณ 75 phr เนื่องจากน้ำมันพาราฟินิกจะแพร่เข้าสู่เฟสยางและเฟสพอ ลิโพรไพลีนทำให้ปริมาณผลึกพอลิโพรไพลีนลดลง นอกจากนี้พบว่าค่า Tension set ของ TPVs ก็มีแนวโน้มลดลงตามการเพิ่มปริมาณน้ำมันพาราฟินิก แสดงว่า ความสามารถในการคืน รูปเพิ่มขึ้นตามการเพิ่มปริมาณน้ำมันพาราฟินิก เนื่องจากการผสมน้ำมันในพอลิเมอร์ที่มีผลึก เช่น PP น้ำมัน จะขัดขวางการเกิดผลึกและจะละลายผลึกพอลิโพรไพลีนทำให้ปริมาณผลึก เปลี่ยนสภาพเป็นพอลิเมอร์อสัณฐาน ส่งผลให้พอลิเมอร์มีความยืดหยุ่นเพิ่มขึ้น ส่วนการใส่ น้ำมันในพอลิเมอร์อสัณฐาน เช่น ยางธรรมชาติน้ำมันจะลดแรงดึงดูดระหว่างสายโซ่โมเลกุลยาง และยังเพิ่มปริมาตรอิสระระหว่างสายโซ่พอลิเมอร์ทำให้สายโซ่พอลิเมอร์สามารถบิดตัวและ เคลื่อนที่ได้ง่ายขึ้นทำให้ค่าอุณหภูมิกลาสทรานซิซัน (Tg) ลดลงส่งผลให้ยางมีสมบัติความ ยืดหยุ่นเพิ่มขึ้น

จากตารางที่ 48 ยังพบว่าค่าความสามารถในการยึดจนขาดของ TPVs มีลักษณะเป็น รูประฆังคว่ำ นั่นคือมีค่าเพิ่มขึ้นตามการเพิ่มปริมาณน้ำมันพาราฟินิกและมีค่าสูงสุดเมื่อผสม น้ำมันพาราฟินิก ปริมาณ 30 phr เนื่องจากเมื่อผสมน้ำมันพาราฟินิกปริมาณที่ระดับหนึ่งจะทำ ให้เกิดที่ว่างหรือ ปริมาตรอิสระระหว่างสายโซ่พอลิเมอร์ ส่งผลให้ความอิสระในการบิดตัวของ สายโซ่พอลิเมอร์และความยืดหยุ่นของพอลิเมอร์เพิ่มขึ้น การผสมน้ำมันพาราฟินิกในปริมาณ มากกว่า 30 phr จะทำให้ค่าความสามารถในการยึดจนขาดของ TPVs ลดลง ทั้งนี้เนื่องจากการ ผสมน้ำมันพาราฟินิกเพิ่มเข้าไปในปริมาณสูงจะทำให้โมเลกุลยางและพอลิโพรไพลีนเกิดการ

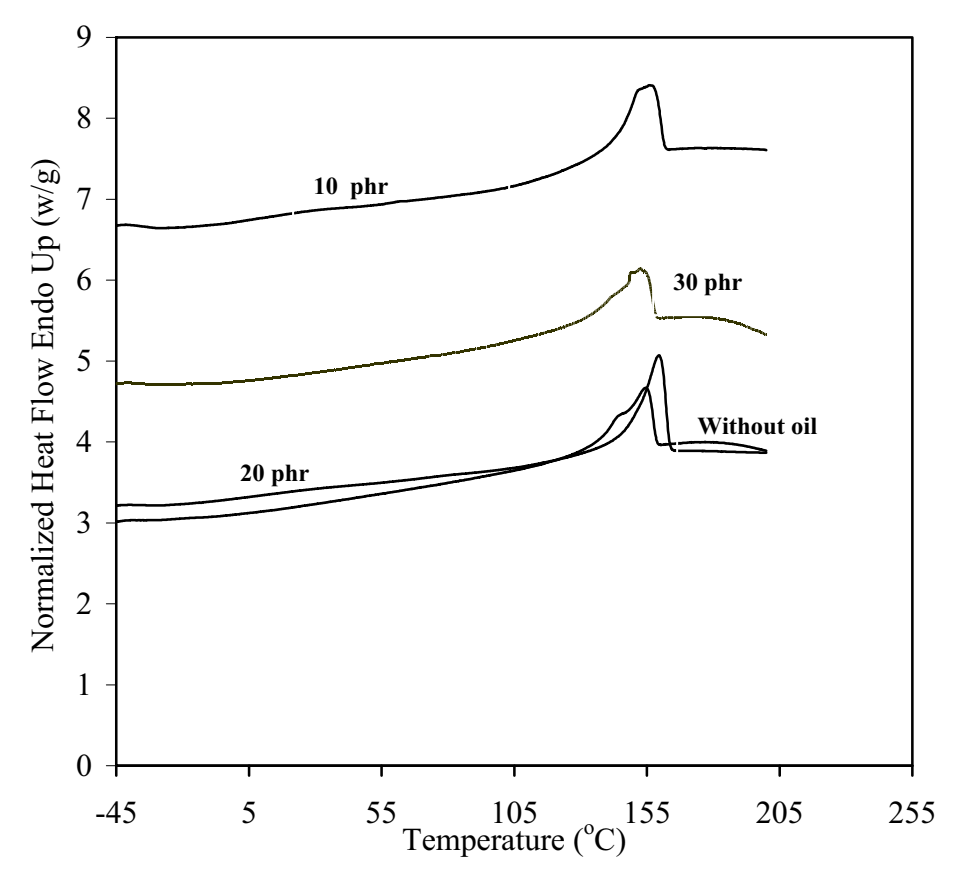
บวมพองและทำให้เกิดที่ว่างระหว่างสายโซ่มาก น้ำมันส่วนเกินที่ไม่สามารถแทรกไปอยู่ ตามโซ่ โมเลกุลก็จะแทรกตัวออกมาค้างที่บริเวณผิวประจัญ (Interface) ทำให้สายโซ่โมเลกุลยางและพอ ลิโพรไพลีนยึดติดกันได้ไม่ดี ส่งผลให้การกระจายความเค้นขณะถูกดึงให้ยืดไม่ดีและเกิดจุดอ่อน บริเวณผิวประจัญ จึงทำให้ TPVs เกิดการแตกหักได้ง่าย

4.2.2 วิเคราะห์สมบัติเชิงความร้อน

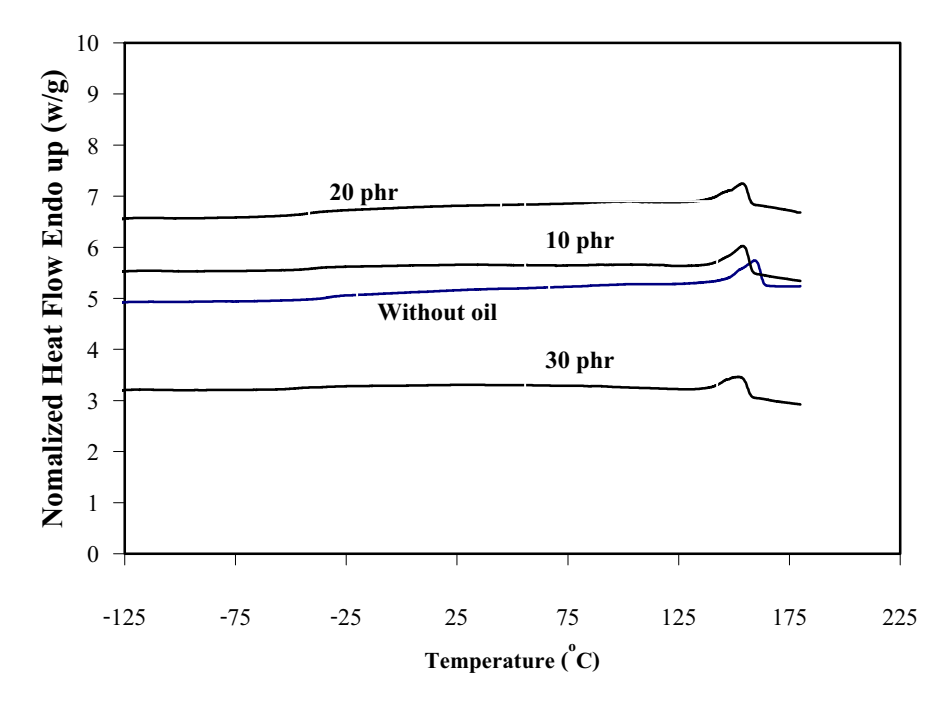
วิเคราะห์สมบัติเชิงความร้อนโดยเทคนิค DSC ด้วยเครื่องดิฟเฟอร์เรนเชียลสแกนนิ่ง แคลลอริมิเตอร์ (Differential Scanning Calorimeter, DSC) เพื่อวิเคราะห์ปัจจัยต่างๆ เช่น อุณหภูมิหลอมผลึก (Tm) ปริมาณผลึกของ PP และค่าอุณหภูมิกลาสทรานซิชัน (Tg) ของยาง ธรรมชาติอิพอกไซด์ พอลิโพรไพลีนและ TPVs ที่เตรียมจากการเบลนด์ ENR-20/PP ที่ อัตราส่วนเบลนด์ 50/50 เลือกเฉพาะชุดการทดลองที่แปรปริมาณน้ำมันพาราฟินิก 10, 20 และ 30 phr ได้ผลการทดลองDSC เทอร์โมแกรมของยางธรรมชาติอิพอกไซด์ พอลิโพรไพลีน และ TPVs จากการเบลนด์ ENR-20/PP ดังแสดงในรูปที่ 93-95 ตามลำดับ



ร**ูปที่ 93** เทอร์โมแกรมที่ได้จากการวิเคราะห์สมบัติเชิงความร้อนของยางธรรมชาติอิพอกไซด์ (ENR-20) แปรปริมาณน้ำมันพาราฟินิกที่ระดับต่าง ๆ

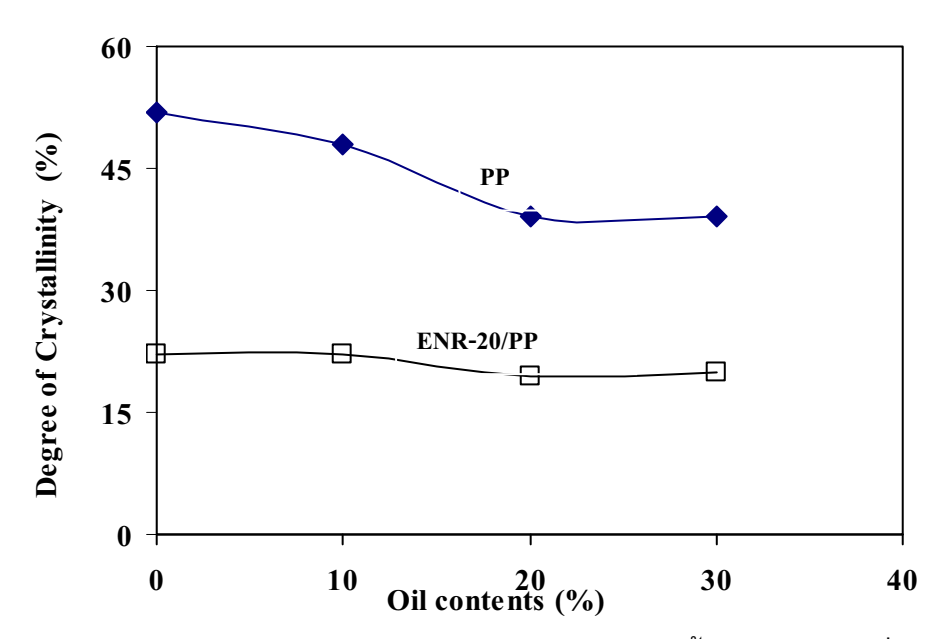


ร**ูปที่ 94** เทอร์โมแกรมที่ได้จากการวิเคราะห์สมบัติเชิงความร้อนของพอลิโพรไพลีน เกรด P700J แปรปริมาณน้ำมันพาราฟินิกที่ระดับต่างๆ

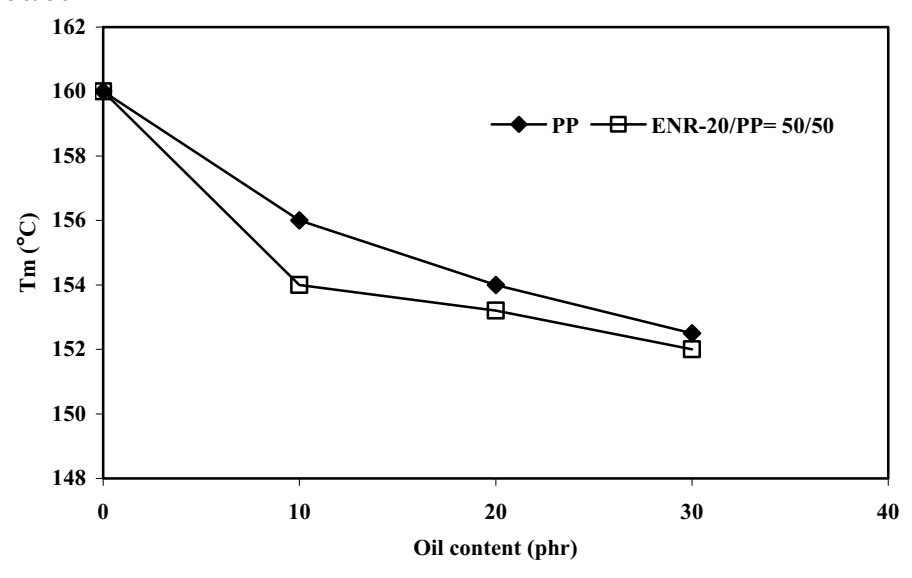


ร**ูปที่ 95** เทอร์โมแกรมที่ได้จากการวิเคราะห์สมบัติเชิงความร้อนของ TPVs ที่เตรียมได้จาก การเบลนด์ ENR-20/PP ที่อัตราส่วนเบลนด์ 50/50 แปรปริมาณน้ำมันพาราฟินิกที่ระดับต่างๆ

จากเทอร์โมแกรมในรูป 93-95 วิเคราะห์หาค่า Tg , Tm และคำนวณหาปริมาณผลึก ของ PP (รูปที่ 94 และ 95) ตามสมการสมการ (9) ได้ผลการคำนวณดังแสดงในกราฟ ความสัมพันธ์ระหว่างปริมาณผลึก ค่า Tm และค่า Tg กับปริมาณน้ำมันพาราฟินิกดังแสดงในรูป ที่ 96-98 ตามลำดับ

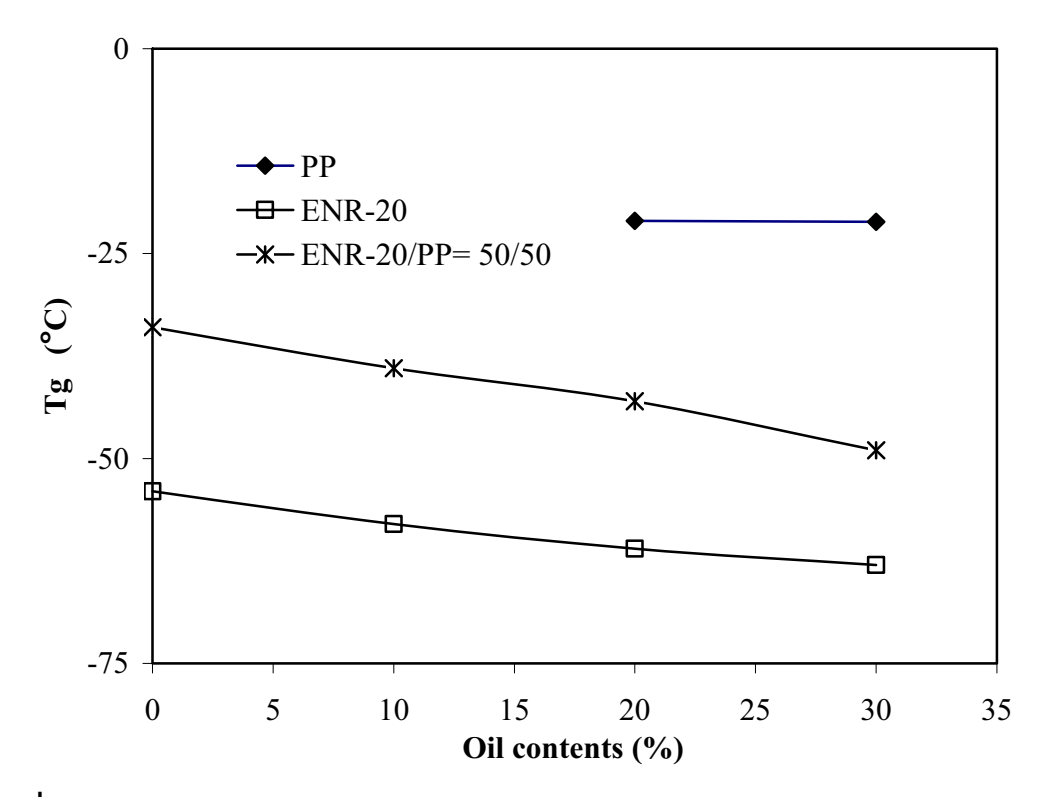


ร**ูปที่ 96** ความสัมพันธ์ระหว่างปริมาณผลึกใน PP กับปริมาณน้ำมันพาราฟินิกที่ระดับต่างๆ ของ พอลิโพรไพลีนและเฟสพอลิโพรไพลีนใน TPVs ที่เตรียมได้จากการเบลนด์ ENR-20/PP= 50/50



ร**ูปที่ 97** ความสัมพันธ์ระหว่างอุณหภูมิการหลอมผลึก PP กับปริมาณน้ำมันพาราฟินิกที่ ระดับ ต่างๆ ของพอลิโพรไพลีนและเฟสพอลิโพรไพลีนใน TPVs ที่เตรียมได้จากการเบลนด์ ENR-20/PP= 50/50

จากรูปที่ 96 พบว่าปริมาณผลึก PP ในพอลิโพรไพลีนที่ยังไม่ผสมกับยางมีค่าสูงกว่า PP ใน TPVs เนื่องจากเฟสยาง ENR ที่เบลนด์ร่วมกับ PP ในการเตรียม TPVs จะกระจายตัวใน เฟสต่อเนื่องของ PP จึงขัดขวางการเกิดผลึก PP นอกจากนี้การเตรียม TPVs ในสภาวะที่ใช้ ความร้อนและอัตราเฉือนสูงจะมีผลต่อการทำลายผลึกของ PP ใน TPVs จึงทำให้ปริมาณผลึก PP ใน TPVs น้อยกว่า นอกจากนี้พบว่าระดับผลึก PP ทั้งที่เบลนด์และไม่เบลนด์กับ ENR-20 มีแนวโน้มลดลงตามการเพิ่มปริมาณน้ำมัน พาราฟินิก เนื่องจากน้ำมันพาราฟินิกจะแพร่ในสาย โซ่โมเลกุลพอลิโพรไพลีนในส่วนอสัณฐานทำให้พอลิเมอร์นิ่มลง และน้ำมันส่วนหนึ่งยังจะไป ละลายผลึกแล้วเปลี่ยนเป็นส่วนที่ เป็นอสัณฐานมากขึ้น จึงทำให้ปริมาณผลึกของ PP ลดลง ส่วนอิทธิพลของปริมาณน้ำมันพาราฟินิก ต่อค่า Tm ของ PP ใน PP ที่ไม่ผสม ENR-20 และ PP ใน TPVs พบว่าการผสมน้ำมันพาราฟินิกจะทำให้ค่า Tm ของ PP ทั้ง 2 กรณีเปลี่ยนแปลง จากที่ไม่ได้ผสมน้ำมันพาราฟินิก (รูปที่ 97) โดยมีแนวโน้มลดลงตามการเพิ่มปริมาณน้ำมัน พาราฟินิก เนื่องจากน้ำมันพาราฟินิกบางส่วนจะไปบวมพองและละลายผลึก PP แล้วทำให้ผลึก PP มีน้อยลง จึงทำให้ใช้ความร้อนในการหลอมผลึก PP น้อยลง



ร**ูปที่ 98** ความสัมพันธ์ระหว่างค่าอุณหภูมิกลาสทรานซิชันของยาง ENR พอลิโพรไพลีนและ เฟสยาง ENR ใน TPVs ที่เตรียมได้จากการเบลนด์ ENR/PP= 50/50 กับปริมาณน้ำมันพารา ฟินิกที่ระดับต่างๆ

จากรูปที่ 98 พบว่าค่า Tg ของยางธรรมชาติอิพอกไซด์ที่ไม่ผสม PP และเฟสยาง ENR ใน TPVs มีแนวโน้มลดลงตามการเพิ่มปริมาณน้ำมันพาราฟินิก โดยการลดลงของค่า Tg จะปรากฏ ชัดเจนในยางธรรมชาติอิพอกไซด์ที่ไม่ผสม PP และของเฟส ENR ใน TPVs เนื่องจากน้ำมัน พาราฟินิกแพร่เข้าไปในสายโซ่โมเลกุลยางธรรมชาติอิพอกไซด์ทำให้โมเลกุลยืดหยุ่นดีขึ้น และ

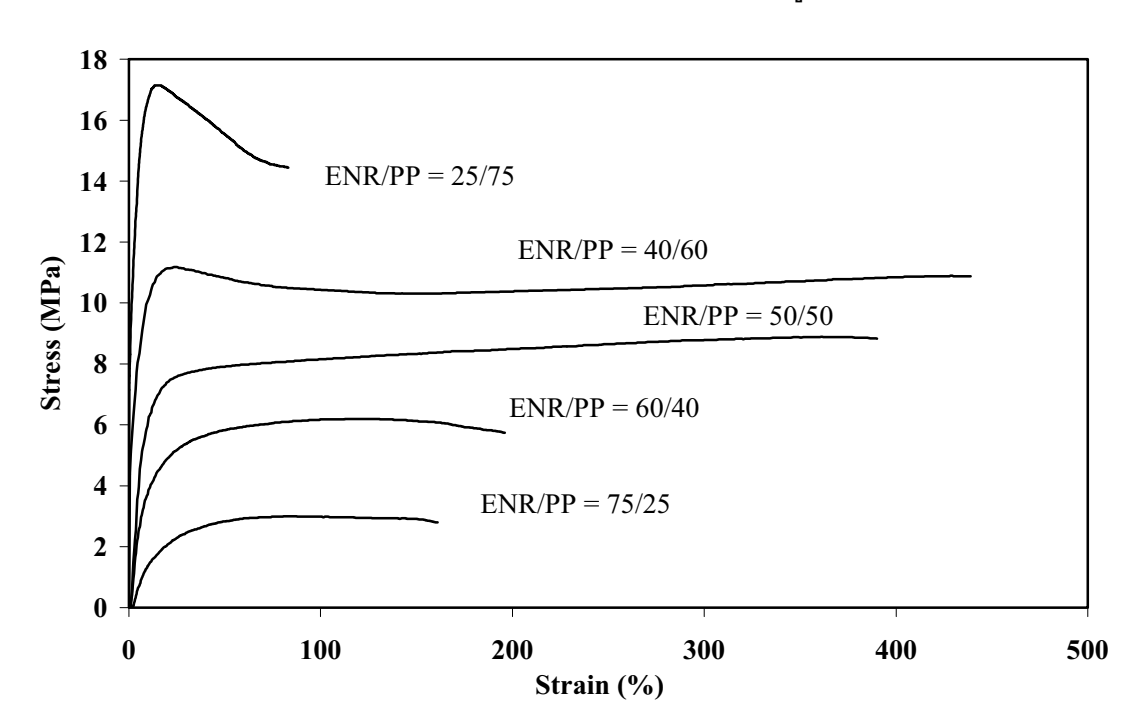
สามารถพลาสติไซต์ได้ง่ายกว่าเฟสพอลิโพรไพลีนที่เป็นพอลิเมอร์กึ่งผลึก และจากรูปข้างต้น พบว่าพอลิโพรไพลีนที่ไม่ผสม ENR ที่ใส่น้ำมันพาราฟินิกปริมาณน้อยกว่า 20 phr จะไม่ สามารถตรวจจับค่า Tg เนื่องจากคาดว่าพอลิโพรไพลีนที่ใช้ในการวิเคราะห์มีผลึกค่อนข้างสูงจึง ทำให้สังเกตุกลาสทรานสิชันไม่ได้ จึงไม่สามารถประเมินค่า Tg ซึ่งเป็นสมบัติของพอลิเมอร์ ส่วนอสัณฐานได้

4.2 อิทธิพลอัตราส่วนการเบลนด์ต่อสมบัติของเทอร์โมพลาสติกวัลคาไนซ์

เตรียมเทอร์โมพลาสติกวัลคาในซ์จากการเบลนด์ ENR-20/PP ผสมน้ำมันพาราฟินิก ปริมาณ 30 phr โดยแปรอัตราส่วนเบลนด์ ENR-20/PP = 75/25, 60/40, 50/50, 40/60 และ 25/75 จากนั้นนำ TPVs ที่ได้ไปทดสอบสมบัติเชิงกล สมบัติการไหลและสัณฐานวิทยาได้ผล ดังนี้

4.2.1 สมบัติเชิงกล

ทดสอบสมบัติเชิงกลของ TPVs ผสมน้ำมันพาราฟินิกปริมาณ 30 phr แปรอัตราส่วน เบลนด์ได้ความสัมพันธ์ระหว่างความเค้นและความเครียด ดังแสดงในรูปที่ 99



ร**ูปที่ 99** ความสัมพันธ์ระหว่างความเค้นกับความเครียดของ TPVs ที่เตรียมได้จากการเบลนด์ ENR-20/PP โดยแปรอัตราส่วนเบลนด์ที่ระดับต่างๆ

จากรูปที่ 99 เมื่อพิจารณากราฟทั้ง 5 เส้นพบว่าลักษณะการแตกหักของกราฟทั้ง 5 เส้น จะเห็นได้ว่าลักษณะของกราฟ TPVs ที่อัตราส่วนเบลนด์เท่ากับ 40/60 และ 25/75 จะปรากฏจุด ที่ความเค้นสูง ก่อนคราก (Yielding) แต่กราฟของ TPVs ที่เบลนด์ที่อัตราส่วนเบลนด์ที่มี ปริมาณยางสูงขึ้น คือ 50/50 60/40 และ 75/25 จะไม่ปรากฏการคราก การลดลงของความเค้น เมื่อเพิ่มความเครียดของกราฟเส้นที่อัตราส่วนการเบลนด์ 25/75 และ 40/60 เรียกว่าการอ่อนตัว เนื่องจากความเครียด (Strain softening) ซึ่งได้ความเค้นค่อนข้างคงที่หลังจุดคราก โดยเฉพาะ กราฟเส้นที่อัตราส่วนเบลนด์ 40/60 และถ้าความเค้นจะมีแนวโน้มสูงขึ้นก่อนการแตกหักเรียกว่า การแข็งขึ้นเนื่องจากการจัดเรียงตัว (Orientation hardening) นั่นคือโมเลกุลโดยเฉพาะในเฟส พลาสติกมีการจัดเรียงตัวในทิศทางที่ถูกดึงทำให้ความแข็งแรงเพิ่มขึ้นและเมื่อเปรียบเทียบพื้นที่ ใต้กราฟของ TPVs ที่ เบลนด์ที่อัตราส่วนเบลนด์ที่อัตราส่วนเบลนด์ที่อัตราส่วนเบลนด์ 40/60 จะมีพื้นที่ใต้กราฟสูงที่สุด แสดงว่า TPVs ที่เบลนด์ที่อัตราส่วนเบลนด์ 40/60 มีความแข็งเหนียว (Toughness) มากกว่า TPVs ที่เบลนด์ที่อัตราส่วนเบลนด์อื่นๆ และ เมื่อพิจารณาความแข็งตึง (Stiffness) ของ TPVs ที่เบลนด์ที่อัตราส่วนเบลนด์ต่างๆ จากความ ชันของกราฟในช่วงแรกของการดึง พบว่าความแข็งดึงของ TPVs จะเพิ่มขึ้นตามปริมาณ PP เนื่องจาก PP เป็นเฟสที่แข็งเนื่องจากการมีผลึกในโมเลกุล ดังนั้นเมื่อเพิ่มปริมาณ PP ส่งผลให้ ความแข็งตึงของ TPVs เพิ่มขึ้น

จากความสัมพันธ์ระหว่างความเค้นและความเครียดสามารถวัดค่าความต้านทานต่อแรง ดึงของ TPVs จากค่าความเค้น ณ จุดขาด และค่าความสามารถในการยืดจนขาดจากระยะยืด และทดสอบสมบัติความสามารถในการคืนรูปได้ผลดังแสดงในตารางที่ 49

ตารางที่ 49 ความต้านทานต่อแรงดึง ความสามารถในการยืดจนขาดและความสามารถในการ คืนรูปของ TPVs ที่เตรียมได้จากการเบลนด์ ENR-20/PP โดยแปรอัตราส่วนเบลนด์ที่ระดับ ต่างๆ

Properties	ENR/PP						
	75/25	60/40	50/50	40/60	25/75		
Tensile strength (MPa)	3.0	6.2	8.9	11.2	17.4		
Elongation at break (%)	160	195	390	440	80		
Tension set (%)	23.0	46.0	50.0	66.0	-		

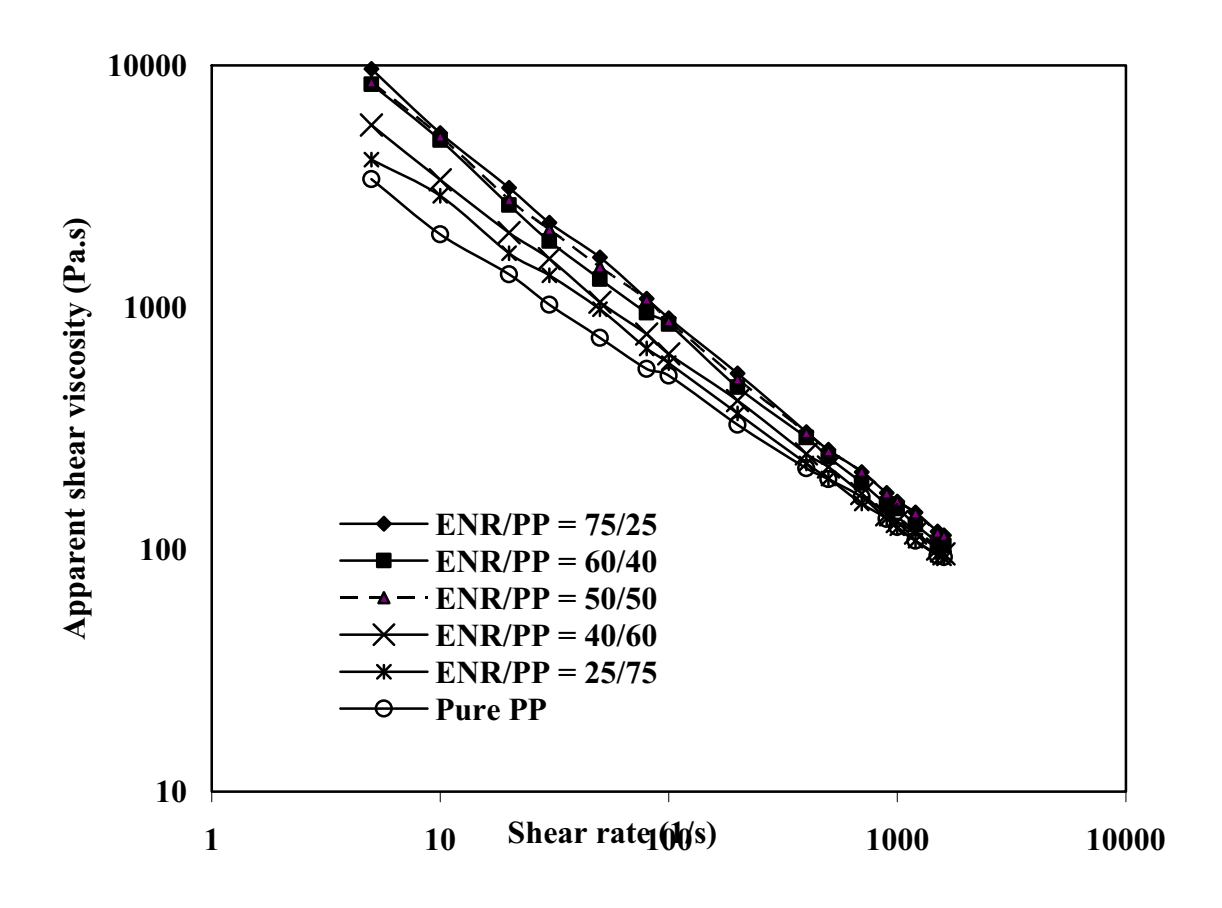
จากตารางที่ 28 พบว่าความต้านทานต่อแรงดึงของ TPVs มีแนวโน้มเพิ่มขึ้นตามการ เพิ่มปริมาณ PP นั่นคือมีค่าสูงสุดที่อัตราส่วนเบลนด์ ENR-20/PP = 25/75 รองลงมาเป็น อัตราส่วน เบลนด์ 40/60, 50/50, 60/40 และที่อัตราส่วนเบลนด์ 75/25 ตามลำดับ เนื่องจาก เฟสยางที่แสดงสมบัติความยืดหยุ่นคือเฟสยางจะกระจายตัวอยู่ในเฟสต่อเนื่องของ PP ทำให้ เมื่อเพิ่มเฟสยางทำให้ความสามารถในการเกิดผลึกของ PP ก็จะลดลง จึงทำให้ความต้านทาน ต่อแรงดึงลดลง นอกจากนี้สมบัติด้านความต้านทานต่อแรงดึงมีอิทธิพลมาจากการมีค่าความ ต้านทานต่อแรงดึงของ PP ที่สูง การเพิ่มปริมาณ PP จึงทำให้ TPVs มีค่าความต้านทานต่อแรง ดึงเพิ่มขึ้น ส่วนความสามารถในการคืนรูปของ TPVs จะมีแนวโน้มลดลงตามการเพิ่มปริมาณ

PP เนื่องจากค่า Tension set มีแนวโน้มเพิ่มขึ้น เนื่องจาก TPVs จะมียาง ENR เป็นเฟสที่ แสดงสมบัติความยืดหยุ่น ดังนั้นเมื่อเฟสที่แสดงสมบัติความยืดหยุ่นน้อย จะมีผลทำให้ TPVs ที่ ได้ก็จะมีสมบัติความยืดหยุ่นลดลงนั่นคือ TPVs มีความสามารถในการคืนรูปลดลง

นอกจากนี้ในตารางที่ 49 ยังพบว่าความสามารถในการยืดจนขาดของ TPVs ที่แปร อัตราส่วนเบลนด์ ENR-20/PP ที่ระดับต่างๆ มีลักษณะเป็นรูประฆังคว่ำ โดยมีแนวโน้มเพิ่มขึ้น ตามการเพิ่มปริมาณ PP ในช่วงตัน โดยความสามารถในการยืดจนขาดมีค่าสูงสุดเมื่อเบลนด์ PP ในปริมาณ 60% การเบลนด์ PP ในปริมาณมากกว่านี้จะทำให้ความสามารถในการยืดจน ขาดของ TPVs ลดลงซึ่งสอดคล้องกับงานวิจัยของ Xin et.al., 2003 และ George และ George et.al., 1995 ผลการทดลองนี้อยู่นอกเหนือสมมุติฐาน เนื่องจากการเพิ่มเฟส PP น่าจะทำให้ค่า ความสามารถในการยืดจนขาดลดลง เนื่องจาก PP มีความสามารถในการยืดจนขาดต่ำกว่ายาง แต่ผลการทดลองเป็นดังนี้คาดว่าเนื่องจากอิทโพลของน้ำมันที่ผสมใน TPVs เปรียบเทียบความสามารถในการยืดจนขาดของ TPVs ที่อัตราส่วนเบลนด์ ENR-20/PP= 60/40 และ = 50/50 ชนิดที่ใส่น้ำมันกับชนิดที่ไม่ใส่น้ำมัน พบว่า TPVs ชนิดที่ไม่ผสมน้ำมันจะมีค่า ความสามารถในการยืดจนขาดลดลงตามการเพิ่มปริมาณ PP ซึ่งสอดคล้องกับสมมุติฐาน แต่ TPVs ที่ผสมน้ำมันชนิดต่างๆ กลับแสดงผล ตรงกันข้ามกัน นั่นคือ ความสามารถในการยืดจน ขาดจะมีแนวโน้มเพิ่มขึ้นตามการเพิ่มปริมาณ PP คาดว่าเนื่องจากน้ำมันที่ผสมลงไปใน TPVs จะแพร่เข้าสู่ส่วนอสัณฐานของโมเลกุล PP ทำให้ PP นิ่มลง และน้ำมันบางส่วนจะไปละลายผลึก PP ส่งผลให้ปริมาณผลึก PP ลดลงความเป็นอสัณฐานของ TPVs ก็จะเพิ่มขึ้น และเหตุผลอีก ประการหนึ่งคาดว่าเนื่องจากโมเลกุลน้ำมันบางส่วนที่ไม่ได้แทรกในสายโซ่โมเลกุลยางและ PP อาจเกาะอยู่ที่ผิวโมเลกุล PP และอนุภาคยาง ENR ที่กระจายตัวในเฟสต่อเนื่องของ PP และ ขัดขวางการเคลื่อนที่หรือการจัดเรียงตัวให้เป็นระเบียบของสายโซ่โมเลกุลพอลิเมอร์ (เกิด steric hindrance) ขณะถูกดึงให้ยืด ทำให้เกิดอันตรกิริยา (Interaction) และการยึดเกาะที่ผิวสัมผัส (Interfacial adhesion) ระหว่างเฟสยาง ENR ซึ่งเป็นเฟสที่มีขั้วกับเฟสพลาสติกที่ไม่มีขั้วไม่ดี (George et.a., 1995 and Radsesh, et.al., 1996) ส่งผลให้ประสิทธิภาพในการถ่ายเทหรือ กระจายความเค้นระหว่างอนุภาคยางกับเฟสต่อเนื่องของ PP ไม่ดีด้วย ดังนั้นยิ่งเพิ่มเฟสยาง ้ผิวสัมผัสระหว่างเฟสยางกับเฟสพลาสติกก็จะยิ่งเพิ่ม ประสิทธิภาพในการถ่ายเทหรือกระจาย ความเค้นก็ยิ่งลดลง จึงเกิดจุดอ่อนระหว่างอินเตอร์เฟสส่งผลให้ความสามารถในการยืดจนขาด ของ TPVs ยิ่งลดลง ส่วนการเบลนด์ TPVs ที่อัตราส่วนเบลนด์ ENR-20/PP= 25/75 จะแสดง ค่าความสามารถในการยืดจนขาดต่ำที่สุด เนื่องจากที่อัตราส่วนเบลนด์ดังกล่าวมีปริมาณ ENR ทำให้น้ำมันพาราฟินิกที่ผสมลงไปจะไปละลายผลึก PP ได้แค่บางส่วนปริมาณผลึก PP ยังคงเหลืออยู่มาก จึงทำให้ TPVs แสดงสมบัติความแข็งตึงของ PP อย่างชัดเจน ซึ่งสังเกตได้ จากค่าความชั้นและความเค้นหลังจุดครากที่ลดลงอย่างรวดเร็ว

4.2.2 สมบัติทางรีโอโลยี

ทดสอบสมบัติทางรีโอโลยีหรือสมบัติการไหลของเทอร์โมพลาสติกวัลคาในซ์จากการเบลนด์ ENR-20/PP โดยการแปรอัตราส่วนการเบลนด์ที่ 75/25, 60/40, 50/50, 40/60 และ 25/75 ตามลำดับ ด้วยเครื่องรีโอมิเตอร์แบบคาปิลลารี โดยการวิเคราะห์เปรียบเทียบความสัมพันธ์ ความหนืดเฉือนปรากฏกับอัตราเฉือนปรากฏที่ระดับต่างๆ ได้ผลดังแสดงในรูปที่ 100

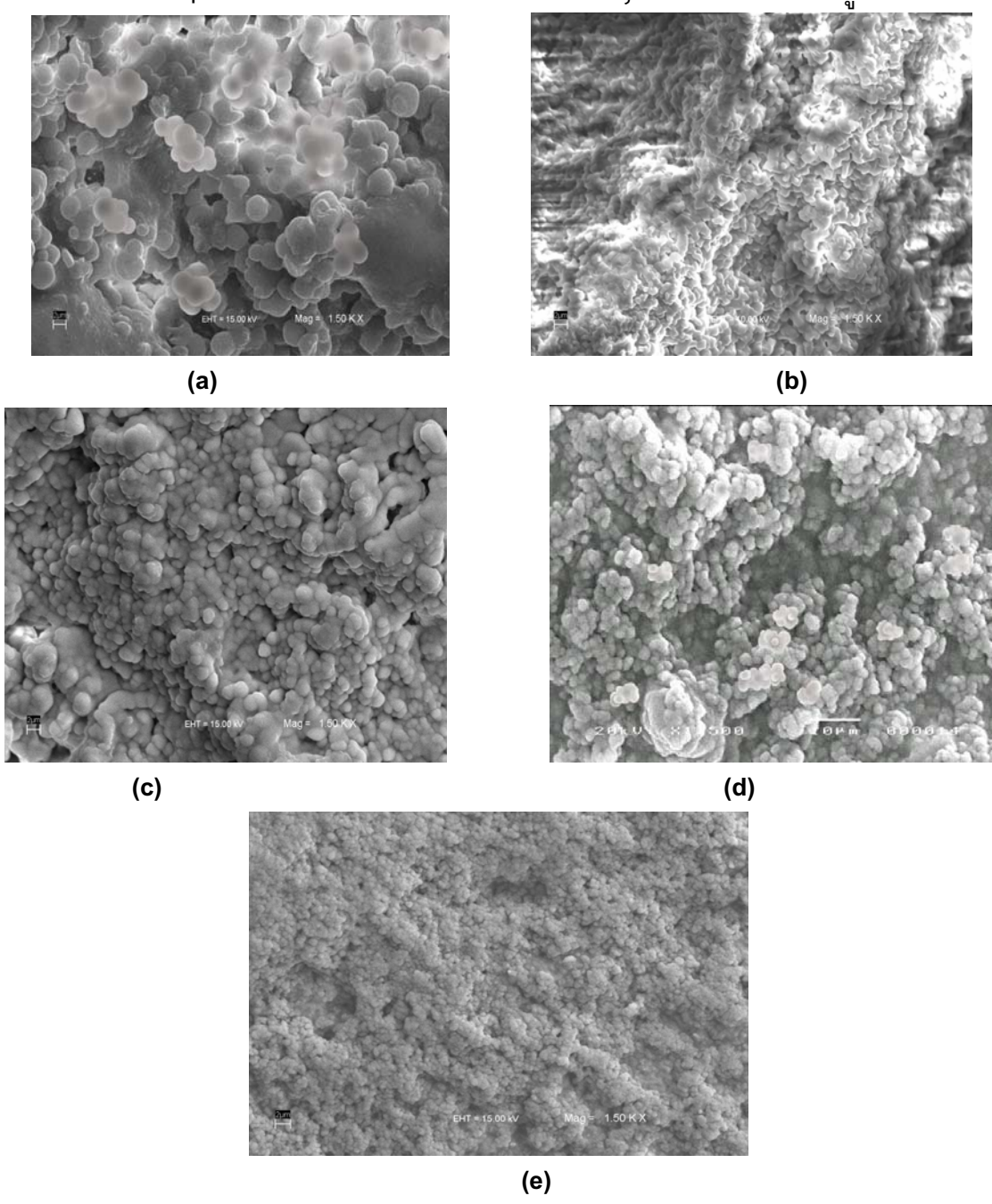


ร**ูปที่ 100** ความสัมพันธ์ระหว่างความหนืดเฉือนปรากฏกับอัตราเฉือนปรากฏของ TPVs ที่ เตรียมได้จากการเบลนด์ ENR-20/PP โดยแปรอัตราส่วนการเบลนด์ที่ระดับต่างๆ

จากรูปที่ 100 พบว่าพฤติกรรมการใหลของพอลิโพรไพลีนและ TPVs จะมีค่าความหนืด เฉือนปรากฏลดลงตามการเพิ่มอัตราเฉือนปรากฏ และที่อัตราเฉือนปรากฏใด ๆพบว่าค่าความ หนืดเฉือนปรากฏของ TPVs จะมีแนวโน้มลดลงตามการเพิ่มปริมาณพอลิโพรไพลีนหรือการลด ปริมาณยาง ENR เนื่องจากความหนืดที่เกิดขึ้นในขณะที่ใหลเพิ่มขึ้นตามการเพิ่มปริมาณยาง ENR เนื่องจากเฟส ENR เป็นอนุภาคแข็งขนาดเล็กกระจายตัวในเฟสต่อเนื่องของ PP การเพิ่ม ปริมาณ ENR ทำให้เพิ่มปริมาณอนุภาคยางวัลคาในซ์ที่ไม่เกิดการหลอมทำให้เกิดการขัดขวาง การใหลได้มากขึ้น

4.2.3 สัณฐานวิทยา

ศึกษาสัณฐานวิทยาของ TPVs ที่เตรียมจากการเบลนด์ ENR-20/PP ผสมน้ำมันพารา ฟินิก ปริมาณ 30 phr โดยแปรอัตราส่วนเบลนด์ที่ระดับต่างๆ ได้ผลการทดลองดังรูปที่ 101



ร**ูปที่ 101** สัณฐานวิทยาของ TPVs ที่เตรียมได้จากการเบลนด์ ENR-20/PP โดยแปร อัตราส่วนเบลนด์ที่ระดับต่างๆ (a) ENR-20/PP = 75/25 (b) ENR-20/PP = 60/40 (c) ENR-20/PP = 50/50 (d) ENR-20/PP = 40/60 และ (e) ENR-20/PP = 25/75

ลักษณะทางสัณฐานวิทยาของเทอร์โมพลาสติกวัลคาในซ์ที่อัตราส่วนการเบลนด์ต่าง ๆ วิเคราะห์โดยใช้กล้องจุลทรรศน์อิเล็กตรอนแบบส่องกราด (SEM) เตรียมตัวอย่างโดยการหักให้ เกิดผิวใหม่ในในโตรเจนเหลวแล้วทำการสกัดเฟสของพอลิโพรไพลีนโดยแช่ในไซลีน หลังจาก นั้นระเหยตัวทำละลายออก แล้วทำการเคลือบตัวอย่างด้วยทองคำ จากนั้นนำไปส่องด้วยกล้อง SEM ด้วยกำลังขยาย 1500 เท่า จากรูปที่ 101 พบว่าแนวโน้มของขนาดเฟสยางวัลคาในซ์ที่ กระจายตัวในเฟสต่อเนื่องของพอลิโพรไพลีนมีขนาดลดลงตามการเพิ่มปริมาณพอลิโพรไพลีน ใน TPVs โดยพบว่าเทอร์โมพลาสติกวัลคาในซ์ที่เบลนด์ที่อัตราส่วน 25/75 มีขนาดอนุภาคเฟส ยางเล็กที่สุด เนื่องจากที่อัตราส่วนเบลนด์ดังกล่าวปริมาณยาง ENR ที่เบลนด์น้อยทำให้โอกาสที่ เฟสยางจะกระจายตัวเป็นอนุภาคเล็กๆ ในเฟสต่อเนื่องของเฟส PP มีมาก จึงเป็นสาเหตุของ การมีสมบัติที่เด่นของค่าความต้านทานต่อแรงดึงที่ดี เช่นเดียวกับที่อัตราส่วนเบลนด์ที่มีส่วน ของยาง ENR มาก (ENR-20/PP= 75/25) จะเห็นได้ว่าขนาดอนุภาคเฟสยางจะมีขนาดใหญ่ขึ้น ตามการเพิ่มปริมาณยาง ENR เนื่องจากเมื่อปริมาณยางที่ใช้เบลนด์มากโอกาสในการเข้าใกล้ และสัมผัสกันของเฟสยางมีมากขึ้นทำให้ยางเกิดการเกาะกลุ่มกันเป็นก้อน จึงทำให้ TPVs มี สมบัติการคืนรูปเด่นชัด

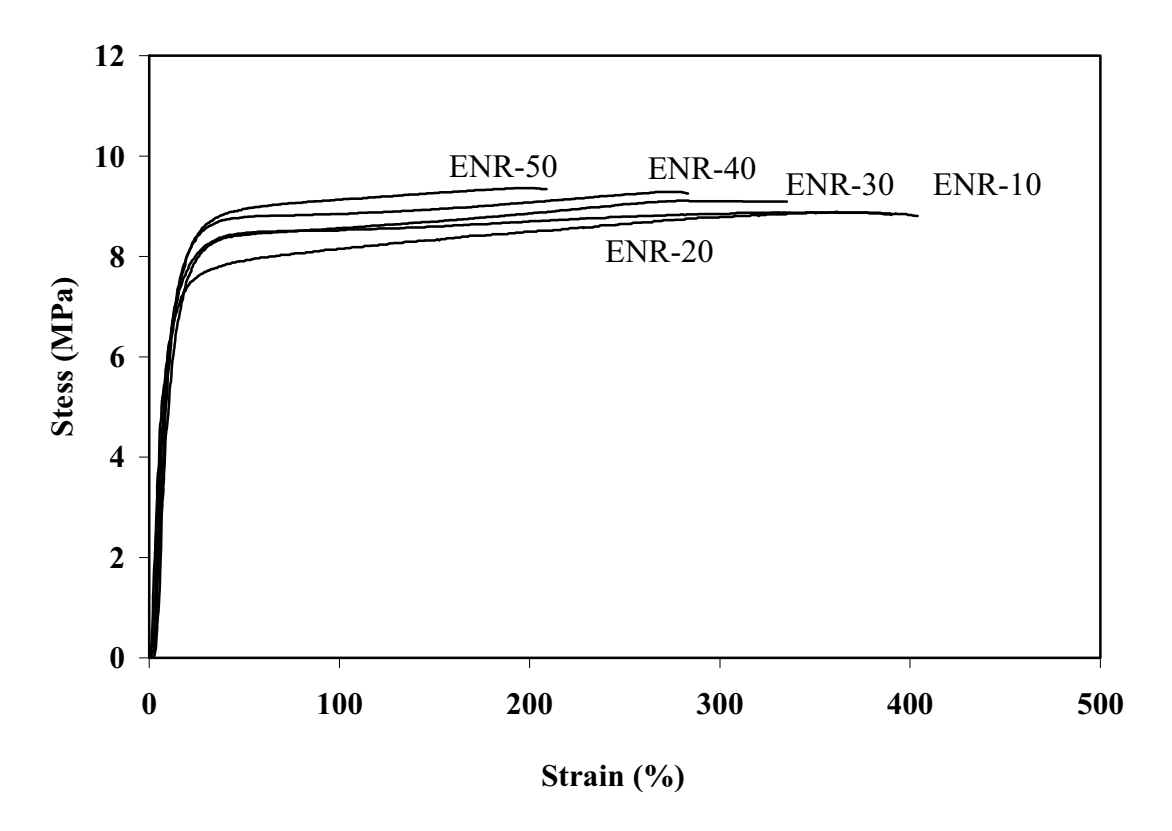
4.3 อิทธิพลปริมาณหมู่อิพอกไซด์ในยางธรรมชาติอิพอกไซด์ต่อสมบัติของเทอร์โม พลาสติกวัลดาในซ์

เตรียมเทอร์โมพลาสติกวัลคาในซ์จาการเบลนด์ ENR/PP โดยปรปริมาณหมู่อิพอกไซด์ใน ยางธรรมชาติอิพอกไซด์ที่ระดับ 10, 20, 30, 40 และ 50 โมลเปอร์เซ็นต์ จากนั้นนำ TPVs ที่ได้ ไปทดสอบสมบัติเชิงกลและความต้านทานต่อตัวทำละลายได้ผลการทดลองดังนี้

4.3.1 สมบัติเชิงกล

ทดสอบสมบัติเชิงกลของ TPVs ได้ลักษณะความสัมพันธ์ระหว่างความเค้นและ ความเครียดดังแสดงในรูปที่ 102 พบว่าลักษณะความสัมพันธ์ระหว่างความเค้นกับความเครียด ของ TPVs มีลักษณะคล้ายกัน กล่าวคือก่อนเกิดการแตกหักจะไม่ปรากฏจุดครากแต่ความเค้น จะเพิ่มขึ้นตลอดการเพิ่มความเครียดและเมื่อพิจารณาลักษณะความแข็งตึงของ TPVs พบว่า ความแข็งตึงจะมีแนวโน้มเพิ่มขึ้นตามการเพิ่มปริมาณหมู่อิพอกไซด์ในโมเลกุลยางธรรมชาติอิ พอกไซด์ ซึ่งสังเกตได้จากความชันของกราฟจะมีแนวโน้มเพิ่มขึ้นตามการเพิ่มปริมาณหมู่อิพอกไซด์ เนื่องจากสมบัติความเป็นยางจะมีแนวโน้มลดลงตามการเพิ่มปริมาณหมู่อิพอกไซด์

จากความสัมพันธ์ระหว่างความเค้นกับความเครียดสามารถวัดค่าความต้านทานต่อแรง ดึงของ TPVs จากค่าความเค้น ณ จุดขาดและค่าความสามารถในการยืดจนขาดจากระยะยืด และทดสอบสมบัติความสามารถในการคืนรูปได้ผลดังแสดงในตารางที่ 50



ร**ูปที่ 102** ความสัมพันธ์ระหว่างความเค้นกับความเครียดของ TPVs ที่เตรียมได้จากการเบ ลนด์ ENR-20/PP= 50/50 โดยใช้ยาง ENR ที่แปรปริมาณหมู่อิพอกไซด์ที่ระดับต่างๆ

ตารางที่ 50 ความต้านทานต่อแรงดึง ความสามารถในการยืดจนขาดและความสามารถในการ คืนรูปของ TPVs ที่เตรียมได้จากการเบลนด์ ENR/PP= 50/50 โดยใช้ยาง ENR ที่แปรปริมาณ หมู่อิพอกไซด์ที่ระดับต่างๆ

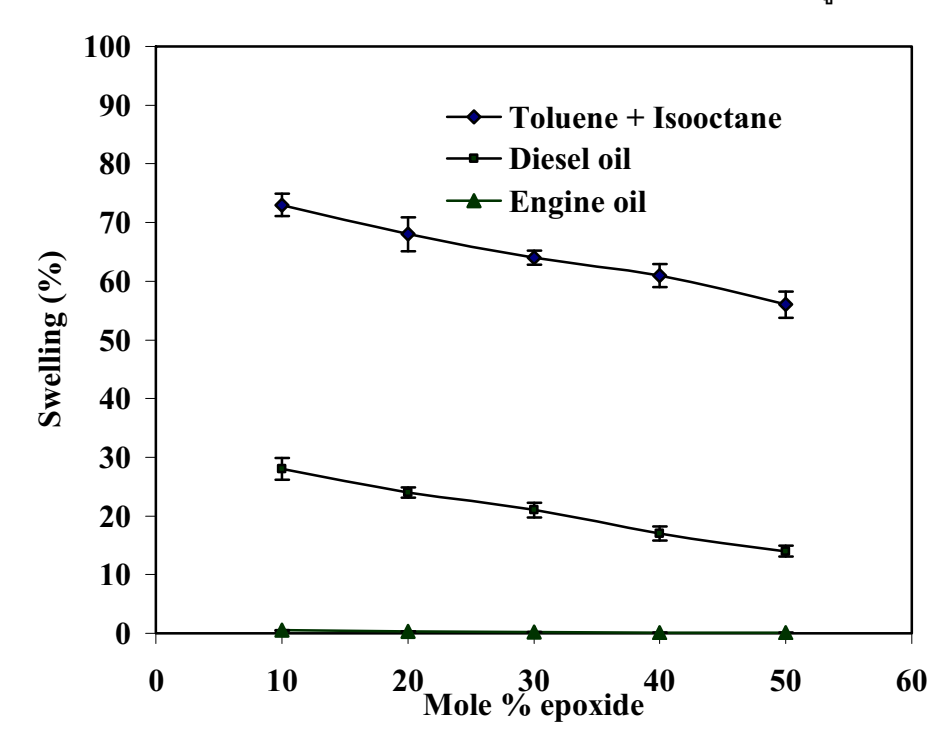
Properties	Mole % epoxide					
•	10	20	30	40	50	
Tensile strength (MPa)	8.9	8.9	9.1	9.3	9.4	
100% Modulus (MPa)	8.5	8.3	8.7	8.8	9.0	
Elongation at break (%)	405	390	335	280	210	
Tension set (%)	51.0	50.0	51.5	52.5	52.5	

จากตารางที่ 50 พบว่าทั้งค่าโมดูลัสที่ระยะยืด 100% และความต้านทานต่อแรงดึงของ TPVs มีแนวโน้มเพิ่มขึ้นตามการเพิ่มปริมาณหมู่อิพอกไซด์ในยางธรรมชาติอิพอกไซด์ โดยมี ค่าสูงสุดเมื่อเบลนด์ยางธรรมชาติอิพอกไซด์มีปริมาณหมู่อิพอกไซด์เท่ากับ 50 mol % เนื่องจาก การเพิ่มปริมาณหมู่อิพอกไซด์จะเพิ่มหมู่ที่มีความเป็นขั้วในโมเลกุลยางมากขึ้น ทำให้เกิดอันตร กิริยาภายในและระหว่างโมเลกุลยางและระหว่างยางกับ PP โดยการประสานของ PhHRJ-PP มากขึ้น จึงทำให้ยางวัลคาในซ์มีความแข็งแรงมากขึ้นแต่สมบัติความเป็นยางของยางธรรมชาติอิ

พอกไซด์จะลดลงตามการเพิ่มปริมาณหมู่อิพอกไซด์จึงทำให้ความต้านทานต่อแรงดึงและความ แข็งตึงหรือค่าโมดูลัสที่ระยะยืด 100% ของ TPVs เพิ่มขึ้น เมื่อพิจารณาค่าความสามารถในการ ยืดจนขาดของ TPVs ที่แปรปริมาณหมู่อิพอกไซด์ในยางธรรมชาติอิพอกไซด์ที่ระดับต่างๆ พบว่าความสามารถในการยืดจนขาดมีแนวโน้มลดลงตามการเพิ่มปริมาณหมู่อิพอกไซด์ แต่ค่า Tension set มีแนวโน้มเพิ่มขึ้นแสดงว่าความสามารถในการคืนรูปก็มีแนวโน้มลดลงตามการ เพิ่มปริมาณหมู่อิพอกไซด์ เนื่องจากสมบัติความยืดหยุ่นของยางธรรมชาติอิพอกไซด์จะลดลง ตามการเพิ่มปริมาณหมู่อิพอกไซด์

4.3.2 ความต้านทานต่อการบวมพองในตัวทำละลาย (Swelling resistance)

นำ TPVs ทดสอบความต้านทานต่อการบวมพองในตัวทำละลาย 3 ชนิด คือ โทลูอื่น ผสมไอโซออกเทน น้ำมันดีเซลและน้ำมันเครื่อง ได้ผลการทดลองดังแสดงในรูปที่ 103



ร**ูปที่ 103** ระดับการบวมพองของ TPVs ที่เตรียมได้จากการเบลนด์ ENR/PP= 50/50 ในตัวทำ ละลายชนิดต่างๆ โดยใช้ยาง ENR ที่แปรปริมาณหมู่อิพอกไซด์ที่ระดับต่างๆ

จากรูปที่ 103 พบว่าระดับการบวมพองของ TPVs ที่เตรียมได้จากการเบลนด์ ENR/PP ที่ใช้ยาง ENR ที่มีปริมาณหมู่อิพอกไซด์ในระดับต่างๆ มีแนวโน้มคล้ายกันนั่นคือ ระดับการบวมพองในตัวทำละลายทั้ง 3 ชนิด มีแนวโน้มลดลงตามการเพิ่มปริมาณหมู่อิพอกไซด์ เนื่องจากความเป็นขั้วของยางธรรมชาติอิพอกไซด์จะเพิ่มขึ้นตามการเพิ่มปริมาณหมู่อิพอกไซด์ จึงทำให้ความต้านทานต่อการบวมพองในตัวทำละลายที่ไม่มีขั้วเพิ่มขึ้น กล่าวคือมีการบวมพองลดลง นอกจากนี้พบว่า TPVs จะเกิดการบวมพองมากที่สุดเมื่อใช้โทลูอีนผสมไอโซออกเทนป็น

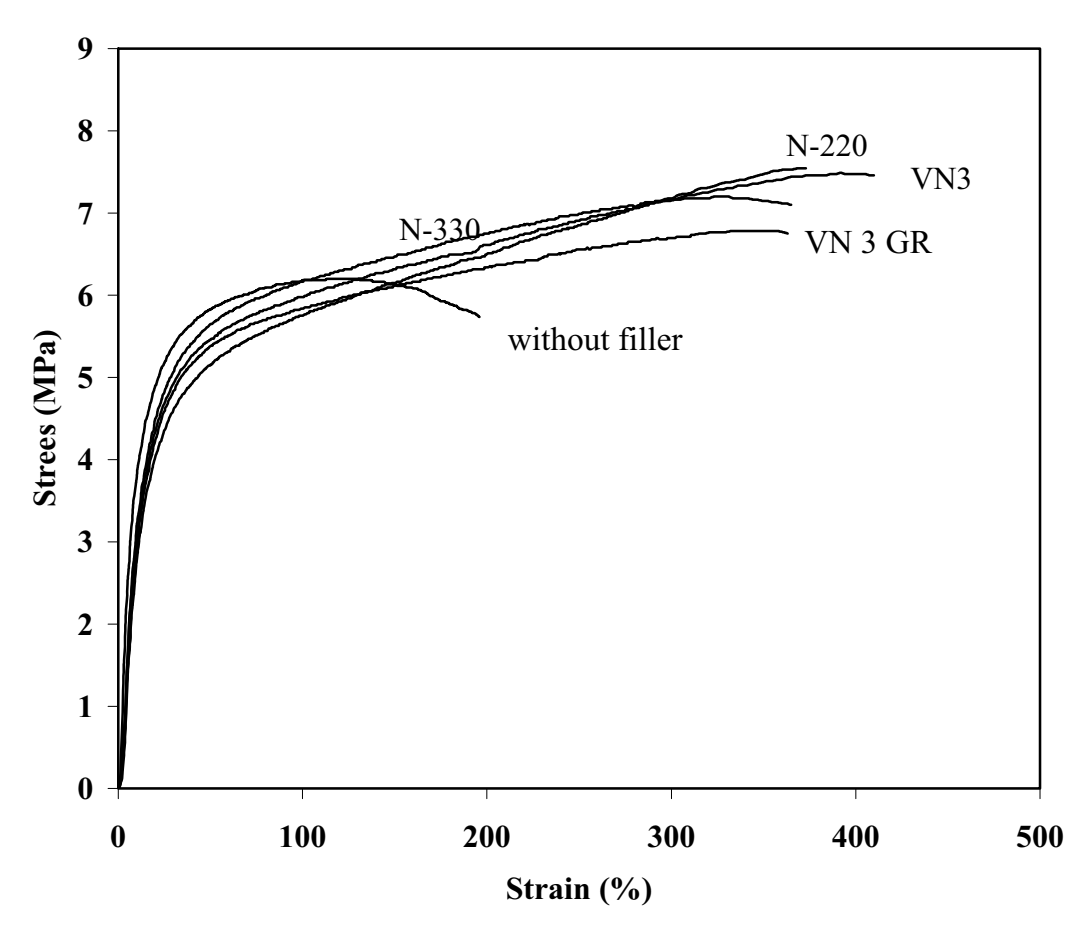
ตัวทำละลาย โดยระดับการบวมพองจะลดลงเมื่อใช้น้ำมันดีเซล และน้ำมันเครื่องเป็นตัวทำ ละลายตามลำดับ

4.4 อิทธิพลชนิดสารตัวเติมต่อสมบัติของเทอร์โมพลาสติกวัลคาในซ์

เตรียมเทอร์โมพลาสติกวัลคาในซ์จากการเบลนด์ ENR-20/PP = 60/40 แปรชนิดเขม่าดำ 2 ชนิด คือ N-220 และ N-330 และซิลิกา 2 ชนิด คือ VN3 และ VN3 GRใช้ปริมาณเท่ากันคือ 30 phr จากนั้นนำ TPVs ที่ได้ไปทดสอบสมบัติเชิงกล สมบัติการไหลและสมบัติเชิงความร้อน ได้ผลดังนี้

4.4.1 สมบัติเชิงกล

ทดสอบสมบัติเชิงกลของ TPVs เปรียบเทียบชนิดสารตัวเติมได้ลักษณะความสัมพันธ์ ระหว่างความเค้นกับความเครียดดังแสดงในรูปที่ 104



ร**ูปที่ 104** ความสัมพันธ์ระหว่างความเค้นกับความเครียดของ TPVs ที่เตรียมได้จากการเบ ลนด์ ENR-20/PP= 60/40 โดยแปรชนิดสารตัวเติม

จากรูปที่ 104 พบว่าการผสมสารตัวเติมใน TPVs จะทำให้ลักษณะของความสัมพันธ์ ระหว่างความเค้นและความเครียดแตกต่างกับ TPVs ที่ไม่ได้ผสมสารตัวเติมอย่างชัดเจน นั่นคือ TPVs ที่ไม่ผสมสารตัวเติมก่อนเกิดการแตกหักความเค้นจะค่อย ๆ ลดลงเมื่อความเครียดเพิ่มขึ้น หรือที่เรียกว่า Strain softening แต่ TPVs ที่ผสมสารตัวเติมทุกชนิดก่อนการแตกหักความเค้น จะเพิ่มขึ้นตลอดการเพิ่มความเครียด เรียกกระบวนการนี้ว่าการแข็งขึ้นเนื่องจากการจัดเรียงตัว ของโมเลกุลโดยเฉพาะ PP จะมีการจัดเรียงตัวในทิศทางที่ถูกดึง จึงทำให้ความแข็งแรงเพิ่มขึ้น และเมื่อพิจารณาจากพื้นที่ใต้กราฟพบว่าการผสมสารตัวเติมลงใน TPVs จะทำให้มีพื้นที่ใต้ กราฟมากกว่า TPVs ชนิดที่ไม่ผสมสารตัวเติม แสดงว่าการผสมสารตัวเติมจะทำให้ TPVs มี ความแข็งแรงและเหนียวมากขึ้น เนื่องจากการเกิดอันตรกิริยากันระหว่างอนุภาคของสารตัวเติม บางส่วนกับสายโซโมเลกุลยางทำให้พันธะเชื่อมโยงมีความแข็งแรงมากขึ้น นอกจากนี้ทั้งเขม่า ดำและซิลิกายังเป็นทั้งสารตัวเติมและสารก่อนิวเคลียส โดยสารบางส่วนจะแพร่และกระจายตัว ในเฟส PP ซึ่งสารก่อนิวเคลียสนอกจากจะทำให้ปริมาณผลึกพลาสติกเพิ่มขึ้นแล้วยังส่งผล โดยตรงต่อการปรับปรุงสมบัติต่างๆของพลาสติกด้วยจึงทำให้ TPVs ชนิดที่ผสมซิลิกาและเขม่า ดำมีความเหนียวและแข็งแรงสูงกว่าชนิดที่ไม่ผสมสารตัวเติม และเมื่อเปรียบเทียบลักษณะ ความสัมพันธ์ระหว่างความเค้นกับความเครียดของ TPVs ที่ผสมสารตัวเดิมแต่ละชนิดพบว่ามี ลักษณะที่คล้ายกัน

จากความสัมพันธ์ระหว่างความเค้นกับความเครียด วัดค่าความต้านทานต่อแรงดึงของ
TPVs จากค่าความเค้น ณ จุดขาด และค่าความสามารถในการยืดจนขาดจากระยะยืด และ
ทดสอบสมบัติความสามารถในการคืนรูปได้ผลดังแสดงในตารางที่ 51

ตารางที่ 51 ความต้านทานต่อแรงดึง ความสามารถในการยืดจนขาด ความสามารถในการคืน รูป และความแข็งของ TPVs ที่เตรียมได้จากการเบลนด์ ENR-20/PP= 60/40 โดยแปรชนิด สารตัวเติม

Mechanical	Types of fillers					
Properties	VN3+silan	VN3 GR	N-220	N-330	Without-filler	
	е	+silane				
Tensile strength (MPa)	7.3	6.8	7.5	7.2	6.2	
Elongation at break (%)	410	360	370	365	195	
Tension set (%)	44	44	42	42	46	
Hardness (Shore A)	81.0	81.5	78.0	79.0	75.0	

จากตารางที่ 51 พบว่าความต้านทานต่อแรงดึงของ TPVs ชนิดที่ผสมสารตัวเติมมีค่า สูงกว่า ชนิดที่ไม่ผสมสารตัวเติม เนื่องจากทั้งเขม่าดำและซิลิกาเป็นสารตัวเติมเสริม ประสิทธิภาพเมื่อผสมลงไปในยางจะทำให้อนุภาคของเขม่าดำเกิดอันตรกิริยากับสายโช่โมเลกุล พอลิเมอร์กลายเป็นพอลิเมอร์ที่ต่อกับสารตัวเติม (Bound rubber/plastic) ส่วนสารตัวเติมซิลิกา ซึ่งมีหมู่ไซลานอล (Silanol groups) ที่ผิวและจะทำปฏิกิริยากับไซเลน (Silane Coupling

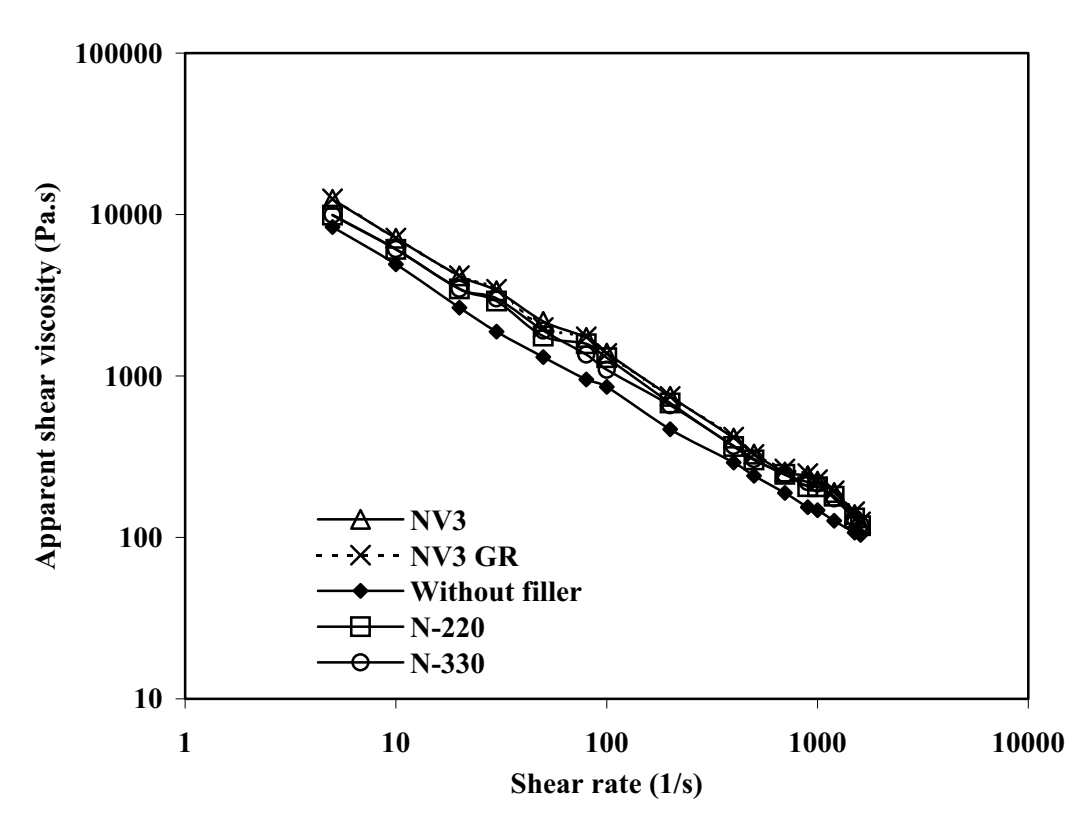
agents) แล้วกลายเป็นพันธะเชื่อมโยงที่เสถียรและแข็งแรงกับโมเลกุลยางและพลาสติกจึงทำให้ พันธะเชื่อมโยงของยางใน TPVs ชนิดที่ผสมเขม่าดำและซิลิกามีความแข็งแรงกว่าชนิดที่ไม่ผสม สารตัวเติม เมื่อพิจารณาค่าความต้านทานต่อแรงดึงของ TPVs ที่ผสมสารตัวเติมแต่ละชนิด พบว่าค่าความต้านทานต่อแรงดึงของ TPVs ที่ผสมเขม่าดำมีค่าสูงกว่าชนิดที่ผสมซิลิกาแต่ แตกต่างกันไม่มาก เนื่องจากซิลิกาเป็นสารอนินทรีย์และมีหมู่ไฮดรอกซิลที่ผิวซึ่งจะทำให้เกิด พันธะไฮโดรเจนภายในโมเลกุลซิลิกา ส่งผลให้การกระจายตัวของซิลิกาด้อยกว่าเขม่าดำ ทำให้ อนุภาคซิลิกาโดยส่วนหนึ่งเกาะกลุ่มกันกลายเป็นอันตรกิริยาระหว่างสารตัวเติม (filler-filler interaction) นอกเหนือจากการเกิดพันธะเชื่อมโยงกับยาง ENR (filler-rubber interaction) และ พลาสติก จึงทำให้พันธะเชื่อมโยงของ TPVs ชนิดที่ผสมซิลิกามีความแข็งแรงน้อยกว่าชนิดที่ ผสมเขม่าดำ นอกจากนี้พบว่าความสามารถในการยืดจนขาดของ TPVs ชนิดที่ผสมสารตัวเติม มีค่าสูงกว่าชนิดที่ไม่ผสมสารตัวเติมอย่างชัดเจน คาดว่าเนื่องจากทั้งซิลิกาและเขม่าดำนอกจาก จะทำหน้าที่เป็นสารตัวเติมชนิดเสริมประสิทธิภาพแล้วแล้วยังทำหน้าที่เป็นสารก่อนิวเคลียส พร้อมๆไปด้วย และเมื่อเขม่าดำและซิลิกาแพร่และกระจายตัวในเฟส PP ของ TPVs นอกจากจะทำให้ปริมาณผลึก PP ใน TPVs เพิ่มขึ้นแล้วยังส่งผลโดยตรงต่อการปรับปรุงสมบัติ ของ TPVs และยังทำให้ลักษณะสฟิรูไลท์มีขนาดเล็กและเป็นระเบียบสูง (fine-grain spherulite structure) จึงทำให้ความสามารถในการยืดจนขาดของ TPVs เพิ่มขึ้น นอกจากนี้คาดว่าสารตัว เติมที่ผสมใน TPVs จะแพร่เข้าสู่เฟสยางและเกิดอันตรกิริยากับสายโซ่โมเลกุลยาง เมื่อถูกดึงให้ ยืดทำให้โมเลกุลยางจัดเรียงตัวเป็นระเบียบและกระจายความเค้นได้ดี ส่งผลให้ความสามารถใน การยืดจนขาดเพิ่มขึ้นโดยผลการทดลองนี้ให้ผลสอดคล้องกับงานวิจัยของ Thomas, et al., 2004, Rattanasom, *et al.*, 2004 และ Premamoy and Amit. 2000 และเมื่อเปรียบเทียบ ความสามารถในการยึดจนขาดของ TPVs ที่ผสมสารตัวเติมแต่ละชนิด พบว่าความสามารถใน การยืดจนขาดของ TPVs ชนิดที่ผสมชิลิกามีแนวโน้มสูงกว่าชนิดที่ผสมเขม่าดำ

จากตารางที่ 51 พบว่าค่า Tension set ของ TPVs ชนิดที่ไม่ผสมสารตัวเติมมีค่าสูง กว่าชนิดที่ผสมสารตัวเติม กล่าวคือความสามารถในการคืนรูปของ TPVs ชนิดที่ผสมสารตัวเติม สูงกว่าชนิดที่ไม่ผสมสารตัวเติมโดยแสดงผลขัดแย้งกับสมมุติฐาน เนื่องจากการผสมสารตัวเติม น่าจะขัดขวางการคืนรูปของยาง แต่ผลการทดลองนี้คาดว่าเนื่องจากความแข็งแรงของพันธะ เชื่อมโยงที่เกิดขึ้นจากการเกิดอันตรกิริยากันระหว่างสารตัวเติมกับยางทำให้เมื่อดึงให้ยืดที่ระยะ ยืด 100% พันธะเชื่อมโยงถูกทำลายและเกิดการเสียรูปอย่างถาวรได้น้อย และเมื่อปล่อยความ เค้นสายโซ่โมเลกุลยางก็จะสามารถคืนรูปสู่สภาพเดิมได้สูง โดยผลการทดลองนี้ให้ผลสอดคล้อง กับงานวิจัยของ Rattanasom, et al., 2004 และเมื่อเปรียบเทียบค่า Tension set ของ TPVs ที่ ผสมสารตัวเติมแต่ละชนิด พบว่า TPVs ที่ผสมเขม่าดำมีค่า Tension set ต่ำกว่าชนิดที่ผสมชิลิ กา แสดงว่า ความสามารถในการคืนรูป ของ TPVs ชนิดที่ผสมเขม่าดำสูงกว่าชนิดที่ผสมชิลิกา เนื่องจากความแข็งแรงของพันธะเชื่อมโยงที่เกิดขึ้นใน TPVs ที่ผสมเขม่าดำส่วนใหญ่ได้จากการ เกิดอันตรกิริยากันระหว่างอนุภาคสารตัวเติมกับยาง ENR และ PP ซึ่งมีความแข็งแรง ในขณะที่

TPVs ที่ผสมชิลิกาพันธะเชื่อมโยงบางส่วนเกิดจากการเกิดอันตรกิริยากันระหว่างสารตัวเติมซึ่ง มีความแข็งแรงน้อย ทำให้เมื่อดึงให้ยืดโอกาสที่พันธะเชื่อมโยงใน TPVs ที่ผสมชิลิกาจะถูก ทำลายและเสียรูปอย่างถาวรมีมากกว่า จึงทำให้ความสามารถในการคืนรูปกลับสู่สภาพเดิมของ TPVs ที่ผสมชิลิกาต่ำกว่า TPVs ที่ผสมเขม่าดำ ส่วนค่าความแข็งก็มีลักษณะเช่นเดียวกันกับค่า Tension set กล่าวคือการผสมสารตัวเติมลงไปในยางจะทำให้ TPVs มีความแข็งเพิ่มขึ้น เนื่องจากการเกิดอันตรกิริยากันระหว่างเฟสยางกับสารตัวเติมส่งผลให้เฟสยางแข็งขึ้น

4.4.2 สมบัติทางรีโอโลยี

ทดสอบสมบัติการใหลของเทอร์โมพลาสติกวัลคาในซ์จากการเบลนด์ ENR-20/PP ที่แปร ชนิดสารตัวเติมในรูปแบบของความสัมพันธ์ระหว่างะความหนืดเฉือนปรากฏกับอัตราเฉือน ปรากฏได้ผลการทดลองดังแสดงในรูปที่ 105



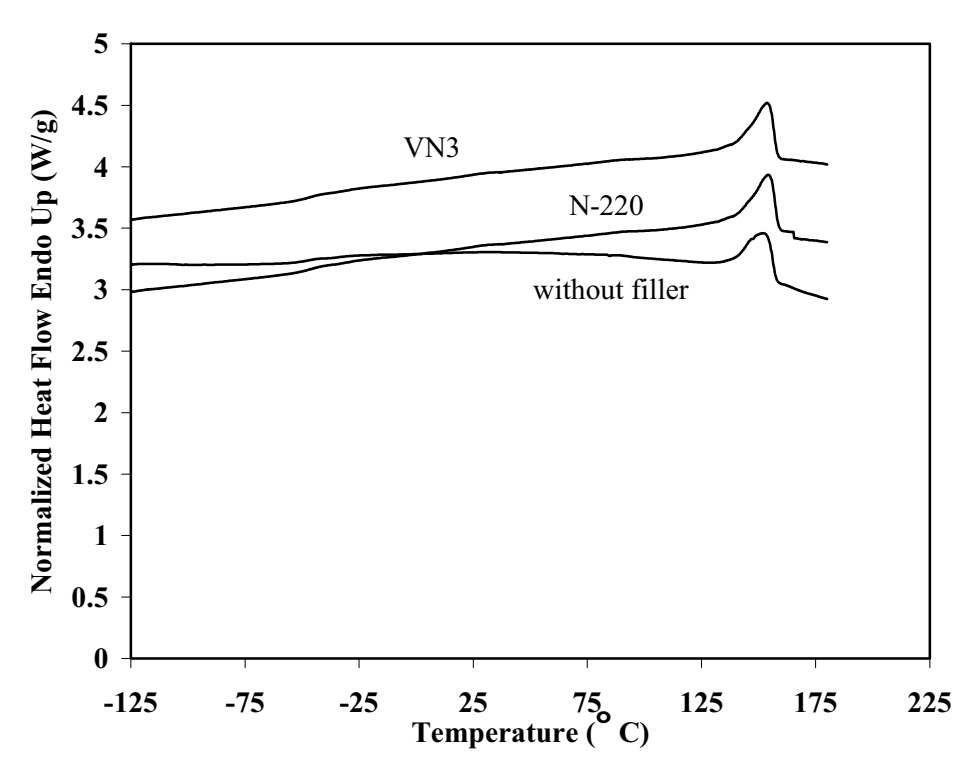
ร**ูปที่ 105** ความสัมพันธ์ระหว่างความหนืดเฉือนปรากฏกับอัตราเฉือนปรากฏ ของ TPVs ที่ เตรียมได้จากการเบลนด์ ENR-20/PP= 60/40 โดยแปรชนิดสารตัวเติม

จากรูปที่ 105 พบว่าค่าความหนืดเฉือนปรากฏของ TPVs ทั้งชนิดที่ผสมและไม่ผสม สารตัวเติมมีแนวโน้มลดลงตามการเพิ่มอัตราเฉือนปรากฏ โดยที่อัตราเฉือนปรากฏใด ๆ พบว่าท ค่าความหนืดเฉือนปรากฏของ TPVs ชนิดที่ผสมสารตัวเติมมีค่าสูงกว่าชนิดที่ไม่ผสมสารตัวเติม เนื่องจากการผสมสารตัวเติมจะทำให้ยางคอมปาวด์มีความหนืดมากขึ้น เนื่องจากอนุภาคสารตัว เติมจะขัดขวางการไหลส่งผลให้ต้องใช้ความดันมากขึ้นในการทำให้เกิดการไหล และเมื่อ เปรียบเทียบทั้งค่าความหนืดเฉือนปรากฏของ TPVs ที่ผสมสารตัวเติมแต่ละชนิดที่อัตราเฉือน

ปรากฏที่คงที่ พบว่ามีค่าแตกต่างกันเล็กน้อย โดยแนวโน้มค่าความหนืดเฉือนปรากฏของ TPVs ที่ผสมชิลิกามีค่าสูงกว่า TPVs ที่ผสมเขม่าดำ เนื่องจากซิลิกามีสมบัติเป็นสารอนินทรีย์ ทำให้ ผสมเข้ากับยางได้ยากและกระจายตัวในยางคอมปาวด์ได้น้อยกว่าสารตัวเติมเขม่าดำโอกาสที่ซิลิกาจะรวมตัวกันและยึดเหนี่ยวกันด้วยพันธะไฮโดรเจนที่แข็งแรงและขัดขวางการไหลมาก ส่วน อนุภาคเขม่าดำจะยึดเหนี่ยวกันด้วยแรงวันเดอร์วาลส์ซึ่งมีความแข็งแรงน้อยกว่าจึงกระจายตัว ในยางได้ดีกว่าทำให้ยางคอมปาวด์ที่ผสมซิลิกามีความหนืดสูงกว่าที่ผสมเขม่าดำ

4.4.3 สมบัติเชิงความร้อน

วิเคราะห์สมบัติเชิงความร้อน เช่น อุณหภูมิการหลอมผลึก (Tm) ปริมาณผลึกของ PP และค่าอุณหภูมิกลาสทรานซิชัน (Tg) ของเฟสยางใน TPVs ที่เตรียมได้จากการเบลนด์ ENR-20/PP ที่อัตราส่วนเบลนด์ 50/50 ผสมน้ำมันพาราฟินิกปริมาณ 30 phr เปรียบเทียบชนิดสารตัว เติม โดยการวิเคราะห์ด้วยเครื่องดิฟเฟอร์เรนเชียลสแกนนิ่งแคลลอริมิเตอร์ (Differential Scanning Calorimeter, DSC) ได้ผลดังแสดงในรูปที่ 106



ร**ูปที่ 106** เทอร์โมแกรมที่ได้จากการวิเคราะห์สมบัติเชิงความร้อนของ TPVs จากการเบลนด์ ENR-20/PP= 50/50 โดยแปรชนิดสารตัวเติม

จากเทอร์โมแกรมในรูปที่ 106 วิเคราะห์ค่า Tg ของเฟสยาง ค่า Tm และคำนวณหา ปริมาณผลึกของ PP ได้ผลดังแสดงในตารางที่ 52

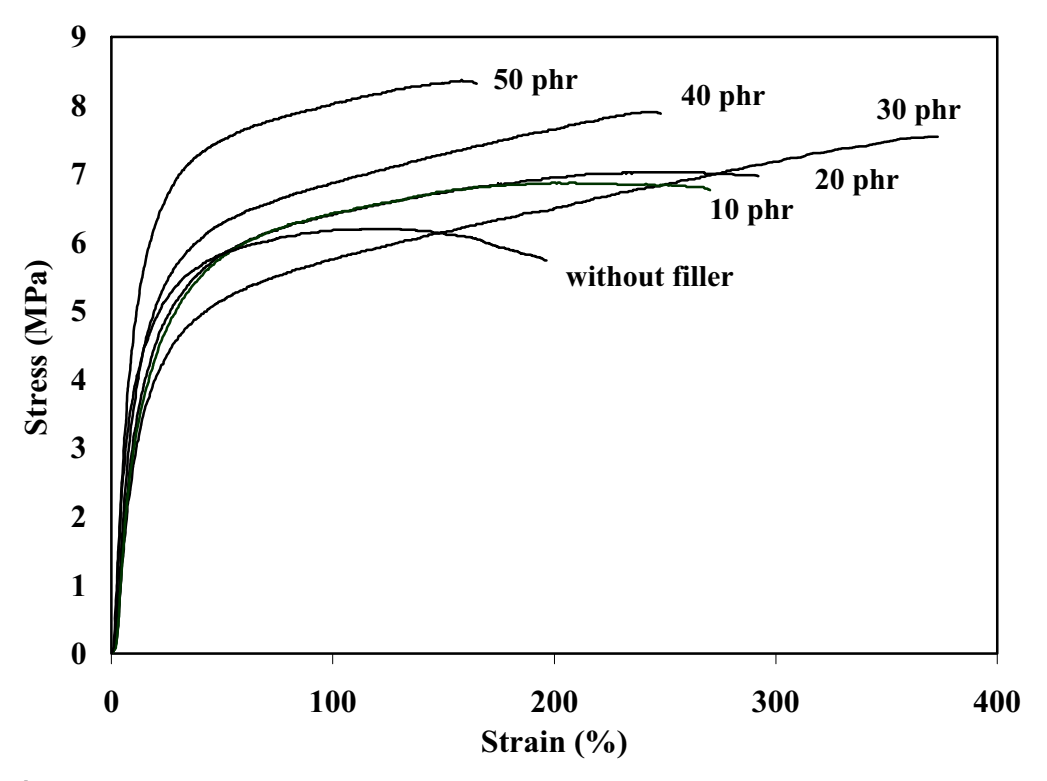
ตารางที่ 52 อุณหภูมิกลาสทรานซิชันของเฟสยาง อุณหภูมิการหลอมและปริมาณผลึก PP ใน TPVs ที่เตรียมได้จากการเบลนด์ ENR-20/PP= 50/50 โดยแปรชนิดสารตัวเติม

Fillers	Tg of ENR	Degree of Crystallinity of PP	Tm of PP
	(°C)	(%)	(°C)
Without filler	-49.0	19.8	152
N-220	- 48.0	20.1	154
VN3	-48.0	20.2	154

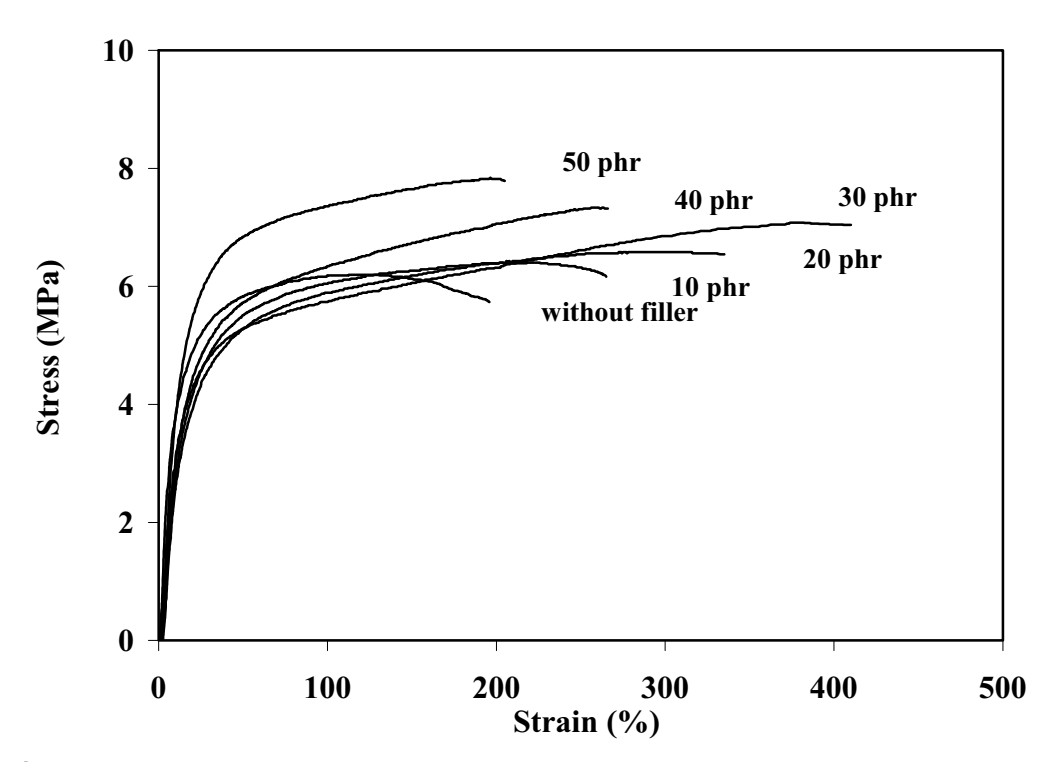
จากตารางที่ 52 พบว่าการผสมเขม่าดำและซิลิกาใน TPVs จะทำให้อนุภาคเขม่าดำและซิลิกาบางส่วนแพร่กระจายตัวในสายโช่โมเลกุล PP ส่งผลให้ปริมาณผลึก PP ใน TPVs เพิ่มขึ้น จากที่ไม่ได้ผสมสารตัวเดิมเล็กน้อย เนื่องจากทั้งเขม่าดำและซิลิกาต่างเป็นสารก่อนิวเคลียส (Nucleating agent) ดังนั้นเมื่อผสมในพลาสติกส่งผลให้ปริมาณผลึกของพลาสติกสูงขึ้น และจาก เมื่อเปรียบเทียบค่า Tm ของผลึก PP ใน TPVs พบว่า Tm ของ TPVs ชนิดที่ผสมเขม่าดำและซิลิกามี่อำสูงกว่าที่ไม่ได้ผสมสารตัวเติม เนื่องจากการผสมเขม่าดำและซิลิกาซึ่งเป็นเฟสแข็ง (Rigid phase) และเป็นสารก่อนิวเคลียสทำให้เกิดผลึกในปริมาณสูงขึ้น ย่อมทำให้ค่า Tm ของ TPVs สูงขึ้นจากที่ไม่ได้ผสมสารตัวเติม นอกจากนี้พบว่าการผสมซิลิกาและเขม่าดำใน TPVs จะทำให้ค่า Tg ของเฟสยางใน TPVs สูงกว่าที่ไม่ได้ผสมสารตัวเติมสามารถในการบิดตัวของสายโซ่โมเลกุลพอ ลิเมอร์ลดลงเช่นกัน จึงทำให้ค่า Tg ของเฟสยางใน TPVs ที่ผสมสารตัวเติมสูงกว่าที่ไม่ได้ผสม สารตัวเติมเล็กน้อย

4.5 อิทธิพลปริมาณสารตัวเติมต่อสมบัติเชิงกลของเทอร์โมพลาสติกวัลคาไนซ์

เตรียมเทอร์โมพลาสติกวัลคาในซ์จาการเบลนด์ ENR-20/PP ผสมน้ำมันพาราฟินิก ปริมาณ 30 phr แปรปริมาณเขม่าดำและซิลิกา 10, 20, 30, 40 และ 50 phr จากนั้นนำ TPVs ที่ ได้ไปทดสอบสมบัติเชิงกลได้ลักษณะความสัมพันธ์ระหว่างความเค้นและความเครียดดังแสดงใน รูปที่ 107 และ 108 ตามลำดับ



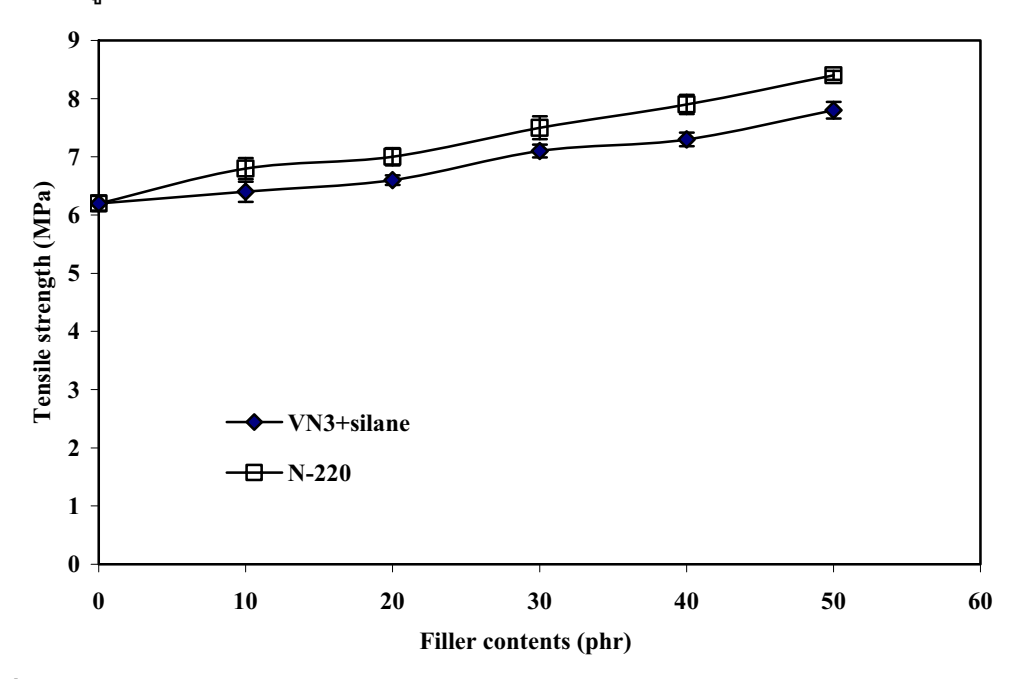
ร**ูปที่ 107** ความสัมพันธ์ระหว่างความเค้นและความเครียดของ TPVs ที่เตรียมได้จากการเบ ลนด์ ENR-20/PP= 60/40 โดยแปรปริมาณเขม่าดำที่ระดับต่างๆ



ร**ูปที่ 108** ความสัมพันธ์ระหว่างความเค้นและความเครียดของ TPVs ที่เตรียมได้จากการเบ ลนด์ ENR-20/PP= 60/40 โดยแปรปริมาณซิลิกาที่ระดับต่างๆ

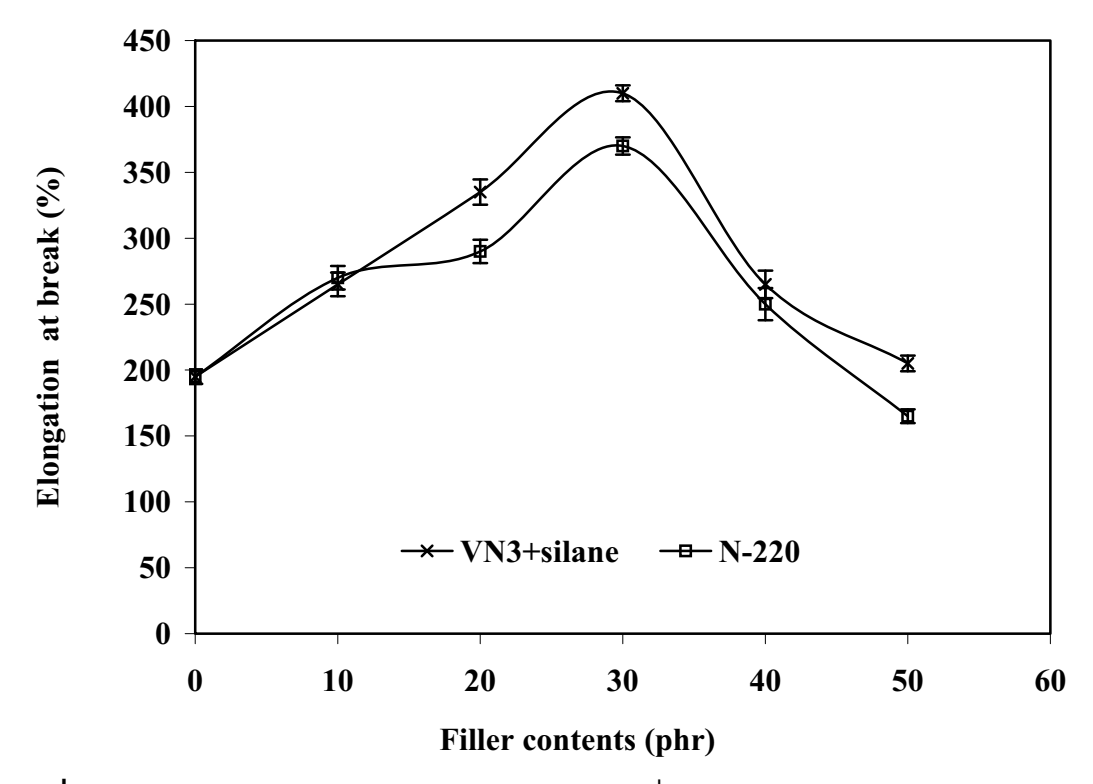
จากรูปที่ 107 และ 108 พบว่าการผสมสารตัวเติมลงใน TPVs จะทำให้ลักษณะของ กราฟความสัมพันธ์ระหว่างความเค้นกับความเครียดแตกต่างกับ TPVs ที่ไม่ผสมสารตัวเติม อย่างชัดเจน นั่นคือ TPVs ชนิดที่ไม่ผสมสารตัวเติมก่อนเกิดการแตกหักจะปรากฏจุดคราก กล่าวคือความเค้นจะคงที่เมื่อเพิ่มความเครียด ก่อนที่จะเกิดการลดลงของความเค้นก่อนขาด แต่ TPVs ที่ผสมสารตัวเติมเกือบทั้งหมดก่อนการแตกหักจะไม่ปรากฏจุดคราก โดยค่าความเค้นจะ เพิ่มขึ้นตามการเพิ่มความเครียด เมื่อพิจารณาจากพื้นที่ใต้กราฟพบว่าการผสมสารตัวเติมลงใน TPVs จะทำให้มีพื้นที่ใต้กราฟมากกว่า TPVs ชนิดที่ไม่ผสมสารตัวเติม แสดงว่าการผสมสารตัว เติมจะทำให้ TPVs มีความแข็งเหนียวมากขึ้น เนื่องจากการเกิดอันตรกิริยากันระหว่างอนุภาค ของสารตัวเติมกับสายโซโมเลกุลยาง ทำให้เกิดพันธะเคมีที่มีความแข็งแรงมากขึ้น และเมื่อ เปรียบเทียบลักษณะของความสัมพันธ์ระหว่างความเค้นกับความเครียดของ TPVs ที่ผสมสาร ตัวเติมในปริมาณต่างๆ พบว่าการเพิ่มปริมาณสารตัวเติมจะทำให้การปรากฏจุดครากก่อนเกิด การแตกหักลดลงโดยเฉพาะในกรณีการใช้ซิลิกา พบว่าการผสมสารตัวเติมในปริมาณ 30 phr ขึ้นไปจะไม่ปรากฏจุดครากก่อนการแตกหัก และเมื่อพิจารณาความแข็งตึงจากความชั้นของ กราฟในช่วงเริ่มต้นพบว่ามีแนวโน้มเพิ่มขึ้นตามการเพิ่มปริมาณสารตัวเติม เนื่องจากอิทธิพล ของการเกิดอันตรกิริยากันระหว่างอนุภาคสารตัวเติมกับสายโซ่โมเลกุลยางทำให้เกิดพันธะ เชื่อมโยงที่มีความแข็งแรงมากขึ้น

จากความสัมพันธ์ระหว่างความเค้นและความเครียดสามารถวัดค่าความต้านทานต่อแรง ดึงของ TPVs จากค่าความเค้น ณ จุดขาด และค่าความสามารถในการยืดจนขาดจากระยะยืด ดังแสดงในรูปที่ 109 และ 110 ตามลำดับ



ร**ูปที่ 109** ความต้านทานต่อแรงดึงของ TPVs ที่เตรียมได้จากการเบลนด์ ENR-20/PP= 60/40 โดยแปรปริมาณซิลิกาและเขม่าดำที่ระดับต่างๆ

จากรูปที่ 109 พบว่าความต้านทานต่อแรงดึงของ TPVs ที่ผสมซิลิกาและเขม่าดำมี แนวโน้มเพิ่มขึ้นตามการเพิ่มปริมาณเขม่าดำและซิลิกา และที่ปริมาณสารตัวเติมระดับเดียวกัน พบว่า TPVs ที่ใช้เขม่าดำมีค่าความต้านทานต่อแรงดึงสูงกว่าที่ผสมซิลิกา เนื่องจากเขม่าดำมี ขนาดอนุภาคเล็กว่าซิลิกาและน่าจะเกิดอันตรกิริยาเคมีกับยางและ PP ได้สูง นอกจากนี้อนุภาค เขม่าดำชนิดนี้มีหมู่ฟังก์ชันหลากหลายชนิดกว่า จึงทำให้เกิดอันตรกิริยากับโมเลกุลยางได้ มากกว่า และเมื่อเปรียบเทียบการกระจายตัวของสารตัวเติมทั้งสองชนิดแล้วพบว่าซิลิกาจะ กระจายตัวในยางด้อยกว่าเขม่าดำ (Poh, et al, 2002) ทำให้โอกาสที่อนุภาคซิลิกาจะเกาะกลุ่ม กันแล้วเกิดอันตรกิริยากันระหว่างสารตัวเติมมีมากกว่าที่จะเกิดอันตรกิริยากันระหว่างสารตัว เติมกับยางเหมือนเช่นกรณีเขม่าดำ จึงทำให้พันธะเชื่อมโยงของ TPVs ที่ผสมซิลิกามีความ แข็งแรงน้อยกว่าชนิดที่ผสมเขม่าดำ



ร**ูปที่ 110** ความสามารถในการยืดจนขาดของ TPVs ที่เตรียมได้จากการเบลนด์ ENR-20/PP= 60/40 โดยแปรปริมาณสารตัวเติมที่ระดับต่างๆ

จากรูปที่ 110 พบว่าความสามารถในการยืดจนขาดของ TPVs ทั้งชนิดที่ผสมชิลิกา และเขม่าดำมีลักษณะเป็นรูประฆังคว่ำโดยมีแนวโน้มเพิ่มขึ้นตามการเพิ่มปริมาณเขม่าดำและซิลิ กา โดยความสามารถในการยืดจนขาดจะมีค่าสูงสุดเมื่อผสมเขม่าดำหรือซิลิกาในปริมาณ 30 phr การทดลองนี้ให้ผลสอดคล้องกับงานวิจัยของ Thomas, et al., 2004, Rattanasom, et al., 2004 และ Premamoy and Amit, 2000 ทั้งนี้เนื่องจาก TPVs ที่ทำการศึกษาได้ผสมน้ำมัน พาราฟินิกในปริมาณสูง คือ 30 phr เมื่อผสมซิลิกาและเขม่าดำในปริมาณ– 30 phr นั่นคือ TPVs ที่ผสมซิลิกาและเขม่าดำในปริมาณ 0 - 30 phr มีแนวโน้มความสามารถในการยืดจนขาด

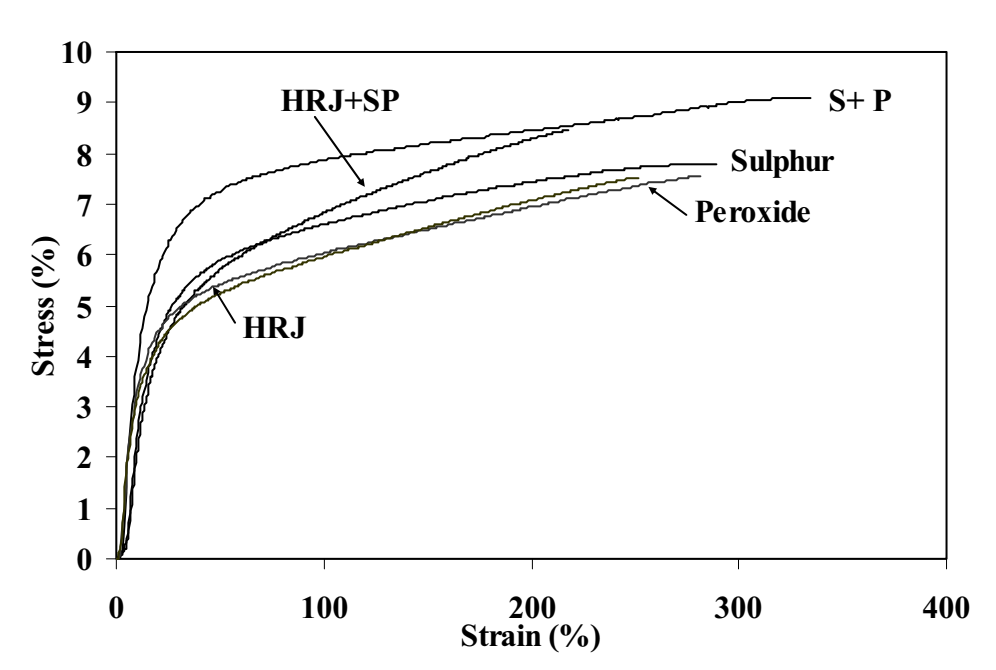
สูงขึ้นตามการเพิ่มปริมาณสารตัวเติม การผสมสารตัวเติมในปริมาณที่สูงกว่า 30 phr จะให้ค่า ความสามารถในการยืดจนขาดมีแนวโน้มลดต่ำลงเนื่องจากสารตัวเติมในปริมาณที่มากเกินไปจะ ทำให้เกิดการเจือจาง (Dilution effect) เฟสยางที่แสดงสมบัติยืดหยุ่นและยังส่งผลให้ความแข็ง ตึงของพอลิเมอร์เพิ่มขึ้นอีกด้วย สังเกตุได้จากความสัมพันธ์ระหว่างความเค้นและความเครียด จึงทำให้ความสามารถในการยืดจนขาดของ TPVs ที่ผสมสารตัวเติมในปริมาณมากกว่า 30 phr มีแนวโน้มลดลง และที่ปริมาณสารตัวเติมระดับเดียวกัน พบว่าความสามารถในการยืดจนขาด ของ TPVs ชนิดที่ผสมซิลิกาจะมีค่าสูงกว่าชนิดที่ผสมเขม่าดำ

4.6 อิทธิพลระบบการวัลคาในซ์ต่อสมบัติของเทอร์โมพลาสติกวัลคาในซ์

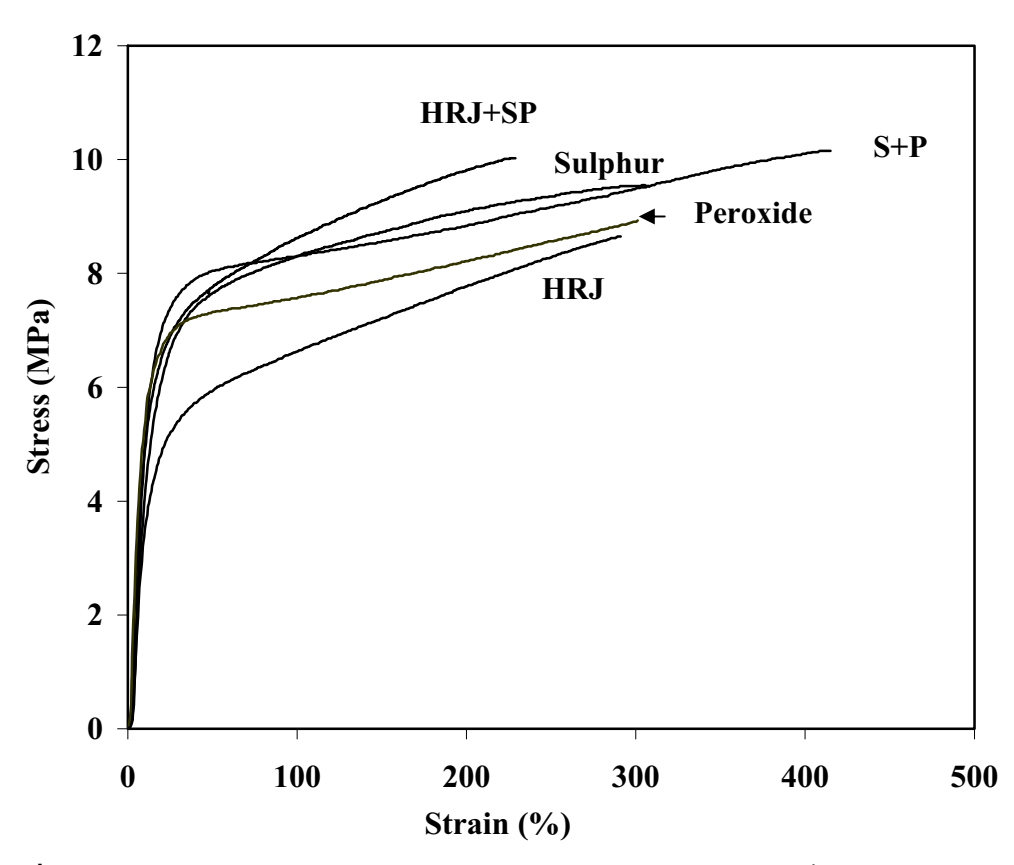
เตรียมเทอร์โมพลาสติกวัลคาในซ์จาการเบลนด์ ENR-25/PP ที่อัตราส่วนเบลนด์ 60/40 และ 50/50 ผสมน้ำมันพาราฟินิกและซิลิกาปริมาณอย่างละ 30 phr แปรระบบวัลคาในซ์ คือ ระบบเปอร์ออกใชด์ ระบบกำมะถันปกติ ระบบผสมระหว่างกำมะถันกับเปอร์ออกใชด์ ระบบ ฟิ นอลิก (HRJ-10518) และระบบผสมฟินิลิก HRJ-10518 ร่วมกับ SP-1045 จากนั้นนำ TPVs ที่ ได้ไปทดสอบสมบัติเชิงกล สมบัติการใหลและความต้านทานต่อการบวมพองในตัวทำละลาย ได้ผลการทดลองดังนี้

4.6.1 สมบัติเชิงกล

ทดสอบสมบัติเชิงกลของ TPVs จากการเบลนด์ ENR-25/PP= 60/40 และ =50/50 ได้ผลการทดลองแสดงความสัมพันธ์ระหว่างความเค้นและความเครียด ดังรูปที่ 111 และ 112 ตามลำดับ



ร**ูปที่ 111** ความสัมพันธ์ระหว่างความเค้นกับความเครียดของ TPVs ที่เตรียมได้จากการเบ ลนด์ ENR-25/PP = 60/40 โดยแปรระบบวัลคาในซ์ชนิดต่างๆ



ร**ูปที่ 112** ความสัมพันธ์ระหว่างความเค้นกับความเครียดของ TPVs ที่เตรียมได้จากการเบ ลนด์ ENR-25/PP= 50/50 โดยแปรระบบการวัลคาในซ์ชนิดต่างๆ

จากรูปที่ 111 และ 112 พบว่าความสัมพันธ์ระหว่างความเค้นกับความเครียดของ TPVs ที่ได้จาการเบลนด์ ENR-25/PP ที่แปรระบบวัลคาในซ์ชนิดต่างๆ ทั้งที่อัตราส่วนเบลนด์ ENR-25/PP =60/40 และ 50/50 มีลักษณะคล้ายกัน กล่าวคือทุกระบบการวัลคาในซ์ก่อนเกิด การแตกหักจะไม่ปรากฏจุดคราก แต่ความเค้นจะเพิ่มสูงขึ้นตลอดการเพิ่มความเครียด และเมื่อ พิจารณาแนวโน้มของพื้นที่ใต้กราฟของ TPVs ที่วัลคาในซ์ด้วยระบบต่างๆ พบว่า TPVs ที่วัลคาในซ์ด้วยระบบผสมระหว่างกำมะถันกับเปอร์ออกไซด์มีพื้นที่ใต้กราฟสูงสุด แสดงว่ามีความ แข็งเหนียวสูงสุด เนื่องจากการวัลคาในซ์ด้วยระบบผสมระหว่างกำมะถันกับเปอร์ออกไซด์ นอกจากจะได้พันธะเชื่อมโยงชนิด S-S แล้ว ยังมีพันธะเชื่อมโยงชนิด C-S_x-C และ C-C (รูปที่ 113) ซึ่งมีพลังงานสูง มีความแข็งแรงและเสถียรต่อความร้อน จึงทำให้ TPVs ที่วัลคาในซ์ด้วย ระบบผสมระหว่างกำมะถันกับเปอร์ออกไซด์มีความแข็งเหนียวมากกว่า TPVs ที่วัลคาในซ์ด้วย ระบบผืนๆ ถึงแม้ว่ามีการเลื่อมของ PP จาก DCP นอกจากนี้ TPVs ที่มีพื้นที่ใต้กราฟรองลงมา คือ TPVs ที่วัลคาในซ์ด้วยระบบกำมะถัน ระบบเปอร์ออกไซด์ ระบบฟินอลิกร่วม HRJ-10518 ร่วมกับ SP-1045 และ ระบบฟินอลิก (HRJ-10518) ตามลำดับ เหตุผลที่การวัลคาในซ์ด้วย

ระบบฟินอลิกมีความแข็งเหนียวต่ำสุด คาดว่าเนื่องจากฟินอลิกจะทำให้เกิดการเชื่อมโยง ระหว่างโมเลกุลพอลิโพรไพลีนกับยางธรรมชาติอิพอกไซด์อย่างช้าและการบดตามระยะเวลาที่ ทำการทดลองอาจจะยังไม่ถึง optimum cure และเมื่อพิจารณาแนวโน้มของความแข็งตึงจาก ความชั้นของกราฟในช่วงเริ่มต้นพบว่า TPVs ที่วัลคาในซ์ด้วยระบบผสมระหว่างกำมะถัน กับเปอร์ออกไซด์มีความแข็งตึงมากที่สุด รองลงมาเป็น TPVs ที่วัลคาในซ์ด้วยระบบกำมะถัน ระบบผสมฟินอลิก HRJ-10518 ร่วมกับ SP-1045 และระบบเปอร์ออกไซด์กับระบบฟินอลิก (HRJ-10518) มีความแข็งตึงน้อยที่สุดและใกล้เคียงกัน ตามลำดับ

ร**ูปที่ 11**3 ชนิดพันธะเชื่อมโยงที่เกิดขึ้นในโมเลกุลยางที่วัลคาในซ์ด้วยระบบชนิดต่างๆ (a) ระบบเปอร์ออกไซด์ (b) ระบบกำมะถันปกติ และ (c) ระบบผสมระหว่างกำมะถันกับเปอร์ ออกไซด์ (Asaletha *et al.*, 1999)

ตารางที่ 53 แสดงค่าความต้านทานต่อแรงดึงจากค่าความเค้น ณ จุดขาด ความสามารถในการยืดจนขาด ความสามารถในการคืนรูปและความแข็งของ TPVs ที่วัลคาในซ์ ด้วยระบบต่างๆ พบว่าความต้านทานต่อแรงดึงของ TPVs ที่วัลคาในซ์ด้วยระบบผสมระหว่าง กำมะถันกับเปอร์ออกไซด์มีค่าสูงสุด ทั้งที่อัตราส่วนเบลนด์ ENR-25/PP= 50/50 และ =60/40 เนื่องจากการวัลคาในซ์ด้วยระบบผสมระหว่างกำมะถันกับเปอร์ออกไซด์นอกจากจะได้พันธะ เชื่อมโยงชนิด S-S ยังได้พันธะเชื่อมโยงชนิด C-S_x-C และ C-C ซึ่งมีพลังงานสูง มีความ แข็งแรงและเสถียรต่อความร้อน TPVs ที่มีความต้านทานต่อแรงดึงรองลงมาคือ TPVs ที่วัลคา ในซ์ด้วยระบบผสมฟินอลิก HRJ-10518 ร่วมกับ SP-1045 ระบบกำมะถัน ระบบเปอร์ออกไซด์ และระบบฟินอลิก (HRJ-10518) ตามลำดับ การที่ TPVs ที่วัลคาในซ์ด้วยระบบผสมฟินอลิก HRJ-10518 ร่วมกับ SP-1045 มีความต้านทานต่อแรงดึงสูงกว่าระบบกำมะถัน และระบบเปอร์ออกไซด์ เนื่องจากการวัลคาในซ์ด้วยระบบฟินอลิกจะเกิดโครงสร้างของวงแหวนโครแมน

(Chroman ring structure) ซึ่งมีความแข็งแรงผ่านกลไกดังการเกิดปฏิกิริยาวัลคาในซ์ของยาง ธรรมชาติอิพอกไซด์ที่ใช้ระบบฟินอลิกแสดงในรูปที่ 114 ส่วนการวัลคาในซ์ด้วยระบบเปอร์ ออกไซด์คาดว่าเนื่องจากใช้ปริมาณ DCP สูง ทำให้เกิดปฏิกิริยาตัดสายโซ่โมเลกุล PP ร่วมกับ ปฏิกิริยาการวัลคาในซ์ (รูปที่ 115) และเมื่อเปรียบเทียบความต้านทานต่อแรงดึงระหว่าง TPVs ที่วัลคาในซ์ด้วยระบบผสมฟินอลิก HRJ-10518 ร่วมกับ SP-1045 กับ TPVs ที่วัลคาในซ์ด้วย ระบบฟินอลิก (HRJ-10518) พบว่าความต้านทานต่อแรงดึงของ TPVs ที่วัลคาในซ์ด้วยระบบ แรกมีค่าสูงกว่าการวัลคาในซ์ด้วยระบบหลัง เนื่องจากเมื่อพิจารณาโครงสร้างของฟินอลิกเรซิน ทั้งสองชนิด พบว่า SP-1045 จะมีหมู่ไฮดร็อกซิลมากกว่า HRJ-10518 จึงทำให้มีโอกาสเกิด พันธะเชื่อมโยงปริมาณมากกว่า จึงทำให้มีความแข็งแรงสูงกว่า

ตารางที่ 53 ความต้านทานต่อแรงดึง ความสามารถในการยืดจนขาด ความสามารถในการคืน รูป และความแข็งของ TPVs ที่เตรียมได้จากการเบลนด์ ENR-30/PP= 60/40 และ 50/50 โดย แปรระบบวัลคาในซ์ชนิดต่างๆ

	Tensile		Elongation at		Tension set		Hardness	
Cure systems	strength		break		(%)		(Shore A)	
	(M	(MPa) (%)		%)				
	50/50	60/40	50/50	60/40	50/50	60/40	50/50	60/40
Sulphur	9.6	7.8	310	290	42.5	40.0	91	85
S + P	10.2	9.1	415	335	55.0	47.5	92	86
Peroxide	8.9	7.6	300	280	60.0	49.0	91	87
SP + HRJ	10.1	8.5	235	225	35.0	27.5	91	86
HRJ	8.7	7.5	290	250	32.5	27.5	87	83

Phenolic resin

Chroman ring structure

โดย R = -H หรือ –CH₂OH R' คือ –C(CH₃)₂CH₂C(CH₃)₃

ร**ูปที่ 114** กลไกการวัลคาในซ์ยางธรรมชาติอิพอกไซด์ด้วยฟินอลิก (Nakason *et. al.,* 2006)

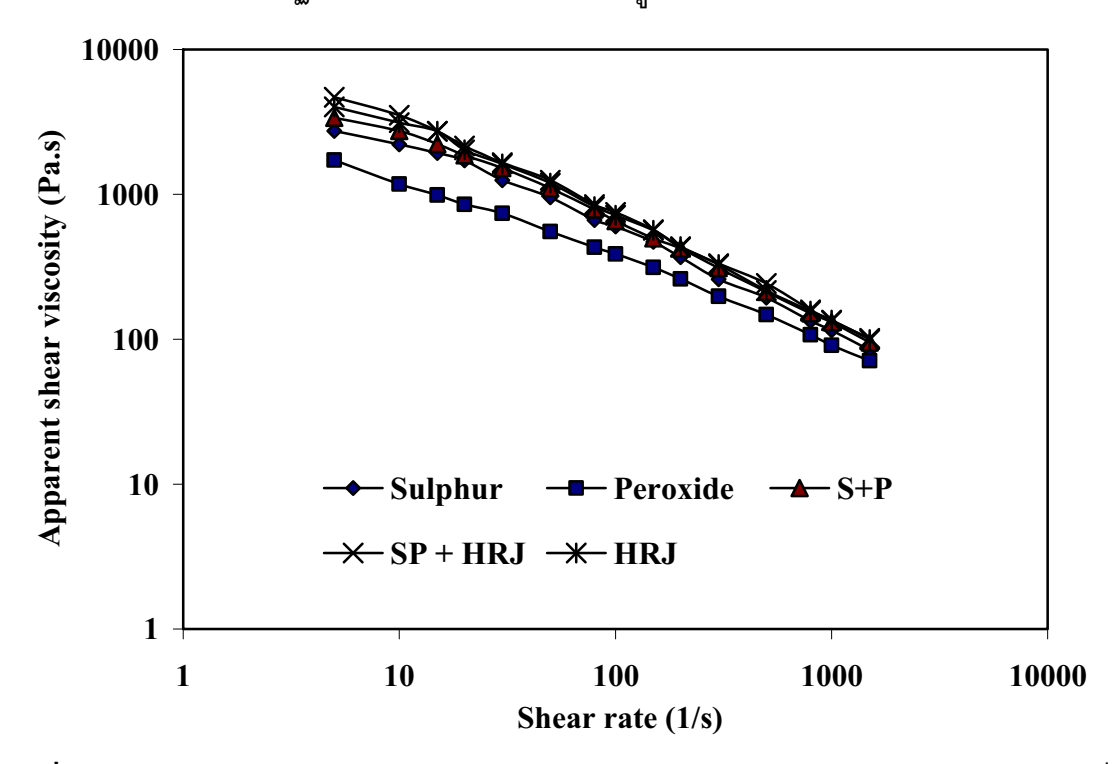
ร**ูปที่ 115** ปฏิกิริยาการตัดสายโซ่โมเลกุลของโพลิโพรไพลีนในระบบวัลคาไนซ์ด้วยเปอร์ ออกไซด์ (George *et. al*, 2000)

จากตารางที่ 53 พบว่าความสามารถในการยืดจนขาดของ TPVs ที่วัลคาในซ์ด้วยระบบ ต่างๆ มีแนวโน้มคล้ายกันกับความต้านทานต่อแรงดึง กล่าวคือ TPVs ที่วัลคาในซ์ด้วยระบบ ผสมระหว่างกำมะถั่นกับเปอร์ออกไซด์มีความสามารถในการยืดจนขาดสูงสุดทั้งที่อัตราส่วนเบ ลนด์ 50/50 และ 60/40 TPVs ที่มีความสามารถในการยืดจนขาดรองลงมาคือ TPVs ที่วัลคา ในซ์ด้วยระบบกำมะถัน ระบบเปอร์ออกไซด์ ระบบฟินอลิก (HRJ-10518) และระบบผสมฟินอ ลิก HRJ-10518 ร่วมกับ SP-1045 ตามลำดับ การที่ TPVs ที่วัลคาในซ์ด้วยระบบกำมะถันปกติ และระบบเปอร์ออกไซด์มีความสามารถในการยืดจนขาดต่ำกว่า ระบบผสมระหว่างกำมะถัน กับเปอร์ออกไซด์ เนื่องจากการวัลคาในซ์ด้วยระบบกำมะถันปกติจะได้พันธะเชื่อมโยงชนิด กำมะถันหลายตัว (Polysulfidic crosslinks) ซึ่งมีพลังงานพันธะต่ำและไม่เสถียรต่อความร้อน ทำให้พันธะเชื่อมโยงที่ได้จากการวัลคาในซ์บางส่วนถูกทำลายโดยความร้อนในระหว่าง กระบวนการแปรรูป ส่งผลให้ TPVs ที่วัลคาในซ์ด้วยระบบกำมะถันปกติแตกหักได้ง่ายเมื่อถูก ดึงให้ยืด ส่วนการวัลคาในซ์ด้วยระบบเปอร์ออกไซด์ เนื่องจากปริมาณของ DCP ที่ใช้เป็นสารวัล คาในซ์มากกว่าที่ใช้ในระบบผสมระหว่างกำมะถันกับเปอร์ออกไซด์ ส่งผลให้เกิดปฏิกิริยาตัด สายโซ่โมเลกุลของพอลิโพรไพลีนขณะเกิดปฏิกิริยาการวัลคาในซ์ จึงทำให้ TPVs ที่วัลคาในซ์ ที่วัลคาในซ์ด้วยระบบผสมระหว่าง ด้วยระบบเปอร์ออกไซด์มีสมบัติเชิงกลด้อยกว่า TPVs กำมะถันกับเปอร์ออกไซด์และระบบกำมะถัน ตามลำดับ ส่วนการที่ TPVs ที่วัลคาไนซ์ด้วย ระบบฟินอลิกมีความสามารถในการยืดจนขาดต่ำสุดนั้น คาดว่าเนื่องจากการวัลคาในซ์ด้วย ระบบ ฟินอลิกเรซิน เมื่อเฟสยางได้รับความร้อนเพิ่มเติมเฟสยางจะแข็งแรงขึ้นอันเนื่องจากเกิด การวัลคาในซ์ต่อ เนื่องจากพบว่าการวัลคาในซ์ด้วยระบบฟินอลิกเรซินเป็นแบบมาชชิงจึงส่งผล ให้ TPVs ที่วัลคาในซ์ด้วยระบบฟินอลิกเรซินมีความสามารถในการยืดจนขาดต่ำสุด นอกจากนี้ ในตารางที่ 53 พบว่าค่าความแข็งของ TPVs ที่เตรียมจากการแปรระบบวัลคาในซ์ชนิดต่างๆไม่ ้มีความแตกต่างกันกันอย่างมีนัยสำคัญ ส่วนค่า Tension set ของ TPVs ที่วัลคาในซ์ด้วยระบบ เปอร์ออกไซด์มีค่าสูงสุด กล้าวคือมีความสามารถในการคืนรูปต่ำสุด ส่วน TPVs

Tension set รองลงมาคือ TPVs ที่วัลคาในซ์ด้วยระบบผสมระหว่างกำมะถันกับเปอร์ออกไซด์ ระบบกำมะถัน ระบบผสมฟินอลิก HRJ-10518 ร่วมกับ SP-1045 และระบบฟินอลิก (HRJ-10518) ตามลำดับ

4.6.2 สมบัติทางรีโอโลยี

ทดสอบสมบัติการใหลของเทอร์โมพลาสติกวัลคาในซ์ที่ได้จากการเบลนด์ ENR-25/PP = 50/50 ผสมน้ำมันพาราฟินิกและซิลิกาปริมาณอย่างละ 30 phr ด้วยเครื่องรีโอมิเตอร์แบบคาปิล ลารีแปรระบบการวัลคาในซ์ชนิดต่างๆ ในรูปแบบของความสัมพันธ์ระหว่างอัตราเฉือนปรากฏ กับความหนืดเฉือนปรากฏได้ผลการทดลองดงแสดงในรูปที่ 116



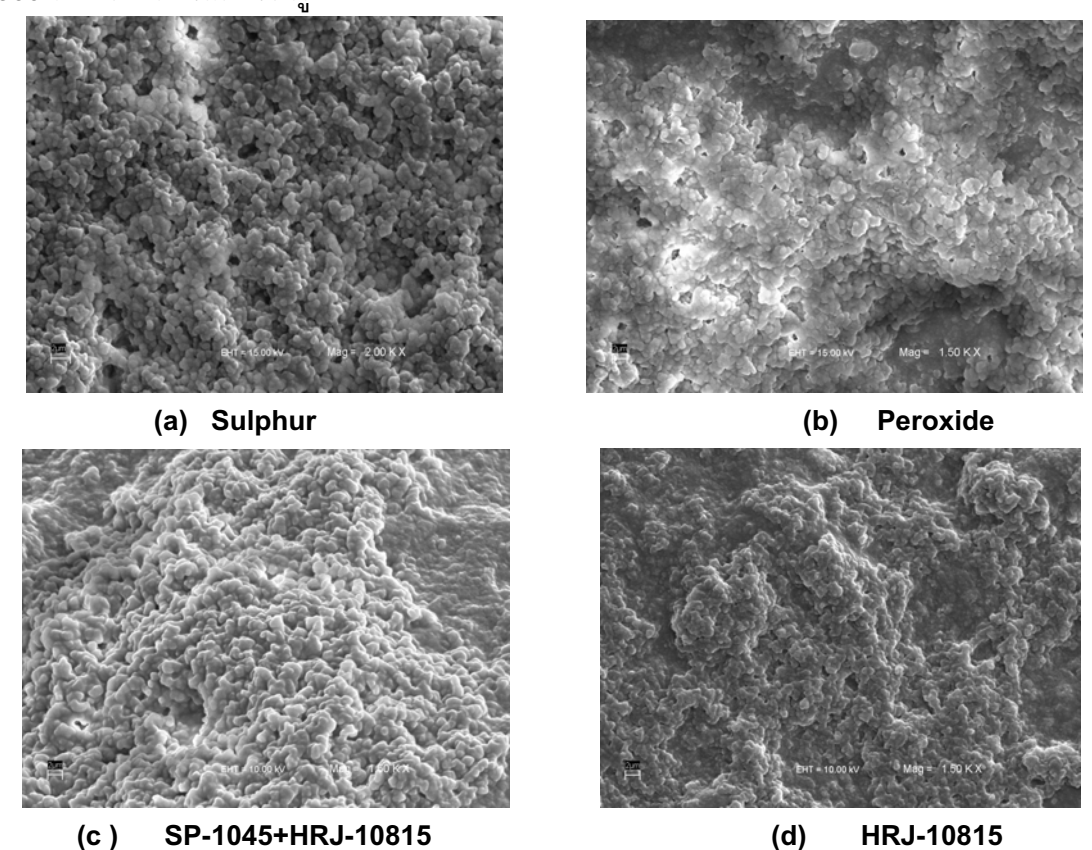
ร**ูปที่ 116** ความสัมพันธ์ระหว่างความหนืดเฉือนปรากฏกับอัตราเฉือนปรากฏของ TPVs ที่ เตรียมได้จากการเบลนด์ ENR-30/PP= 50/50 โดยแปรระบบการวัลคาในซ์ชนิดต่างๆ

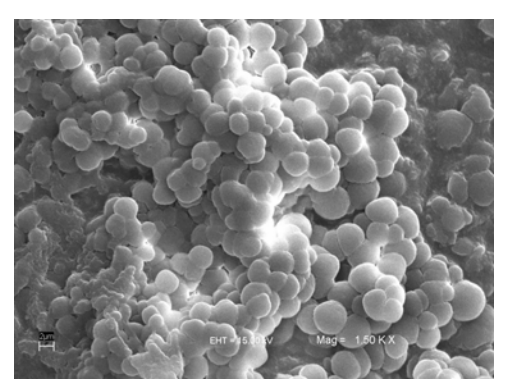
จากรูปที่ 116 พบว่าค่าความหนืดเฉือนปรากฏของ TPVs ทุกระบบการวัลคาในซ์มี แนวโน้มลดลงตามการเพิ่มอัตราเฉือนปรากฏ ที่อัตราเฉือนปรากฏเดียวกัน พบว่า TPVs ที่วัล คาในซ์ด้วยระบบเปอร์ออกไซด์จะมีค่าความหนืดเฉือนปรากฏต่ำสุดโดยค่าความหนืดเฉือน ปรากฏจะเพิ่มขึ้นเมื่อวัลคาในซ์ด้วยระบบกำมะถัน ระบบผสมระหว่างกำมะถันกับเปอร์ออกไซด์ ระบบฟินอลิก (HRJ-10518) และระบบผสมฟินอลิก HRJ-10518 ร่วมกับ SP-1045 ตามลำดับ เนื่องจากเมื่อสังเกตจากลักษณะสัณฐานวิทยา (รูปที่ 117) พบว่าขนาดอนุภาคเฟสยางวัลคา ในซ์ใน TPVs ที่วัลคาในซ์ด้วยระบบเปอร์ออกไซด์จะมีขนาดเล็กที่สุด จึงเกิดการใหลได้ง่าย อีก ทั้งการวัลคาในซ์ด้วยระบบเปอร์ออกไซด์ยังเกิดปฏิกิริยาการตัดสายโซ่โมเลกุลพอลิโพรไพลีนใน

ระหว่างที่เกิดการวัลคาในซ์ ส่วนการวัลคาในซ์ด้วยระบบผสมระหว่างกำมะถันกับเปอร์ออกไซด์ จะแสดงค่าความเค้นเฉือนปรากฏสูงกว่าการวัลคาในซ์ด้วยระบบเปอร์ออกไซด์ เนื่องจากจะใช้ DCP ปริมาณน้อยกว่าการวัลคาในซ์ด้วยระบบเปอร์ออกไซด์ ทำให้ปฏิกิริยาการตัดสายโช่ โมเลกุลพอลิโพรไพลีนเกิดในอัตราที่น้อยกว่า อีกทั้งเมื่อพิจารณาขนาดอนุภาคของเฟสยางที่ กระจายตัวในเฟสต่อเนื่องของ PP (รูปที่ 117) พบว่าเฟสยางวัลคาในซ์ใน TPVs ที่วัลคาในซ์ ด้วยระบบผสมระหว่างกำมะถันกับเปอร์ออกไซด์จะมีขนาดใหญ่ที่สุด ส่งผลให้ความสามารถใน การไหลของเฟสยางวัลคาในซ์ซึ่งเป็นเฟสที่ไม่หลอมลดลงเนื่องจากโอกาสที่เฟสยางจะสัมผัส และเสียดสีกันมีมากขึ้น จึงทำให้ความหนืดเฉือนปรากกฏของ TPVs ที่วัลคาในซ์ด้วยระบบผสม ระหว่างกำมะถันกับเปอร์ออกไซด์สูงกว่าระบบกำมะถัน ส่วน TPVs ที่วัลคาในซ์ด้วยระบบฟินอ ลิกเรซินพบว่าทั้งชนิดที่ใช้ระบบฟินอลิก (HRJ-10518) และระบบผสมฟินอลิก HRJ-10518 ร่วมกับ SP-1045 จะมีค่าความหนืดเฉือนปรากฏสูงกว่า TPVs ที่วัลคาในซ์ด้วยระบบอื่นๆ คาด ว่าเนื่องจากการวัลคาในซ์ด้วยระบบฟินอลิกเรซินเมื่อเฟสยางได้รับความร้อนเพิ่มจะทำให้ ยางวัลคาในซ์ต่อ เนื่องจากพบว่าการวัลคาในซ์ด้วยระบบเรซินจะเป็นแบบมาชชิงทำให้พันธะ เชื่อมโยงของเฟสยางวัลคาในซ์มีความแข็ง

4.6.3 สัณฐานวิทยา

วิเคราะห์สัณฐานวิทยาของ TPVs ที่ได้จากการเบลนด์ ENR-25/PP= 60/40 ผสม น้ำมันพาราฟินิกปริมาณ 30 phr แปรระบบวัลคาในซ์ซนิดต่างๆ ทำการทดลองที่กำลังขยาย 1500 เท่า ได้ผลดังแสดงในรูปที่ 117





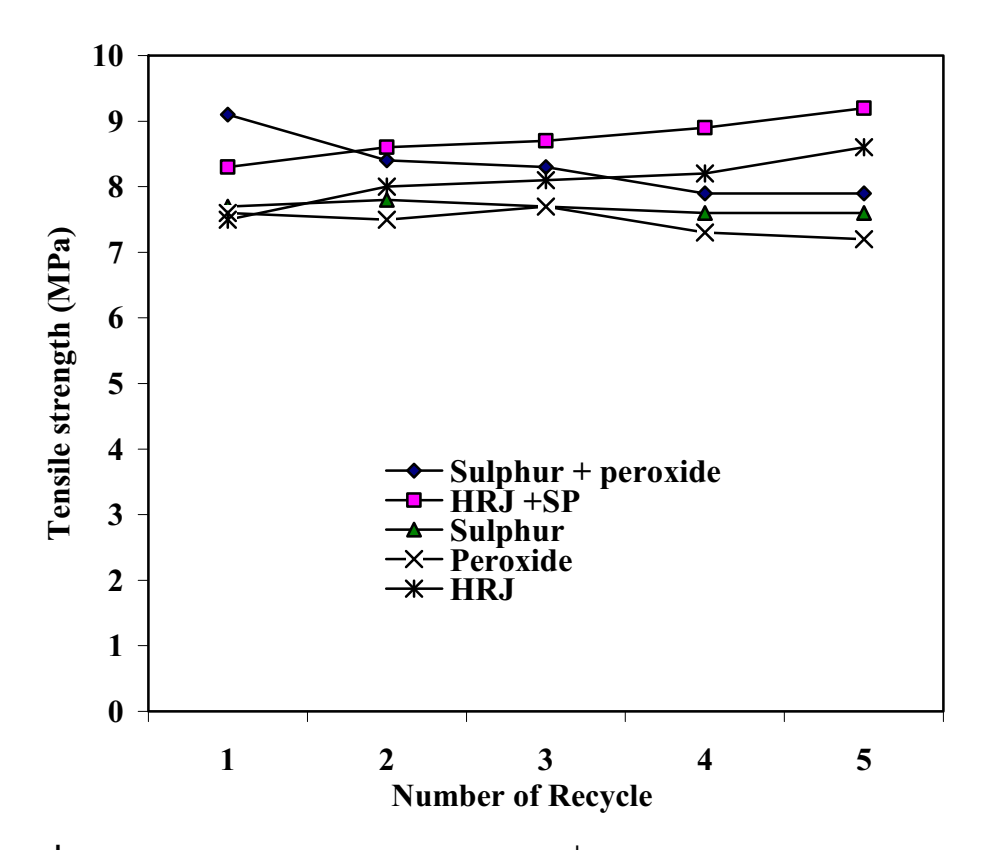
(e) Sulphur + Peroxide

ร**ูปที่ 117** สัณฐานวิทยาของ TPVs ที่เตรียมได้จากการเบลนด์ ENR-25/PP= 60/40 โดย แปรระบบวัลคาในซ์ชนิดต่างๆ

จากรูปที่ 117 พบว่าเมื่อสกัดเฟสพอลิโพรไพลีนออกด้วยไซลีนร้อนจะได้อนุภาคเฟส ยางที่กระจายตัวอยู่ในเฟสต่อเนื่องของพอลิโพรไพลีน โดย TPVs ที่วัลคาในซ์ด้วยระบบเปอร์ ออกไซด์และระบบกำมะถั่นจะมีขนาดอนุภาคเล็กที่สุดและใกล้เคียงกัน แต่ TPVs ที่วัลคาในซ์ ด้วยระบบกำมะถันจะมีการกระจายตัวของอนุภาคเฟสยางในเฟสต่อเนื่องของพอลิโพรไพลีน ที่วัลคาในซ์ด้วยระบบเปอร์ออกไซด์ เนื่องจากการวัลคาในซ์ด้วยระบบเปอร์ ออกไซด์จะเกิดปฏิกิริยาตัดสายโซ่โมเลกุลพอลิโพรไพลืนในระหว่างที่เกิดปฏิกิริยาวัลคาในซ์จึง ทำให้เฟสยางที่วัลคาในซ์ด้วยระบบเปอร์ออกไซด์กระจายตัวในเฟสต่อเนื่องของพอลิโพรไพลึน ด้อยกว่าที่วัลคาในซ์ด้วยระบบกำมะถัน ส่งผลให้สมบัติเชิงกลและสมบัติรีโอโลยีของ TPVs ที่วัล คาในซ์ด้วยระบบเปอร์ออกไซด์ต่ำกว่าที่วัลคาในซ์ด้วยระบบกำมะถัน ส่วน TPVs ที่วัลคาในซ์ ด้วยระบบผสมระหว่างกำมะถั่นกับเปอร์ออกไซด์จะมีขนาดอนุภาคเฟสยางใหญ่ที่สุดแต่การ กระจายตัวของเฟสยางในเฟสต่อเนื่องของพอลิโพรไพลีน เมื่อเปรียบเทียบขนาดอนุภาคของ เฟสยางที่กระจายตัวในเฟสต่อเนื่องของพอลิโพรไพลีนของ TPVs ที่วัลคาไนซ์ด้วยระบบผสม ระหว่างกำมะถันกับเปอร์ออกไซด์กับ TPVs ที่วัลคาในซ์ด้วยระบบกำมะถัน พบว่าขนาด อนุภาคเฟสยางของ TPVs ที่วัลคาในซ์ด้วยระบบกำมะถันจะมีขนาดเล็กกว่าและกระจายตัวใน เฟสต่อเนื่องของพอลิโพรไพลีนดีกว่าที่วัลคาในซ์ด้วยระบบผสมระหว่างกำมะถันกับเปอร์ ออกไซด์ แต่เนื่องจากพันธะเชื่อมโยงภายในโมเลกุลยางที่ได้จากการวัลคาไนซ์ด้วยระบบผสม ระหว่างกำมะถั่นกับเปอร์ออกไซด์แข็งแรงกว่าพันธะเชื่อมโยงที่ได้จากการวัลคาไนซ์ด้วยระบบ กำมะถันจึงทำให้สมบัติเชิงกลของ TPVs ที่วัลคาในซ์ด้วยระบบผสมระหว่างกำมะถันกับเปอร์ ออกไซด์สูงกว่า TPVs ที่วัลคาในซ์ด้วยระบบกำมะถัน

4.7 การศึกษาการนำ TPVs กลับมาใช้ใหม่ (Recycle)

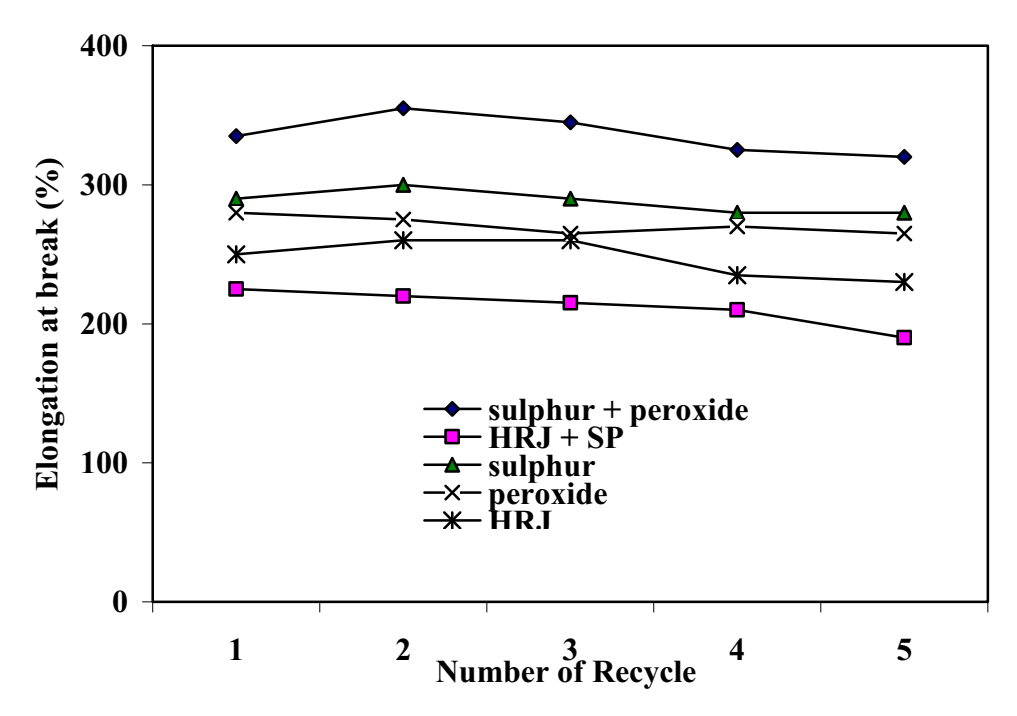
เตรียมเทอร์โมพลาสติกวัลคาในซ์จาการเบลนด์ ENR-25/PP= 60/40 ผสมน้ำมันพารา ฟินิกและซิลิกาปริมาณอย่างละ 30 phr โดยวัลคาในซ์ TPVs ด้วยระบบเปอร์ออกไซด์ ระบบ กำมะถัน ระบบผสมระหว่างกำมะถันกับเปอร์ออกไซด์ ระบบฟินอลิก (HRJ-10518) และระบบ ผสมฟินอลิก HRJ-10518 ร่วมกับ SP-1045 โดยแปรจำนวนครั้งการนำ TPVs กลับมาใช้ใหม่ ได้ผลดังแสดงในรูปที่ 118-120 ซึ่งเป็นกราฟแสดงความสัมพันธ์ระหว่างความต้านทานต่อแรง ดึง ความสามารถในการยืดจนขาดและความสามารถในการคืนรูปกับจำนวนครั้งการนำกลับมา ใช้ใหม่ ตามลำดับ



ร**ูปที่ 118** ความต้านทานต่อแรงดึงของ TPVs ที่เตรียมได้จากการเบลนด์ ENR-25/PP= 60/40 ที่วัลคาในซ์ด้วยระบบต่างๆ โดยแปรจำนวนครั้งการนำ TPVs กลับมาใช้ใหม่

จากรูปที่ 117 พบว่าความต้านทานต่อแรงดึงของ TPVs ที่วัลคาในซ์ด้วยระบบผสม ระหว่างกำมะถันกับเปอร์ออกไซด์ ระบบกำมะถันและระบบเปอร์ออกไซด์ มีแนวโน้มลดลงตาม การเพิ่มจำนวนครั้งการนำ TPVs กลับมาใช้ใหม่ เนื่องจาก TPVs ที่วัลคาในซ์ด้วยระบบ กำมะถันหรือระบบผสมระหว่างกำมะถันกับเปอร์ออกไซด์ จะได้พันธะเชื่อมโยงชนิด C-S, S-S ที่ไม่เสถียรต่อความร้อน เมื่อเฟสยางได้รับความร้อนเพิ่มเติมหลังจากเกิดการวัลคาในซ์ยาง สมบูรณ์จะทำให้พันธะเชื่อมโยงของยางเกิดการเสื่อมสภาพ ทำให้มีความแข็งแรงน้อยลง เนื่องจากพบว่าระบบนี้มีการวัลคาในซ์แบบรีเวอร์ชัน ส่งผลให้ความต้านทานต่อแรงดึงลดลง ส่วน TPVs ที่วัลคาในซ์ด้วยระบบเปอร์ออกไซด์และระบบผสมระหว่างกำมะถันกับเปอร์

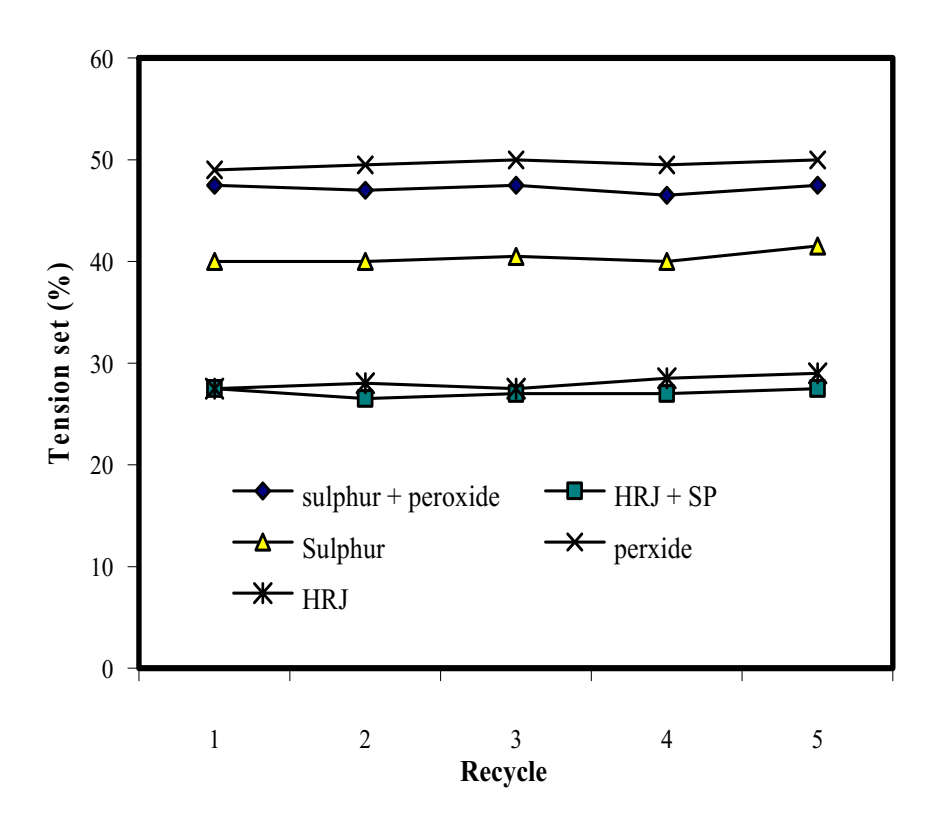
ออกไซด์ ถึงแม้ว่าการวัลคาในซ์ด้วยระบบเปอร์ออกไซด์จะได้พันธะเชื่อมโยงที่เสถียรต่อความ ร้อนและแข็งแรง (C-C) แต่การวัลคาในซ์ด้วยระบบเปอร์ออกไซด์จะเกิดปฏิกิริยาตัดสายโช่ โมเลกุลพอลิโพรไพลีนร่วมขณะเกิดปฏิกิริยาวัลคาในซ์ ยิ่งได้รับความร้อนเพิ่มปฏิกิริยาตัดสาย โซ่โมเลกุลพอลิโพรไพลีนก็จะยิ่งเกิดได้สูง จึงทำให้ค่าความต้านทานต่อแรงดึงของ TPVs ที่วัล คาในซ์ด้วยระบบเปอร์ออกไซด์มีแนวโน้มลดลงตามการเพิ่มจำนวนครั้งการนำกลับมาใช้ใหม่ ส่วนค่าความต้านทานต่อแรงดึงของ TPVs ที่วัลคาในซ์ด้วยระบบฟินอลิกเรซิน พบว่ามีแนวโน้ม เพิ่มขึ้นตามการเพิ่มจำนวนครั้งการนำกลับมาใช้ใหม่ คาดว่าเนื่องจากเมื่อเฟสยางได้รับความ ร้อนเพิ่มเติมเฟสยางจะแข็งแรงอันเนื่องจากเกิดการวัลคาในซ์ต่อ เนื่องจากพบว่าระบบนี้มี การวัลคาในซ์แบบมาซชิง จึงส่งผลให้ยางแข็งแรงขึ้นความต้านทานต่อแรงดึงจึงมีแนวโน้ม เพิ่มขึ้น



ร**ูปที่ 11**9 ความสามารถในการยืดจนขาดของ TPVs ที่เตรียมได้จากการเบลนด์ ENR-25/PP= 60/40 ที่วัลคาในซ์ด้วยระบบต่างๆโดยแปรจำนวนครั้งการนำ TPVs กลับมาใช้ใหม่

จากรูปที่ 119 พบว่าความสามารถในการยืดจนขาดของ TPVs มีแนวโน้มลดลงตามการ เพิ่มจำนวนครั้งการนำกลับมาใช้ใหม่ทุกระบบการวัลคาในซ์ เนื่องจากอิทธิพลของความไม่ เสถียรต่อความร้อนของพันธะเชื่องโยงชนิด C-S และ S-S (TPVs ที่วัลคาในซ์ด้วยระบบ กำมะถันและระบบผสมระหว่างกำมะถันกับเปอร์ออกไซด์) และอิทธิพลของการเกิดการตัดสาย โซ่โมเลกุลของพอลิโพรไพลีนขณะเกิดปฏิกิริยาการวัลคาในซ์ (TPVs ที่วัลคาในซ์ด้วยระบบ เปอร์ออกไซด์และระบบผสมระหว่างกำมะถันกับเปอร์ออกไซด์) โดยการลดลงของความสามารถ ในการยืดจนขาดของ TPVs ที่วัลคาในซ์ด้วยระบบฟินอลิกเรซินมากกว่า TPVs ที่วัลคาในซ์ด้วยระบบอื่นๆ คาดว่าเนื่องจากการวัลคาในซ์ต่อของเฟสยางอันเนื่องจากอิทธิพลของการเกิด

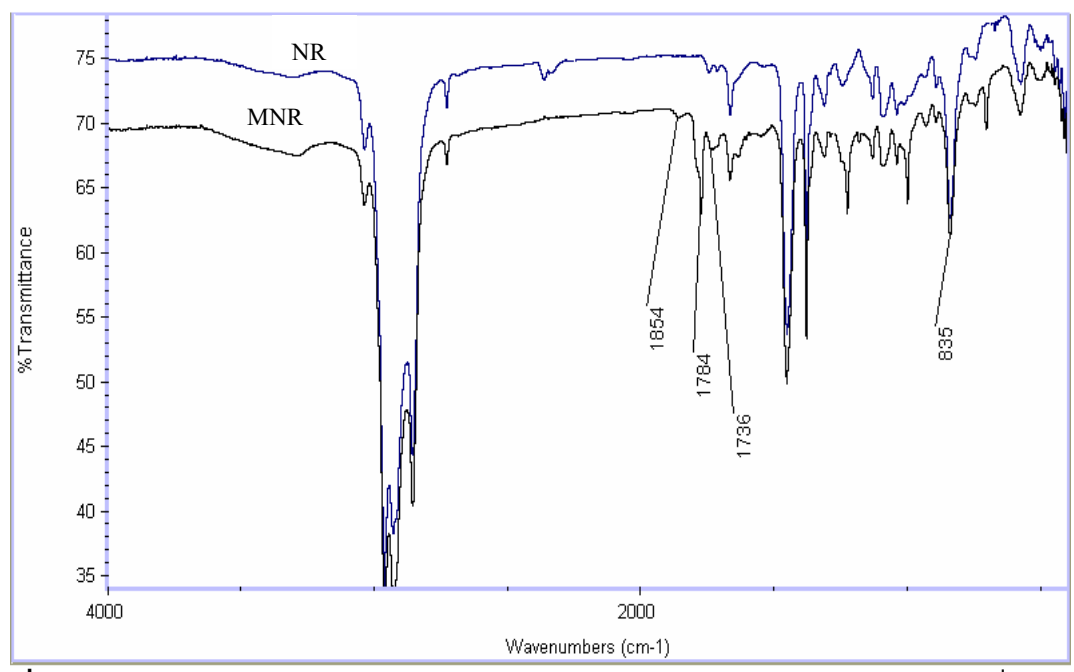
มาชชิง ทำให้โครงสร้างตาข่ายมีการเชื่อมโยงและความแข็งแรงมากขึ้น จึงทำให้ยืดได้น้อยลง ส่วนความสามารถในการคืนรูปของ TPVs ที่วัลคาไนซ์ด้วยระบบต่างๆ ในรูปที่ 120 พบว่าการ นำ TPVs กลับมาใช้ใหม่ส่งผลต่อความสามารถในการคืนรูปของ TPVs เพียงเล็กน้อยเท่านั้น



ร**ูปที่ 120** ความสามารถในการคืนรูปของ TPVs ที่เตรียมได้จากการเบลนด์ ENR-25/PP= 60/40 ที่วัลคาในซ์ด้วยระบบต่างๆ โดยแปรจำนวนครั้งการนำ TPVs กลับมาใช้ใหม่

5. การเตรียม TPVs จากการเบลนด์ยางธรรมชาติมาลิเอตกับพอลิโพรไพลีน 5.1 การเตรียมยางธรรมชาติมาลิเอต

เตรียมยางธรรมชาติมาลิเอตและนำยางธรรมชาติมาลิเอตที่เตรียมได้มาวิเคราะห์ โครงสร้างโมเลกุลและวิเคราะห์หาปริมาณการเกาะติดของหมู่มาลิอิกแอนไฮไดรด์ด้วยเทคนิคฟู เรียร์ทรานสฟอร์มอินฟราเรดสเปกโทรสโกปี ได้สเปกตรัมอินฟราเรดของยางธรรมชาติมาลิเอต เปรียบเทียบกับยางธรรมชาติแสดงดังรูปที่ 121



ร**ูปที่ 121** สเปกตรัมอินฟราเรดของยางธรรมชาติมาลิเอตเปรียบเทียบกับยางธรรมชาติที่เตรียม โดยใช้มาลิอิกแอนไฮไดรด์ที่ 10 phr

จากรูปที่ 121 พบว่ามีพีคแถบการดูดกลืนแสงอินฟราเรดที่เกิดมาจากการที่มาลิอิก แอนไฮไดรด์ทำปฏิกิริยากราฟต์โคพอลิเมอร์ไรซ์กับยางธรรมชาติ โดยพบหมู่ฟังก์ชันคาร์บอนิล (Carbonyl function) และมีความเข้มของพีคสูงที่ตำแหน่งเลขคลื่น 1784 cm⁻¹ ซึ่งเป็นพีคที่แสดง การสั่นแบบยืดแบบสมมาตร (Symmetric stretching vibration) และปรากฏพีคอ่อนที่เลขคลื่น 1854 cm⁻¹ ซึ่งเป็นพีคที่แสดงถึงการสั่นแบบยืดไม่สมมาตรของพันธะ C=O (asymmetric strectching vibration) ซึ่งพันธะที่ปรากฏดังกล่าวเป็นองค์ประกอบของวงแหวนซัคซินิคแอนไฮ ใดรด์ที่เกาะบนโมเลกุลของยางธรรมชาติ ส่วนพีคที่ต่ำแหน่งเลขคลื่น 1710 cm⁻¹ เป็นการสั่น ของหมู่คาร์บอนิลของกรดซัคซินิค (Succinic acid) ที่เกิดจากปฏิกิริยาของหมู่ซัคซินิคแอนไฮ ใดรด์กับความชื้นในอากาศ (Nakason, et al.,2006)

จากสเปกตรัมอินฟราเรดสามารถวิเคราะห์หาปริมาณการเกาะติดของมาลิอิกแอนไฮ ไดรด์บนโมเลกุลยางธรรมชาติ โดยคำนวณจากอัตราส่วนการดูดกลืน (Absorbance ratio) ของ พีคที่ตำแหน่งเลขคลื่น (1784 + 1854 + 1710 + 1736 cm⁻¹) / 835cm⁻¹ (Nakason, *et al*, 2006) และโดยวิธีการไตเตรท ได้ผลการทดลองแสดงดังตารางที่ 55

ตารางที่ 55 ปริมาณมาลิอิกแอนไฮไดรด์และอัตราส่วนการดูดกลืนแสดงอินฟราเรด

Quantities of MA	Absorbance ratio	Grafted MA
(phr)	(1784 + 1854 + 1710	(wt%)
	+ 1736) / (835 cm ⁻¹)	
8	0.4559	3.91
9	0.5570	4.16
10	0.5742	5.02

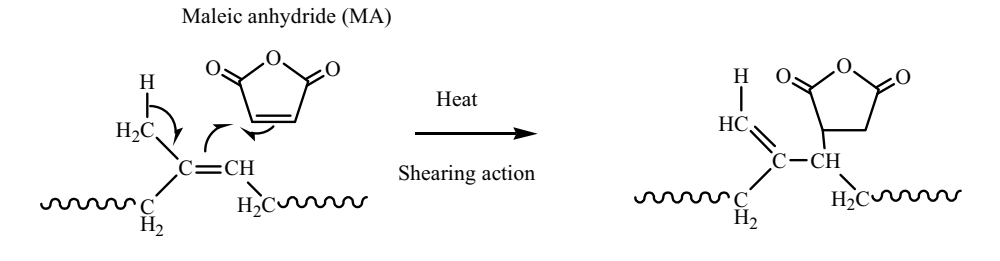
จากตารางที่ 55 พบว่าเมื่อเพิ่มปริมาณมาลิอิกแอนไฮไดรด์ในปฏิกิริยาทำให้การเกาะดิด ของมาลิอิกแอนไฮไดรด์บนโมเลกุลของยางธรรมชาติเพิ่มสูงขึ้น เนื่องจากเมื่อโมเลกุลของยาง ธรรมชาติถูกแรงเฉือนจากการบดผสมที่อุณหภูมิสูงทำให้เกิดอนุมูลอิสระทำให้มาลิอิกแอนไฮ ไดรด์สามารถที่จะไปเกาะตัวบนโมเลกุลของยางธรรมชาติได้ ซึ่งกลไกการเกาะของมาลิอิก แอนไฮไดรด์บนโมเลกุลยางธรรมชาติมีโอกาสเกิดได้ 2 แบบ คือ กลไกแบบสลับพันธะ (Diel-Alder reation) และกลไกแบบอนุมูลอิสระ (Free radical mechanism) ดังแสดงดังรูปที่ 122

5.2 สมบัติการวัลคาในซ์และสมบัติเชิงกลของยางธรรมชาติมาลิเอต

เตรียมยางคอมปาวด์โดยเลือกใช้ยางธรรมชาติมาลิเอตที่ระดับการใช้มาลิอิกแอนไฮ ไดรด์ 10 phr (มีปริมาณการกราฟต์ประมาณ 5.02 % wt และมีปริมาณเจลประมาณ 51.17 %) โดยแปรระบบวัลคาในซ์ 6 ระบบ คือ ระบบกำมะถัน(CV) , ระบบเปอร์ออกไซด์,ระบบผสม ระหว่างกำมะถันและเปอร์ออกไซด์(MixS+Peroxide) ระบบฟินอลิก โดยใช้ SP-1045 , HRJ-10518 และใช้ระบบผสมระหว่าง SP-1045 และ HRJ- 10518 (MixSP+HRJ) แล้วนำไปทดสอบ สมบัติการวัลคาในซ์ด้วยเครื่อง Tech Pro MD ที่อุณหภูมิ 180°C เป็นเวลา 30 นาที ได้ผล การทดลอง MDR curves ดังแสดงในรูปที่ 123

Maleated natural rubber

(A) Free radical mechanism

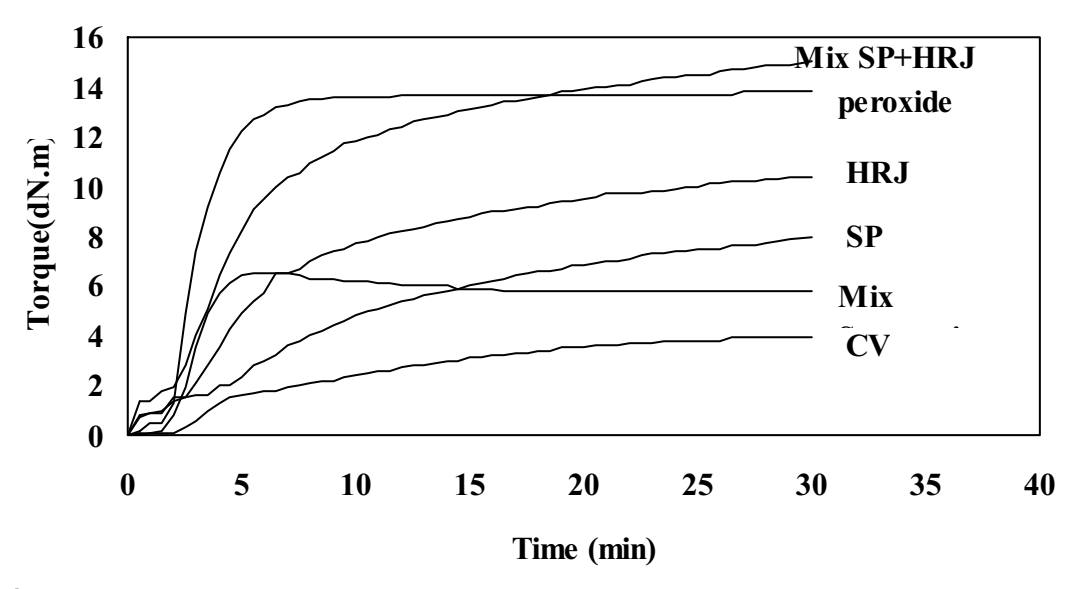


Natural Rubber

Maleated Natural Rubber

(B) Diels-Alder reaction

ร**ูปที่ 122** กลไกที่เป็นไปได้ของการกราฟต์มาลิอิกแอนไฮไดรด์บนโมเลกุลยางธรรมชาติ (Nakason *et.al.*,2005)



ร**ูปที่ 123** แสดงเส้นโค้งของการวัลคาในซ์ (Curing curve) ของยางธรรมชาติมาลิเอตที่วัลคา ในซ์ด้วยระบบต่างๆ

จากรูปที่ 123 พบว่าการวัลคาในซ์ของคอมปาวด์ยางธรรมชาติมาลิเอต ที่ใช้ระบบ ผสมฟินอลิกเรซิน (Mix SP + HRJ) ให้ค่าทอร์กสุดท้ายสูงที่สุดและมีลักษณะการวัลคาในซ์แบบ มาร์ชซิง กล่าวคือมีลักษณะของค่าทอร์กที่เพิ่มขึ้นเมื่อเพิ่มเวลาการวัลคาในซ์ รองลงมาคือระบบ เปอร์ออกไซด์ (Peroxide) ระบบฟินอลิกที่ใช้ HRJ-10518, ระบบฟินอลิกที่ใช้ SP-1045, ระบบ ผสมกำมะถันกับเปอร์ออกไซด์ (Mix S + Peroxide) และระบบกำมะถัน (CV) ตามลำดับ โดย ลักษณะการวัลคาในซ์ของยางธรรมชาติมาลิเอตด้วยระบบฟินอลิกเป็นแบบมาร์ชชิงทั้งหมด ส่วนการเพิ่มของการวัลคาในซ์ด้วยระบบกำมะถันให้ค่าทอร์กที่ด่ำสุด

5.3 สมบัติเชิงกลของยางธรรมชาติมาลิเอตวัลคาไนซ์

นำยางธรรมชาติมาลิเอตที่ผ่านการคอมปาวด์ด้วยระบบวัลคาในซ์แบบต่าง ๆมา ทำการศึกษาสมบัติเชิงกล โดยการนำยางคอมปาวด์ที่ได้ไปขึ้นรูปโดยวิธีการอัดเบ้า ที่อุณหภูมิ 180°C โดยใช้เวลาการวัลคาในซ์ที่ได้จากผลการทดลองในหัวข้อที่ 5.2 หลังจากนั้นนำยาง ธรรมชาติมาลิเอตที่ผ่านการขึ้นรูปมาทดสอบด้วยเครื่องทดสอบแบบดึงได้สมบัติต่างแสดงดังใน ตารางที่ 56

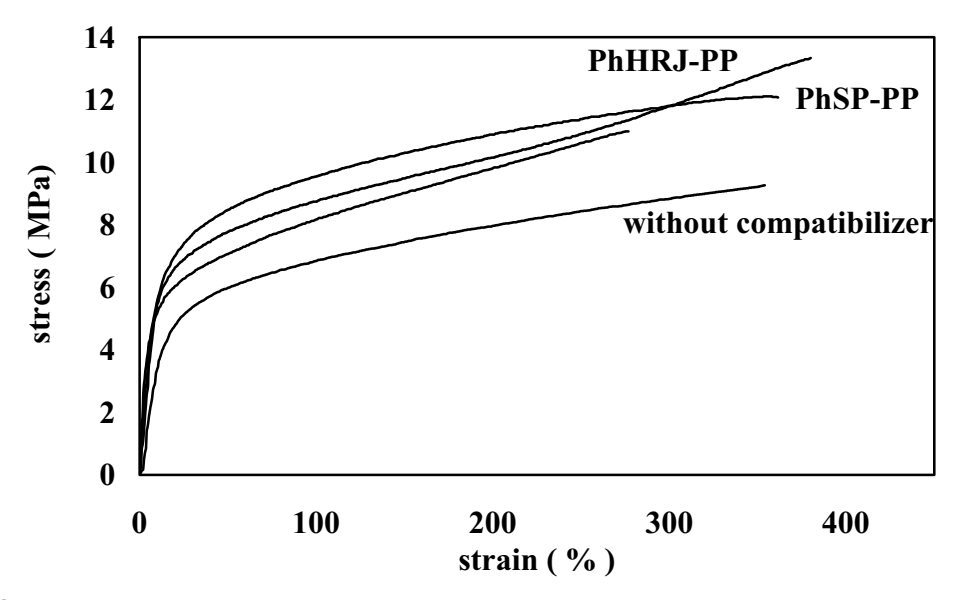
ตารางที่ 56 ความต้านทานต่อแรงดึง ความสามารถในการยืดจนขาดและความแข็งของยาง ธรรมชาติมาลิเอตที่วัลคาในซ์ด้วยระบบต่างๆ

Vulcanization	Tensile strength	Elongation at break	Hardness (Shore A)		
Systems	(MPa)	(%)			
CV	6.12	678	26		
Peroxide	8.74	288	33		
Mix S + Peroxide	8.3	639	28		
SP-1045	4.16	314	31		
HRJ-10518	10.99	567	32		
Mix SP + HRJ	7.89	514	30		

จากตารางที่ 56 พบว่าค่าความต้านทานต่อแรงดึงของยางธรรมชาติมาลเอตที่วัลคาในซ์ มีค่าสูงสุดรองลงมาคือ ระบบเปอร์ออกไซด์, ด้วยระบบฟินอลิก HRJ-10518 MixS+Peroxide, ระบบ MixSP+HRJ, ระบบกำมะถัน และระบบฟินอลิก SP-1045 ตามลำดับ เนื่องมาจากการเชื่อมโยงด้วยระบบฟินอลิกมีวงแหวนโครมแมนที่มีความแข็งแรงสูง นอกจากนี้ พบว่าค่าความสามารถในการยืดจนขาดของยางธรรมชาติมาลิเอตที่วัลคาในซ์ด้วยระบบ กำมะถันจะมีค่าสูงสุด รองลงมาคือ ระบบ MixS+Peroxide, ระบบฟินอลิก HRJ-10518, ระบบ MixSP+HRJ, ระบบฟินอลิก SP-1045 และระบบเปอร์ออกไซด์ เนื่องจากการใช้กำมะถันเกิด ซึ่งเป็นพันธะที่มีความยืดหยุ่นสูง จึงมีค่า พันธะเชื่อมโยงแบบพอลิซัลฟิดิก (C-S_x-C) ความสามารถในการยืดจนขาดสูงที่สุด การวัลคาในซ์ด้วยระบบผสมระหว่างกำมะถันและเปอร์ ออกไซด์ให้ความสามารถในการยืดจนขาดต่ำกว่า เนื่องจากจะเกิดพันธะเชื่อมโยงด้วยพันธะ C-C และ C-S_x-S ส่งผลให้มีความยืดหยุ่นน้อยกว่าการใช้ระบบกำมะถัน และการวัลคาในซ์ด้วย ระบบเปอร์ออกไซด์สามารถเกิดพันธะ C-C ซึ่งเป็นพันธะที่มีความแข็งแรงสูง ทำให้สมบัติความ ยึดหยุ่นลดลง เปรียบเทียบยางธรรมชาติมาลิเอตที่วัลคาในซ์ด้วยระบบฟินอลิก พบว่าระบบที่ใช้ HRJ-10518 ให้ค่าความสามารถในการยืดสูงที่สุด เนื่องจาก HRJ-10518 มีสายโซ่โมเลกุลยาว และมีปริมาณหมู่เมทิลลอลต่ำจึงส่งผลให้ยางวัลคาในซ์มีความยืดหยุ่นดีกว่ากรณีที่มี SP-1045 เป็นสารวัลคาในซ์ ค่าความแข็งของยางธรรมชาติมาลิเอตที่วัลคาในซ์ด้วยระบบเปอร์ออกไซด์ กับระบบฟินอลิก HRJ-10518 และ SP-1045 มีค่าใกล้เคียงกันมากรองลงมาคือ ระบบ MixSP+HRJ,ระบบ MixS+Peroxide และระบบกำมะถันมีค่าต่ำที่สุด

5.4 อิทธิพลของชนิดสารเพิ่มความเข้ากันได้ต่อสมบัติของเทอร์โมพลาสติกวัลคาในซ์

เตรียมเทอร์โมพลาสติกวัลคาในซ์จากการเบลนด์ระหว่าง MNR/PP โดยวัลคาในซ์ด้วย ระบบฟินอลิกเรซิน (HRJ-10518) ที่อัตราส่วน 60/40 โดยแปรชนิดสารเพิ่มความเข้ากันได้ 3 ชนิดดังนี้ ได้แก่ PP-g-MA, PhSP-PP และ PhHRJ-PP ใช้ปริมาณ 7 เปอร์เซ็นต์โดยน้ำหนัก ของพอลิโพรพิลีน เปรียบเทียบกับระบบที่ไม่ใช้สารเพิ่มความเข้ากันได้ ทดสอบความด้านทาน ต่อแรงดึง เพื่อเปรียบเทียบสมบัติเชิงกลของเทอร์โมพลาสติกวัลคาในซ์จากการเบลนด์ระหว่าง MNR/PP= 60/40 โดยใช้สารเพิ่มความเข้ากันได้ 3 ชนิด ได้แก่ PP-g-MA, PhSP-PP และ PhHRJ-PP เปรียบเทียบกับที่ไม่ใช้สารเพิ่มความเข้ากันได้ ได้ความสัมพันธ์ระหว่างความเค้น-ความเครียด แสดงดังรูปที่ 125



ร**ูปที่ 125** ความสัมพันธ์ระหว่างความเค้นกับความเครียดของเทอร์โมพลาสติกวัลคาในซ์จาก การเบลนด์ MNR/PP = 60/40 โดยใช้สารเพิ่มความกันได้ชนิดต่างๆ

จากรูปที่ 125 พบว่าเทอร์โมพลาสติกวัลคาในซ์ที่ใช้สารเพิ่มความเข้ากันได้มีค่ามอดูลัส และความเหนี่ยวสูงกว่าเทอร์โมพลาสติกวัลคาในซ์ที่ไม่ได้ใช้สารเพิ่มความเข้ากันได้ ทั้งนี้ เนื่องจากสารเพิ่มความเข้ากันได้จะทำให้มีแรงยึดเหนี่ยวระหว่างเฟสยางและเฟสพลาสติกมาก ขึ้น ทำให้การส่งผ่านแรงระหว่างเฟสมีประสิทธิภาพมากขึ้น ส่งผลให้เทอร์โมพลาสติกที่ใช้สาร เพิ่มความเข้ากันได้มีสมบัติเชิงกลที่สูงขึ้น ซึ่งการขาดของเทอร์โมพลาสติกวัลคาในซ์นั้น สามารถคำนวณหาค่าความต้านทานต่อแรงดึง และค่าความสามารถในการยืดจนขาด ได้ดัง ตารางที่ 57 ซึ่งแสดงผลการทดสอบความสามารถในการคืนรูปและความแข็งในตารางนี้ด้วย

ตารางที่ 57 ความต้านทานต่อแรงดึง ความสามารถในการยืดจนขาด ความสามารถในการคืน กลับสู่รูปร่างเดิมและความแข็งของเทอร์โมพลาสติกวัลคาในซ์ที่ใช้สารเพิ่มความเข้ากันได้ชนิด ต่างๆ

Compatibilizers	Tensile	Elongation at	Tension	Hardness	
	strength	break	Set	(Shore A)	
	(MPa)	(%)	(%)		
Without compatibilizer	8.54	187	25	88	
PhHRJ-PP	13.51	380	30	98	
PhSP-PP	11.96	348	35	96	
PP-g-MA	11	275	40	90	

จากตารางที่ 57 พบว่าเทอร์โมพลาสติกวัลคาในซ์ที่ใช้สารเพิ่มความเข้ากันได้จะมีความ ต้านทานต่อแรงดึงสูงกว่าเทอร์โมพลาสติกที่ไม่ใช้สารเพิ่มความเข้ากันได้ การใช้ PhHRJ-PP จะ ให้ความต้านทานต่อแรงดึงสูงที่สุด รองลงมาคือ PhSP-PP และ PP-g-MA ตามลำดับ ทั้งนี้ เนื่องจากสารเพิ่มความเข้ากันได้ทั้ง 3 ชนิด ได้แก่ PP-g-MA, PhSP-PP และ PhHRJ-PP ซึ่งมี หมู่ฟังก์ชันที่มีขั้ว ซึ่งสามารถเกิดปฏิกิริยากับหมู่ซัคซินิคแอนไฮไดรด์บนโมเลกุลของยาง ธรรมชาติมาลิเอต ซึ่งจะทำหน้าที่เสมือนสะพานเชื่อมโยงระหว่างเฟสของ PP กับเฟสของยาง ธรรมชาติมาลิเอต ส่งผลให้เทอร์โมพลาสติกวัลคาในซ์ที่ได้มีค่าความต้านทานต่อแรงดึงสูง ส่วน กรณีที่ใช้ PP-g-MA หมู่ซัคซินิคแอนไฮไดรด์ในกราฟต์โคพอลิเมอร์จะเกิดอันตรกิริยากับหมู่ซัค ซินิคแอนไฮไดรด์ในโมเลกุลยางธรรมชาติมาลิเอต ส่วนของโมเลกุล PP ในโมเลกุลสารเพิ่มความ เข้ากันได้ จะเข้ากันได้กับ PP ที่ใช้ในการเบลนด์ ดังนั้น PP-g-MA จึงทำหน้าที่เป็นสะพาน เชื่อมโยงระหว่างเฟส PP กับเฟสยางธรรมชาติมาลิเอตได้เช่นกัน

ความสามารถในการยืดจนขาดของเทอร์โมพลาสติกวัลคาในซ์จากการเบลนด์ MNR/PP ที่อัตราส่วน 60/40 โดยใช้สารเพิ่มความเข้ากันได้ชนิดต่างๆ พบว่าเทอร์โมพลาสติกวัลคาในซ์ที่ ใช้สารเพิ่มความเข้ากันได้จะมีความสามารถในการยืดสูงกว่าเทอร์โมพลาสติกวัลคาในซ์ที่ไม่ได้ ใช้สารเพิ่มความเข้ากันได้ ทั้งนี้เนื่องจาก PP-g-MA, PhSP-PP และ PhHRJ-PP จะทำหน้าที่ เป็นสารเพิ่มความเข้ากันได้โดยเพิ่มแรงยึดเหนี่ยวระหว่างเฟสและลดแรงตึงผิวระหว่างเฟสซึ่งจะ ทำให้เทอร์โมพลาสติกวัลคาในซ์สามารถยืดได้มากขึ้น โดยที่การใช้ PhHRJ-PP จะให้ ความสามารถในการยืดจนขาดสูงที่สุด เนื่องจาก HRJ-10518 มีหมู่เมทิลลอล 6-9% ซึ่งหมู่ เมทิลลอลของ SP-1045 มีมากกว่า 8-11% คือ ทำให้การใช้ PhHRJ-PP มีความยืดหยุ่นดีกว่า และการใช้ PP-g-MA จะให้ความสามารถในการยืดต่ำกว่า PhHRJ-PP และ PhSP-PP ส่วนค่า ความสามารถในการคืนรูปของเทอร์โมพลาสติกวัลคาในซ์ พบว่าเทอร์โมพลาสติกวัลคาในซ์ที่ ไม่ใช้สารเพิ่มความเข้ากันมีค่าสูงกว่า เทอร์โมพลาสติกวัลคาในซ์ที่ใช้สารเพิ่มความเข้ากันมีค่าสูงกว่า เทอร์โมพลาสติกวัลคาในซ์ที่

พลาสติกวัลคาในซ์มีความเป็นยางมากขึ้นเนื่องจากมีความสามารถในการคืนกลับสู่รูปร่างเดิม ได้ดีขึ้น ทั้งนี้เนื่องจากสารเพิ่มความเข้ากันได้จะเพิ่มแรงยึดเหนี่ยวระหว่างเฟสยางและเฟส พลาสติก โดยที่ PhHRJ-PP จะมีความสามารถในการคืนรูปได้ดีที่สุด แสดงว่าการใช้ PhHRJ-PP เป็นสารเพิ่มความเข้ากันได้จะทำให้เฟสยางมีความหยืดหยุ่นมากที่สุด รองลงมาได้แก่ TPVs ที่ใช้ PhSP-PP และ PP-g-MA เป็นสารเพิ่มความเข้ากันได้ตามลำดับ

จากตารางที่ 57 พบว่าค่าความแข็งของเทอร์โมพลาสติกวัลคาในซ์จากการเบลนด์ ระหว่าง MNR/PP ที่ใช้สารเพิ่มความเข้ากันได้ชนิดต่าง ๆโดยการที่ใช้ PhHRJ-HDPE เป็นสาร เพิ่มความเข้ากันได้มีค่าสูงกว่าระบบอื่น ๆ ซึ่งอาจเป็นผลมาจากความเข้ากันได้สูงระหว่าง PP และยางธรรมชาติมาลิเอตทำให้เกิดการเชื่อมโยงที่สูงทำให้ความแข็งมีค่าสูงด้วย รองลงมาได้แก่ เทอร์โมพลาสติกวัลคาในซ์ที่ใช้ PhSP-PP, PP-g-MA และไม่ใช้สารเพิ่มความเข้ากันได้ ตามลำดับ

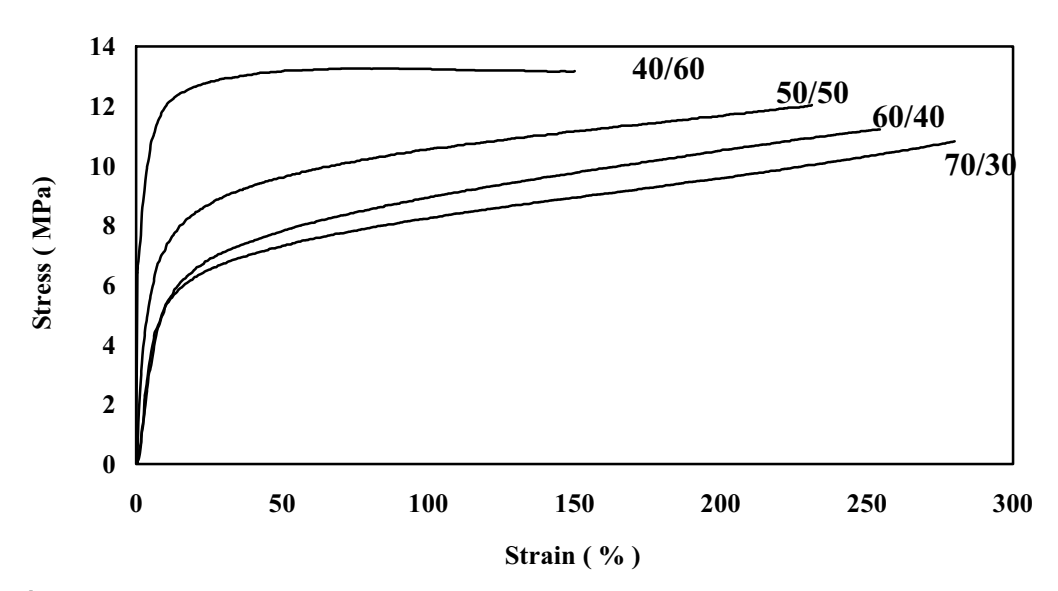
จากสมบัติต่างๆ จึงเลือกใช้ PhHRJ-PP เป็นสารเพิ่มความเข้ากันได้ในการทดลองตอน ต่อไป

5.5 อิทธิพลอัตราส่วนการเบลนด์ MNR/PPต่อสมบัติเทอร์โมพลาสติกวัลคาไนซ์

เตรียมเทอร์โมพลาสติกวัลคาในซ์จากการเบลนด์ระหว่าง MNR/PP โดยใช้ PhHRJ-PP ปริมาณ 7 % โดยน้ำหนักของ PP เป็นสารเพิ่มความเข้ากันได้ โดยทำการแปรอัตราส่วนการเบลนด์ระหว่าง MNR/PPเป็น 40/60, 50/50, 60/40 และ 70/30 ตามลำดับ ได้ผลการทดลอง ดังต่อไปนี้

5.5.1 สมบัติเชิงกล

จากการทดสอบแบบดึงของเทอร์โมพลาสติกวัลคาในซ์ที่เตรียมจากการเบลนด์ระหว่าง MNR/PP ที่อัตราส่วนต่างๆ ได้ความสัมพันธ์ระหว่างความเค้นกับความเครียด ดังแสดงในรูปที่ 126



ร**ูปที่ 126** ความสัมพันธ์ระหว่างความเค้นกับความเครียดของเทอร์โมพลาสติกวัลคาในซ์จาก การ เบลนด์ MNR/PP ที่อัตราส่วนต่างๆ

จากรูปที่ 126 พบว่าการเพิ่มสัดส่วน MNR จะมีผลให้แนวโน้มของค่ามอดูลัสหรือความ แข็งตึงลดลง เนื่องจากการเพิ่มปริมาณยางจะทำให้วัสดุมีความนิ่มมากขึ้น อีกทั้งการเพิ่ม ปริมาณยางจะทำให้เทอร์โมพลาสติกวัลคาในซ์มีความสามารถในการยืดจนขาดเพิ่มขึ้น เนื่องจากยางมีสมบัติด้านความยืดหยุ่นจึงสามารถยืดได้มาก และเทอร์โมพลาสติกที่อัตราส่วน การเบลนด์ MNR/PP = 40/60 จะมีลักษณะการครากเกิดขึ้น ทั้งนี้เนื่องจากที่อัตราส่วนดังกล่าว มีสัดส่วน PP ในปริมาณสูง ทำให้ลักษณะกราฟความเค้นและความเครียดแสดงพฤติกรรมคล้าย พลาสติก การขาดของเทอร์โมพลาสติกวัลคาในซ์สามารถประเมินค่าความต้านทานต่อแรงดึง และค่าความสามารถในการยืดจนขาด ได้ผลดังตารางที่ 58 ซึ่งแสดงผลการทดสอบ ความสามารถในการคืนรูปและความแข็งในตารางนี้ด้วย

ตารางที่ 58 ความต้านทานต่อแรงดึง, ความสามารถในการยืดจนขาด ความสามารถในการคืน กลับสู่รูปร่างเดิมและความแข็งของเทอร์โมพลาสติกวัลคาในซ์ จากการเบลนด์ระหว่าง MNR/PP ที่อัตราส่วนต่างๆ

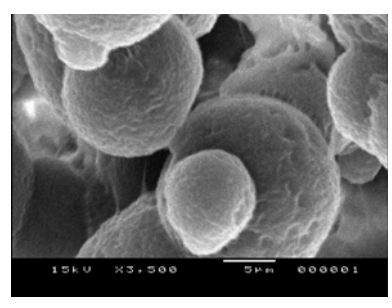
MNR/PP	Tensile	Elongation at	Tension	Hardness
	Strength	break	set	(Shore A)
	(MPa)	(%)	(%)	
40/60	13.11	158	40	91
50/50	12.11	231	35	88
60/40	11.48	250	25	84
70/30	10.11	280	20	76

จากตารางที่ 58 พบว่า TPVs ที่เตรียมโดยใช้อัตราส่วน MNR/PP = 40/60 มีค่าความ ต้านทานต่อแรงดึงสูงที่สุดและมีแนวโน้มลดลงตามการเพิ่มอัตราส่วนยางธรรมชาติมาลิเอตเป็น MNR/PP = 50/50, 60/40 และ 70/30 ตามลำดับ ทั้งนี้เนื่องจากยางธรรมชาติมาลิเอตมีความ ยืดหยุ่นสูง ส่วนพอลิโพรไพลีนที่ใช้เป็นเทอร์โมพลาสติกที่มีค่าความแข็งแรงสูง ดังนั้นเมื่อเพิ่ม ปริมาณยางเป็นการลดปริมาณพอลิโพรไพลีน จะทำให้ความต้านทานต่อแรงดึงของเทอร์โม พลาสติกวัลคาในซ์มีแนวโน้มลดลง อีกทั้งในการเตรียม TPVs ชนิดนี้พอลิโพรไพลีนเป็นเฟส ต่อเนื่อง ทำให้ความแข็งแรงของเทอร์โมพลาสติกวัลคาในซ์มาจากเฟสเทอร์โมพลาสติก และพอลิโพรไพลีนเป็นพอลิเมอร์แบบกึ่งผลึก ซึ่งมีความแข็งแรงสูงในสถานะของแข็ง เมื่อเพิ่มปริมาณ ยางจะทำให้การเกิดผลึกของพอลิโพรไพลีนลดลง เนื่องจากเฟสยางจะไปขัดขวางการเกิดผลึกของพอลิโพรไพลีน นอกจากนี้การเพิ่มปริมาณยางธรรมชาติมาลิเอตยังทำให้เทอร์โม พลาสติกวัลคาในซ์ยืดหยุ่นได้มากขึ้น มีความอ่อนตัวลงจึงแข็งแรงน้อยลง

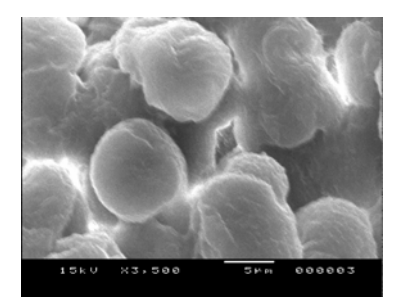
จากตารางที่ 58 พบว่าความสามารถในการยืดจนขาดของเทอร์โมพลาสติกวัลคาในซ์ มี แนวโน้มเพิ่มขึ้นตามการเพิ่มสัดส่วนยางธรรมชาติมาลิเอต เนื่องจากเฟสยางเป็นเฟสที่มีความ ยืดหยุ่น เมื่อเพิ่มเฟสจึงส่งผลให้เทอร์โมพลาสติกวัลคาในซ์สามารถยืดได้มากขึ้น ความสามารถในการคืนรูปของเทอร์โมพลาสติกวัลคาในซ์ พบว่าเมื่อเพิ่มปริมาณยางธรรมชาติ มาลิเอต มีผลทำให้เทอร์พลาสติกวัลคาในซ์มีความสามารถในการกลับคืนรูปได้ดีขึ้นกล่าวคือมี Tension set ลดลง ทั้งนี้เนื่องจากการเพิ่มขึ้นของเฟสยางจะทำให้เทอร์โมพลาสติกมีความ ยืดหยุ่นมากขึ้น เนื่องจากเฟสยางเป็นส่วนที่สามารถผิดรูปและคืนตัวได้ง่าย ดังนั้นเมื่อเพิ่ม ปริมาณยางธรรมชาติอิมาลิเอต ทำให้เทอร์โมพลาสติกวัลคาในซ์มีความยืดหยุ่นสูงขึ้นการคืนรูป ้จึงดีขึ้น ในทางตรงกันข้ามเมื่อเพิ่มปริมาณพอลิโพรไพลีนทำให้ความสามารถในการคืนรูป น้อยลง เนื่องจากพอลิโพรไพลีนเป็นเทอร์โมพลาสติกที่มีความแข็งแรงสูง สายโซ่โมเลกุล จัดเรียงตัวอย่างเป็นระเบียบเกิดเป็นผลึก ซึ่งจะทำให้การคืนรูปหลังจากผิดรูปเกิดขึ้นได้ยาก เนื่องจากสมบัติความยืดหยุ่นต่ำ และเมื่อให้ถูกแรงเค้นกระทำเป็นเวลานานจะทำให้เทอร์โม พลาสติกเสียรูปอย่างถาวรจึงมีส่วนทำให้ ความสามารถในการคืนรูปด้อยลง ส่วนค่าความแข็ง ของเทอร์โมพลาสติกวัลคาในซ์จากการเบลนด์ระหว่างยางธรรมชาติมาลิเอตกับพอลิโพรพิลีนมี แนวโน้มเพิ่มขึ้นตามการเพิ่มปริมาณพอลิโพรพิลีนหรือมีแนวโน้มลดลงตามการเพิ่มสัดส่วนของ ยางธรรมชาติมาลิเอตในพอลิเมอร์เบลนด์ ทั้งนี้เนื่องมาจากพอลิโพรพิลีนเป็นเฟสที่มีความแข็ง และแข็งแรง เมื่อเฟสดังกล่าวมีสัดส่วนที่สูงขึ้นจึงทำให้ค่าความแข็งของเทอร์โมพลาสติกวัลคา ในซ์มีค่าเพิ่มสูงขึ้นด้วย

5.5.2 ลักษณะทางสัณฐานวิทยาของเทอร์โมพลาสติกวัลคาในซ์

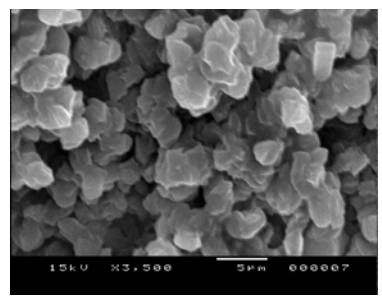
วิเคราะห์สัณฐานวิทยาของเทอร์โมพลาสติกวัลคาในซ์จาการเบลนด์ MNR/PP ใช้ PhHRJ-PPเป็นสารเพิ่มความเข้ากันได้ปริมาณ 7 % wt.PP แปรอัตราส่วนการเบลนด์ระหว่าง MNR/PP เท่ากับ 40/60, 50/50, 60/40 และ 70/30 ได้ผลการทดลองแสดงดังรูปที่ 127

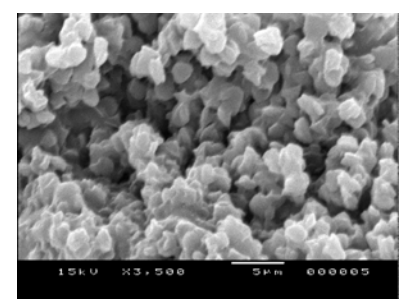


(a) MNR/PP = 40/60



(b) MNR/PP = 50/50





(c) MNR/PP = 60/40

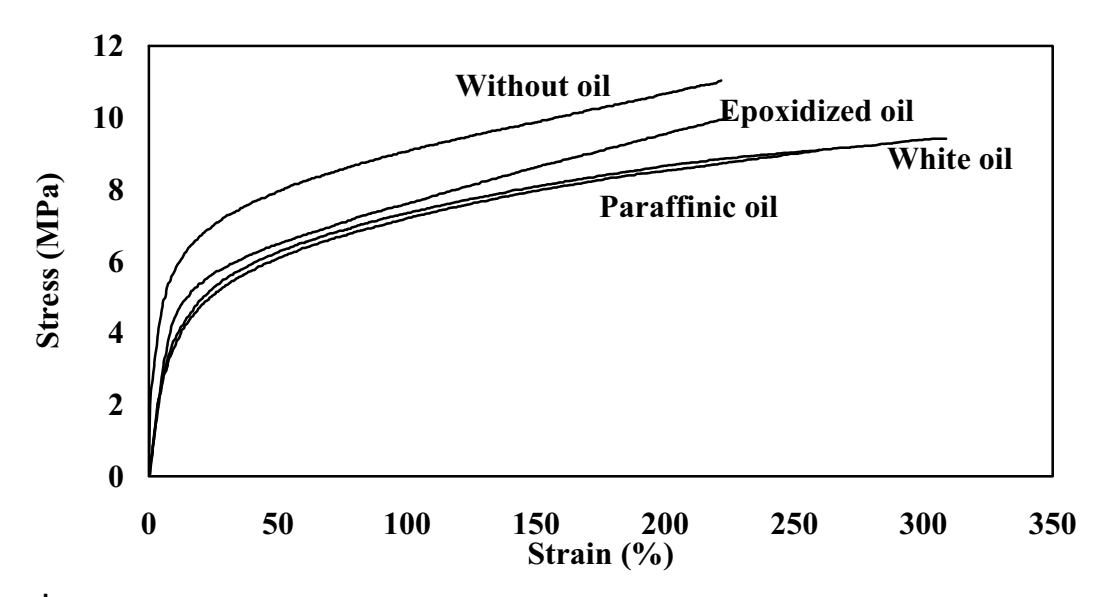
(d) MNR/PP = 70/30

ร**ูปที่ 127** สัณฐานวิทยาของเทอร์โมพลาสติกวัลคาในซ์จากการเบลนด์ระหว่าง MNR/PP ที่ อัตราส่วนต่าง ๆที่กำลังขยาย 3500 เท่า: (a) MNR/PP = 40/60, (b) MNR/PP = 50/50, (c) MNR/PP = 60/40, และ (d) MNR/PP = 70/30

จากผลการทดลองในรูปที่ 127 ทำการสกัดเฟสของพอลิโพรพิลีนออกดังนั้นที่ที่มองเห็น คือลักษณะเฟสของยางธรรมชาติมาลิเอตวัลคาในซ์ที่มีลักษณะเป็นอนุภาคกลมขนาดเล็กซึ่งมี ลักษณะคล้ายคลึงกัน กล่าวคือ มีอนุภาคยางกระจายตัวอย่างต่อเนื่องอยู่ในเฟสของพอลิโพรพิ ลีน โดยขนาดอนุภาคยางธรรมชาติมาลิเอตวัลคาในซ์ที่อัตราส่วนการเบลนด์ 40/60 และ 50/50 มีขนาดใกล้เคียงกันกล่าวคือมีขนาด 5-8 µm โดยที่อัตราส่วน MNR/PP = 50/50 มีขนาด อนุภาคเล็กกว่าที่อัตราส่วน 40/60 เล็กน้อยแต่การเพิ่มอัตราส่วนการเบลนด์เป็น 60/40 จะทำให้ ได้เล็กใกล้เคียงกับอัตราส่วนการเบลนด์ 70/30 คือประมาณ 1 µm ซึ่งการมีขนาดอนุภาคเล็กจะ ทำให้มีความเข้ากันได้ระหว่างเฟสที่ดีจึงทำให้มีค่า tension set ต่ำ และ elongation at break สูงขึ้น ซึ่งผลการทดลองที่ได้มีความสอดคล้องกับผลของสมบัติต่างๆดังแสดงในตารางที่ 58

5.6 อิทธิพลของชนิดน้ำมันต่อสมบัติเทอร์โมพลาสติกวัลคาไนซ์

เตรียม เทอร์โมพลาสติกวัลคาในซ์ จากการเบลนด์ระหว่าง MNR/PP ที่อัตราส่วน 60/40 ใช้ PhHRJ-PP เป็นสารเพิ่มความเข้ากันได้ ศึกษาอิทธิพลของน้ำมันชนิดต่าง ๆ คือ White oil, Paraffinic oil และ Epoxidized oil จากนั้นทำการศึกษาสมบัติเชิงกล ได้ ความสัมพันธ์ระหว่างความเค้นกับความเครียด ดังแสดงในรูปที่ 128



ร**ูปที่ 128** ความสัมพันธ์ระหว่างความเค้น – ความเครียดของเทอร์โมพลาสติกวัลคาในซ์จาก การเบลนด์ MNR/PP ที่ใช้น้ำมันชนิดต่างๆ

จากรูปที่ 128 พบว่าเมื่อพิจารณาถึงความชั้นของกราฟพบว่าเทอร์โมพลาสติกวัลคา ในซ์ที่มีการเติมน้ำมันจะมีความชั้นลดลงโดย หรือมีความแข็งตึงลดลงเมื่อเปรียบเทียบกับชุดที่ ไม่เติมน้ำมันโดยพบว่าเทอร์โมพลาสติกวัลคาในซ์ที่ใช้น้ำมันอิพอกใชด์จะมีค่าความชั้นสูงสุด ส่วนเทอร์โมพลาสติกวัลคาในซ์ที่ใช้น้ำมันพาราฟินิกและน้ำมันขาวนั้นให้ค่าความชั้นใกล้เคียง กัน จากค่าความเค้นและความเครียดที่จุดขาดสามารถนำมาคำนวณหาค่าความต้านทานต่อแรง ดึงและค่าความสามารถในการยืดจนขาดได้ผล ดังแสดงในตารางที่ 59 ในตารางนี้ยังแสดงค่า ความสามารถในการคืนรูป และความแข็งของเทอร์โมพลาสติกวัลคาในซ์ไว้ด้วย

ตารางที่ 59 ความต้านทานต่อแรงดึง ความสามารถในการยืดจนขาด ความสามารถในการคืน รูป และความแข็งของเทอร์โมพลาสติกวัลคาในซ์ จากการเบลนด์ระหว่าง MNR/PP ที่ใช้น้ำมัน ชนิดต่างๆ

Oil Type	Tensile	Elongation at	Tension	Hardness		
	Strength	break	set	(Shore A)		
	(MPa)	(%)	(%)			
Without oil	11.03	212	40	92		
White oil	9.42	308	25	87		
Paraffinic oil	9.24	228	30	84		
Epoxidized oil	10.27	201	35	93		

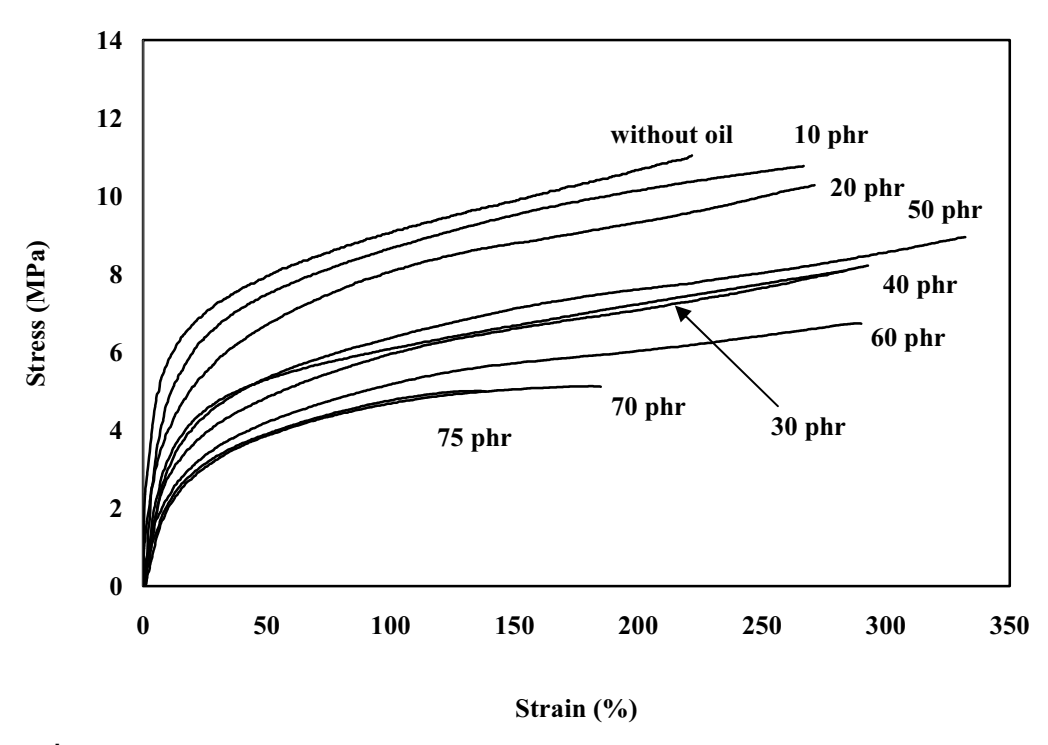
จากตารางที่ 59 พบว่าเทอร์โมพลาสติกวัลคาในซ์ที่ใช้น้ำมันอิพอกไซด์ให้ค่าความ ต้านทานต่อแรงดึงสูงสุดทั้งนี้เนื่องจากโครงสร้างของน้ำมันอิพอกซิไดซ์มีส่วนของวงแหวนอิ พอกไซด์และพันธะ -C=O ซึ่งมีความเป็นขั้วสูงทำให้เข้ากับยางธรรมชาติมาลิเอตที่มีความเป็น ขั้วสูงเพราะมีวงแหวนมาลิอิกแอนไฮไดรด์อยู่ในโมเลกุลของยาง ส่วนค่าความต้านทานต่อแรงดึง ของเทอร์โมพลาสติกที่ใช้น้ำมันพาราฟินิกและน้ำมันขาวนั้นมีค่าใกล้เคียงกัน ส่วนความสามารถ ในการยืดจนขาด พบว่าเทอร์โมพลาสติกวัลคาในซ์ที่ใช้น้ำมันขาวให้ค่าความสามารถในการยืด จนขาดที่สูงสุดเนื่องมาจากน้ำมันขาวช่วยลดการเกี่ยวพันของสายโซ่ช่วยให้โซ่โมเลกุลของยาง หล่อลื่นและเกิดการขยับตัวได้มากขึ้นทำให้สามารถยืดได้ดีที่สุด ส่วนน้ำมันอิพอกไซด์ให้ค่า ความสามารถในการยืดขาดต่ำสุดเนื่องจากเป็นน้ำมันที่มีหมู่วงแหวนอิพอกซี่ซึ่งสามารถเกิด อันตรกิริยากับยางธรรมชาติมาลิเอตได้ดีจึงส่งผลให้เทอร์โมพลาสติกวัลคาในซ์มีความแข็งแรง สูงและมีความสามารถในการยืดต่ำ นอกจากนี้ พบว่าการเติมน้ำมันในเทอร์โมพลาสติกวัลคา ในซ์สามารถปรับปรุงสมบัติความสามารถในการคืนรูปให้ดีขึ้นเนื่องจากน้ำมันช่วยหล่อลื่นให้ สายโซ่โมเลกุลยางสามารถเลื่อนใหลได้ดีและขยับตัวได้ง่ายทำให้เมื่อยืดตัวออกแล้วสามารถคืน กลับรูปเดิมได้ง่าย ซึ่งพบว่าน้ำมันขาวให้ความสามารถในการคืนรูปดีที่สุด รองลงมาคือ น้ำมัน พาราฟินิกและน้ำมันอิพอกไซด์มีค่าต่ำสุด ค่าความแข็งของเทอร์โมพลาสติกวัลคาในซ์ลดลงเมื่อ ้เติมน้ำมันลง เนื่องจากสายโซ่โมเลกุลของยางขยับตัวมากขึ้นเพราะมีน้ำมันช่วยหล่อลื่นและ พบว่าเทอร์โมพลาสติกวัลคาในซ์ที่เติมน้ำมันอิพอกไซด์มีค่าความแข็งสูงสุดเนื่องจากเหตุผลที่ กล่าวมาแล้วข้างต้น

5.7 อิทธิพลปริมาณน้ำมันต่อสมบัติเทอร์โมพลาสติกวัลคาไนซ์

เตรียมเทอร์โมพลาสติกวัลคาในซ์จากการเบลนด์ระหว่าง MNR/PP ที่อัตราส่วน 60/40 โดยทำการแปรปริมาณน้ำมันขาว ดังนี้ คือ 0, 10, 20, 30, 40, 50, 60, 70 และ 75 phr จากนั้น นำเทอร์โมพลาสติกวัลคาในซ์ที่ได้มาศึกษาสมบัติเชิงกล ลักษณะทางสัณฐานวิทยา ได้ผลการ ทดลองดังนี้

5.7.1 การแปรปริมาณน้ำมันขาว

นำเทอร์โมพลาสติกวัลคาในซ์จากการเบลนด์ MNR/PP โดยทำการแปรปริมาณน้ำมัน ขาวมาทำการทดสอบความต้านทานต่อแรงดึง ได้ความสัมพันธ์ระหว่างความเค้นกับ ความเครียด ดังแสดงในรูปที่ 129



ร**ูปที่ 129** ความสัมพันธ์ระหว่างความเค้น–ความเครียดของเทอร์โมพลาสติกวัลคาในซ์จาก การเบลนด์ MNR/PP ที่ใช้น้ำมันขาวที่ปริมาณต่างๆ

จากรูปที่ 129 เมื่อพิจารณาจากความชั้นของกราฟ พบว่าเมื่อเพิ่มปริมาณน้ำมันขาวมี ผลทำให้ความชั้นของกราฟลดลง นั่นคือความแข็งตึงหรือมอดูลัสของเทอร์โมพลาสติกวัลคาในซ์ มีแนวโน้มลดลง ทั้งนี้เนื่องจากน้ำมันจะเข้าไปแทรกตัวระหว่างสายโซ่พอลิเมอร์ทำให้สายโซ่พอลิเมอร์ขยับตัวได้ง่ายขึ้นและวัสดุที่ได้มีความนิ่มลง ทำให้เทอร์โมพลาสติกวัลคาในซ์มีความ ยืดหยุ่นที่ดีขึ้นส่งผลให้มีมอดูลัสน้อยลง ซึ่งที่จุดขาดของเทอร์โมพลาสติกวัลคาในซ์สามารถคำนวณหาค่าความต้านทานต่อแรงดึง และค่าความสามารถในการยืดจนขาด ได้ดังตารางที่ 60 ซึ่งแสดงผลการทดสอบสมบัติความสามารถในการคืนรูป และความแข็งในตารางนี้ด้วย

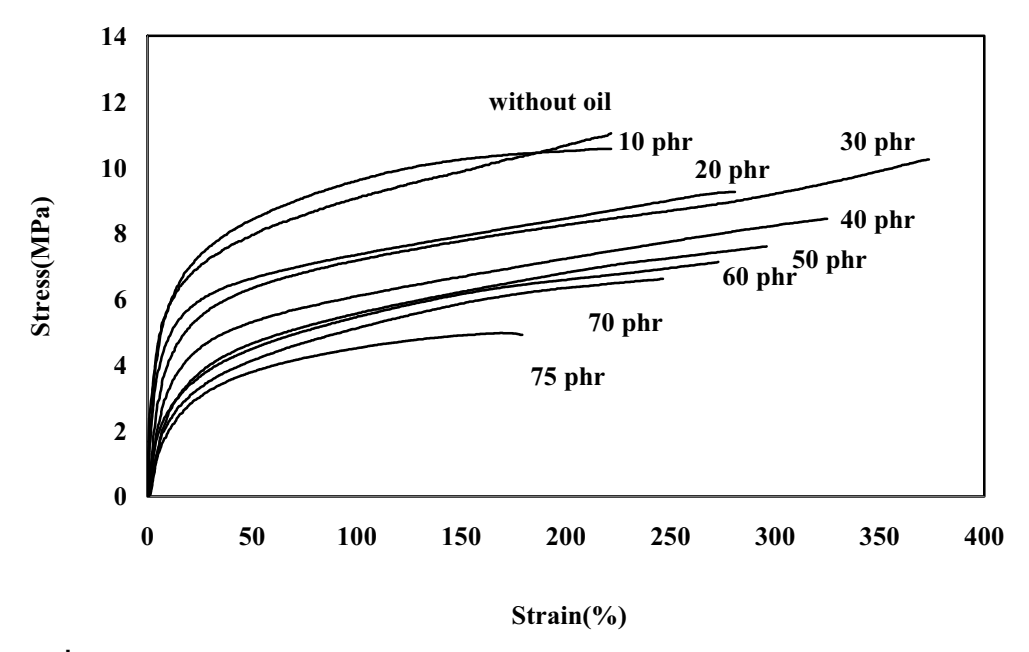
ตารางที่ 60 ความต้านทานต่อแรงดึง ความสามารถในการยืดจนขาด ความสามารถในการคืน กลับสู่รูปร่างเดิมและความแข็งของเทอร์โมพลาสติกวัลคาในซ์ จากการเบลนด์ระหว่าง MNR/PP โดยแปรปริมาณน้ำมันขาว

Mechanical Properties	Quantities of white oil (phr)								
	0	10	20	30	40	50	60	70	75
Tensile strength (MPa)	12.01	10.77	10.28	8.89	8.23	8.54	6.74	5.13	5.01
Elongation at break (%)	159	238	271	280	292	332	264	184	173
Hardness (Shore A)	90	86	81	78	76	75	75	73	72
Tension set (%)	55	45	30	25	20	20	15	15	15

จากตารางที่ 60 พบว่าค่าความต้านทานต่อแรงดึงของเทอร์โมพลาสติกวัลคาในซ์มี แนวโน้มลดลงตามการเพิ่มปริมาณน้ำมันทั้งนี้น้ำมันที่เติมเข้าไปจะทำหน้าที่เป็นตัวหล่อลื่น ระหว่างสายโซ่พอลิเมอร์ทำให้สายโซ่พอลิเมอร์ขยับตัวได้ง่ายขึ้นและเมื่อได้รับแรงดึงยืดสายโซ่ พอลิเมอร์สามารถเกิดผลึกได้น้อยลง ทำให้เทอร์โมพลาสติกวัลคาในซ์มีความแข็งแรงลดลง และ การที่วัสดุมีความนิ่มลง จึงทำให้ทนทานต่อแรงดึงลดลงด้วย ส่วนค่าความสามารถในการยืดจน ขาดพบว่าเมื่อเพิ่มปริมาณน้ำมันขาว มีผลทำให้ความสามารถในการยืดจนขาดของเทอร์โม พลาสติกวัลคาในซ์มีแนวโน้มเพิ่มขึ้น ทั้งนี้เนื่องจากน้ำมันที่เติมเข้าไปจะทำหน้าที่เป็นตัวหล่อ ลื่นระหว่างสายโซ่พอลิเมอร์ทำให้สายโซ่พอลิเมอร์ขยับตัวได้ง่ายขึ้น ซึ่งนั่นคือมีสมบัติยืดหยุ่น มากขึ้น จนถึงระดับน้ำมันที่ 50 phr การเพิ่มปริมาณน้ำมันมากกว่านี้จะมีผลทำให้ ความสามารถในการยืดมีแนวโน้มลดลง คาจเป็นเพราะปริมาณน้ำมันที่ใช้มากเกินไป จะทำให้ สายโซ่พอลิเมอร์เกิดการลื่นไถลไม่สามารถเกี่ยวพันกันได้ส่งผลให้มีความสามารถในการยืดจน ขาดลดลง อีกทั้งน้ำมันที่มากเกินอาจเกิดเป็นเฟสที่ 3 หรือ ไมเซลล์ (micelle) หรือน้ำมันเกิด การรวมตัวกันมากเกินไป ซึ่งจุดนี้จะก่อให้เกิดความแข็งแรงน้อยหรือเป็นจุดอ่อนทำให้เทอร์โม พลาสติกวัลคาในซ์ขาดได้ง่ายขึ้น นอกจากนี้พบว่าเมื่อเพิ่มปริมาณน้ำมันมีผลทำให้ความแข็ง ของเทอร์โมพลาสติกวัลคาในซ์มีแนวโน้มลดลงแต่ความสามารถในการคืนรูปเพิ่มขึ้น ทั้งนี้ เนื่องจากน้ำมันจะทำหน้าที่เป็นตัวหล่อลื่นระหว่างสายโซ่พอลิเมอร์ทำให้สายโซ่พอลิเมอร์ขยับ ้ตัวได้ง่ายขึ้น ซึ่งนั่นคือมีสมบัติยืดหยุ่นมากขึ้นและมีความนิ่มมากขึ้นและมีความยืดหยุ่นมากขึ้น

5.7.2 การแปรปริมาณน้ำมันพาราฟินิก

นำเทอร์โมพลาสติกวัลคาในซ์จากการเบลนด์ MNR/PP โดยทำการแปรปริมาณน้ำมัน พาราฟินิกมาทำการทดสอบความต้านทานต่อแรงดึง ได้ความสัมพันธ์ระหว่างความเค้นกับ ความเครียด ดังแสดงในรูปที่ 130



ร**ูปที่ 130** ความสัมพันธ์ระหว่างความเค้น–ความเครียดของเทอร์โมพลาสติกวัลคาในซ์จาก การเบลนด์ MNR/PP ที่ใช้น้ำมันพาราฟินิกที่ปริมาณต่างๆ

จากรูปที่ 130 เมื่อพิจารณาจากความชั้นของกราฟ พบว่าเมื่อปริมาณน้ำมันพาราฟินิก เพิ่มขึ้นความชั้นของกราฟลดลงในทำนองเดียวกับการเพิ่มน้ำมันขาว นั่นคือความแข็งตึงหรือ มอดูลัสของเทอร์โมพลาสติกวัลคาในซ์มีแนวโน้มลดลง ทั้งนี้เนื่องจากน้ำมันจะเข้าไปแทรกตัว ระหว่างสายโซ่พอลิเมอร์ทำให้สายโซ่พอลิเมอร์ขยับตัวได้ง่ายขึ้นและวัสดุที่ได้มีความนิ่มลง ทำ ให้เทอร์โมพลาสติกวัลคาในซ์มีความยืดหยุ่นที่ดีขึ้นส่งผลให้มีมอดูลัสน้อยลง จากจุดขาดของ เทอร์โมพลาสติกวัลคาในซ์นั้นสามารถคำนวณหาค่าความต้านทานต่อแรงดึง และค่า ความสามารถในการยืดจนขาด ได้ดังตารางที่ 61 ซึ่งแสดงผลการทดสอบสมบัติความสามารถ ในการคืนรูป และความแข็งในตารางนี้ด้วย

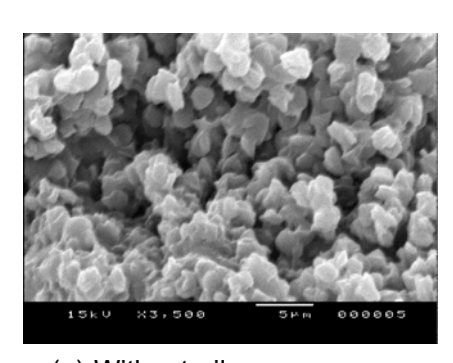
ตารางที่ 61 ความต้านทานต่อแรงดึง, ความสามารถในการยืดจนขาด ความสามารถในการคืน กลับสู่รูปร่างเดิมและความแข็งของเทอร์โมพลาสติกวัลคาในซ์ จากการเบลนด์ระหว่าง MNR/PP โดยแปรปริมาณน้ำมันพาราฟินิก

Mechanical Properties	Quantities of paraffinic oil (phr)								
	0	10	20	30	40	50	60	70	75
Tensile strength (MPa)	12.01	10.1	9.25	9.36	7.56	7.6	7.13	6.67	4.97
Elongation at break (%)	159	221	280	374	324	296	272	243	179
Hardness (Shore A)	90	86	84	80	80	75	72	70	69
Tension set (%)	55	45	40	35	30	25	20	15	15

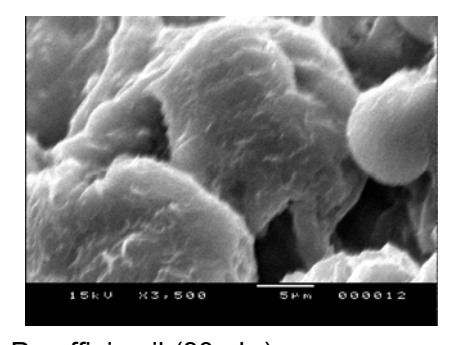
จากตารางที่ 62 พบว่าเมื่อเพิ่มปริมาณน้ำมันพาราฟินิก มีผลทำให้ความต้านทานต่อ แรงดึงของเทอร์โมพลาสติกวัลคาในซ์มีแนวโน้มลดลง ทั้งนี้น้ำมันที่เติมเข้าไปจะทำหน้าที่เป็นตัว หล่อลื่นระหว่างสายโซ่พอลิเมอร์และน้ำมันเป็นตัวที่เข้าไปเพิ่มความไม่เป็นระเบียบแก่สายโซ่พอ ลิเมอร์ ทำให้สายโซ่พอลิเมอร์ขยับตัวได้ง่ายขึ้นและเมื่อได้รับแรงดึงยืดสายโซ่พอลิเมอร์สามารถ ตกผลึกได้น้อยลง ทำให้เทอร์โมพลาสติกวัลคาในซ์มีความแข็งแรงลดลง และการที่วัสดุมีความ นิ่มลง จึงทำให้ทนต่อแรงดึงลดลงด้วย ส่วนค่าความสามารถในการยืดจนขาด พบว่าเมื่อเพิ่ม ปริมาณน้ำมันพาราฟินิก มีผลทำให้ความสามารถในการยืดจนขาดของเทอร์โมพลาสติกวัลคา ในซ์มีแนวโน้มเพิ่มขึ้น ทั้งนี้เนื่องจากน้ำมันที่เติมเข้าไปจะทำหน้าที่เป็นตัวหล่อลื่นระหว่างสาย โซ่พอลิเมอร์ทำให้สายโซ่พอลิเมอร์ขยับตัวได้ง่ายขึ้น ซึ่งนั่นคือมีสมบัติยืดหยุ่นมากขึ้น และ จนถึงระดับน้ำมันที่ 30 phr การเพิ่มน้ำมันพาราฟินิกมากกว่านี้จะทำให้ ความสามารถในการยืด มีแนวโน้มลดลง อาจเป็นเพราะปริมาณน้ำมันที่มากเกินไป จะทำให้สายโซ่พอลิเมอร์เกิดการลื่น ไถลไม่สามารถเกี่ยวพันกันได้ส่งผลให้มีความสามารถในการยืดจนขาดลดลง อีกทั้งน้ำมันที่มาก เกินอาจเกิดเป็นไมเซลล์ซึ่งเป็นจุดอ่อนทำให้เทอร์โมพลาสติกวัลคาในซ์ขาดได้ง่ายขึ้น ค่าความ แข็งมีแนวโน้มลดลงแต่ความสามารถในการคืนรูปดีขึ้นเมื่อเพิ่มปริมาณน้ำมันพาราฟินิก ทั้งนี้ เนื่องจากน้ำมันจะทำหน้าที่เป็นตัวหล่อลื่นระหว่างสายโซ่พอลิเมอร์ทำให้สายโซ่พอลิเมอร์ขยับ ตัวได้ง่ายขึ้น ซึ่งนั่นคือมีสมบัติยืดหยุ่นมากขึ้นและมีความนิ่มมากขึ้น

5.7.3 สัณฐานวิทยาของ TPVs ที่ใช้น้ำมันขาวและน้ำมันพาราฟินิก

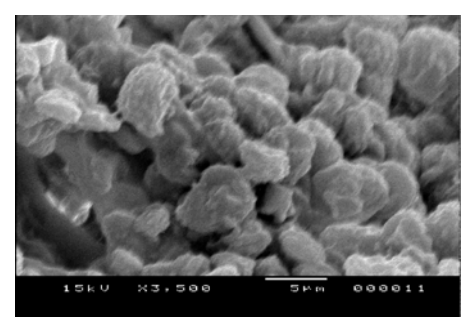
วิเคราะห์สัณฐานวิทยาของเทอร์โมพลาสติกวัลคาในซ์จากการเบลนด์ MNR/PP ที่อัตราส่วน 60/40 ใช้ PhHRJ-HDPE เป็นสารเพิ่มความเข้ากันได้ โดยแปรปริมาณ น้ำมันขาวและน้ำมัน พาราฟินิก ได้ผลการทดลองแสดงดังในรูปที่ 131



(a) Without oil



(b) Paraffinic oil (30 phr)



(c) White oil (50 phr)

ร**ูปที่ 131** สัณฐานวิทยาของเทอร์โมพลาสติกวัลคาในซ์จากการเบลนด์ระหว่าง MNR/PP ที่ อัตราส่วน 60/40 ที่ใช้น้ำมันขาวและน้ำมันพาราฟินิก: (a) Without oil, (b) Paraffinic oil = 30 phr และ c) White oil = 50 phr

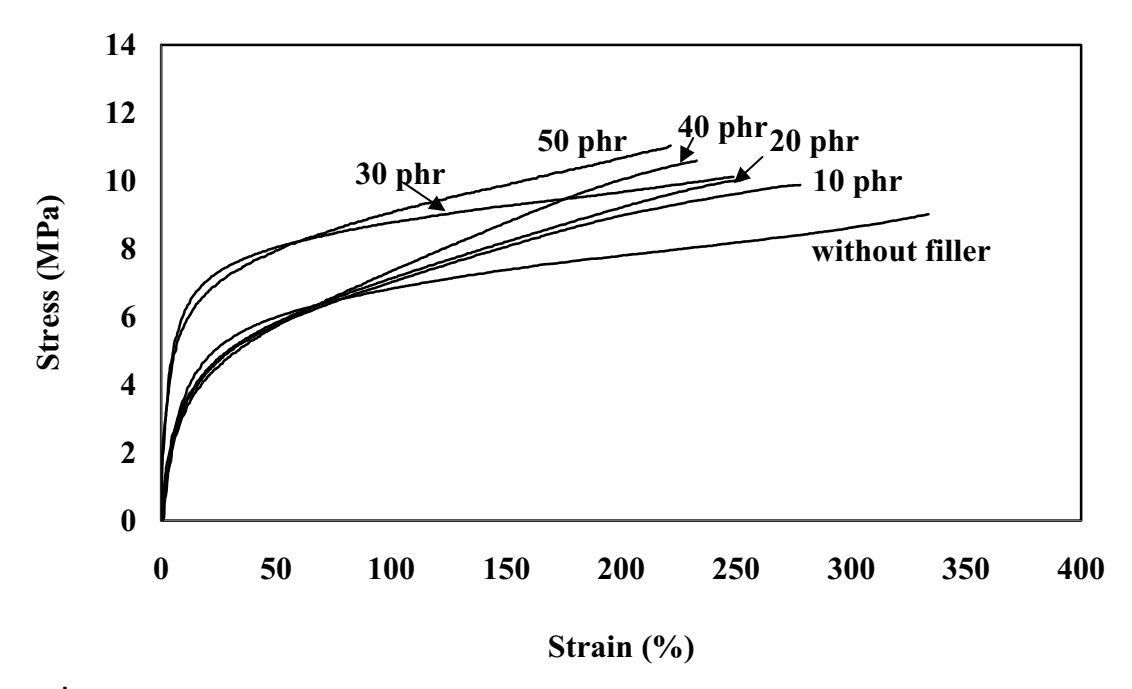
จากการทดลองซึ่งทำการสกัดเฟสของพอลิโพรพิลีนออกไป ลักษณะของสัณฐานวิทยา จึงแสดงเฟสของยางธรรมชาติมาลิเอตวัลคาในซ์ จากรูปที่ 131 พบว่าลักษณะเทอร์โม พลาสติกวัลคาในซ์ที่ใช้น้ำมันขาวและน้ำมันพาราฟินิกมีลักษณะที่คล้ายกัน คือ อนุภาคยางวัล คาในซ์มีการกระจายตัวอย่างต่อเนื่องในเฟสของพอลิโพรพิลีน โดยขนาดอนุภาคยางธรรมชาติ มาลิเอตวัลคาในซ์มีขนาดใหญ่ขึ้นเมื่อผสมเพิ่มน้ำมันขาวและน้ำมันพาราฟินิก เนื่องมาจากการ ผสมน้ำมันเข้าไปทำให้น้ำมันทำให้อนุภาคยางเกิดการบวมและมีขนาดใหญ่ขึ้นโดยเทอร์โม พลาสติกวัลคาในซ์ที่ไม่ผสมน้ำมันมีขนาดอนุภาคเล็กที่สุด

5.8 อิทธิพลสารตัวเติมต่อสมบัติเทอร์โมพลาสติกวัลคาในซ์

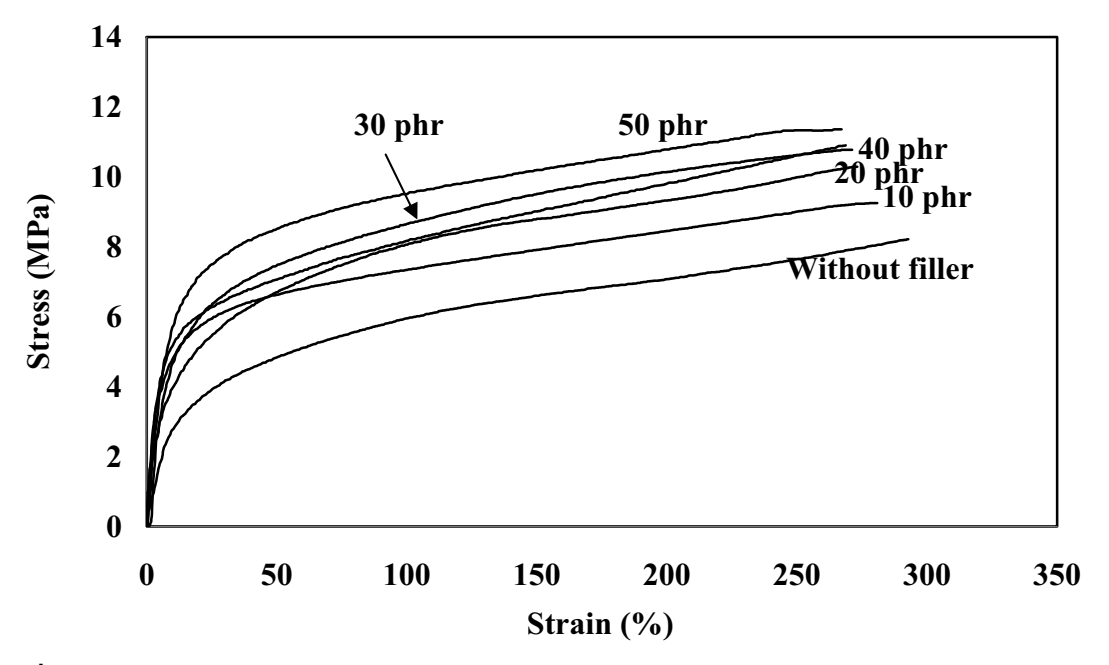
เตรียมเทอร์โมพลาสติกวัลคาในซ์จากการเบลนด์ระหว่าง MNR/PP ที่อัตราส่วนการเบลนด์เท่ากับ 60/40 ใช้ PhHRJ-PP เป็นสารเพิ่มความเข้ากันได้และใช้น้ำมันพาราฟินิก 30 phr โดยทำการแปรปริมาณเขม่าดำและซิลิกา ดังนี้คือ 0, 10, 20, 30, 40 และ 50 phr ตามลำดับ จากนั้นนำเทอร์โมพลาสติกวัลคาในซ์ที่ได้ไปศึกษาสมบัติต่างๆ

5.8.1 สมบัติเชิงกล

จากการทดสอบความต้านทานต่อแรงดึงของเทอร์โมพลาสติกวัลคาในซ์จากการเบลนด์ MNR/PP ที่อัตราส่วน 60/40 โดยใช้ PhHRJ-PP เป็นสารเพิ่มความเข้ากันได้และใช้น้ำมันพารา ฟินิกปริมาณ 30 phr โดยแปรปริมาณเขม่าดำได้ความสัมพันธ์ระหว่างความเค้นกับความเครียด ของ TPVs ที่ผสมเขม่าดำและซิลิกาดังแสดงในรูปที่ 132 และ 133 ตามลำดับ



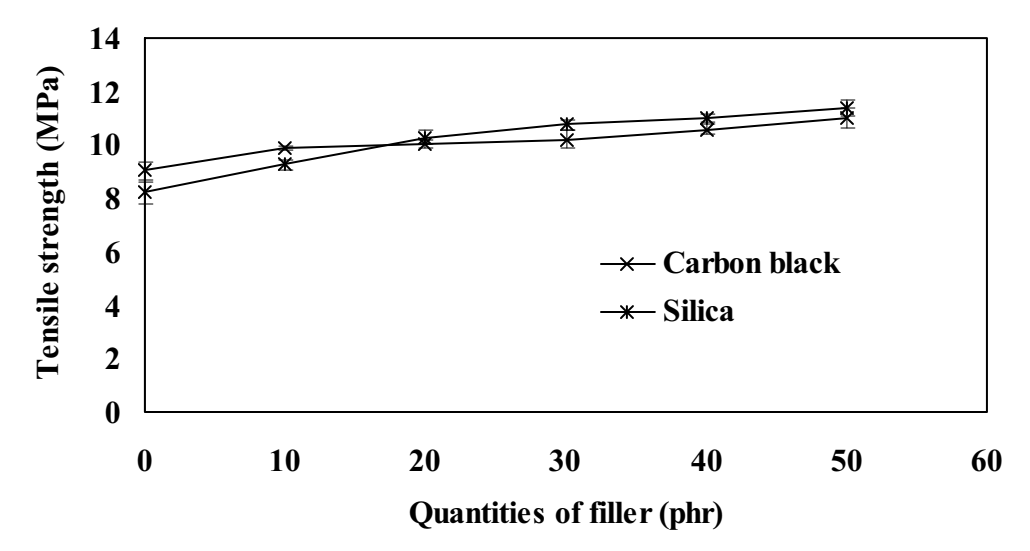
ร**ูปที่ 132** ความสัมพันธ์ระหว่างความเค้นกับความเครียดของเทอร์โมพลาสติกวัลคาในซ์จาก การเบลนด์ MNR/PP โดยแปรปริมาณเขม่าดำ



ร**ูปที่ 133** ความสัมพันธ์ระหว่างความเค้นกับความเครียดของเทอร์โมพลาสติกวัลคาในซ์จาก การเบลนด์ MNR/PP โดยแปรปริมาณซิลิกา

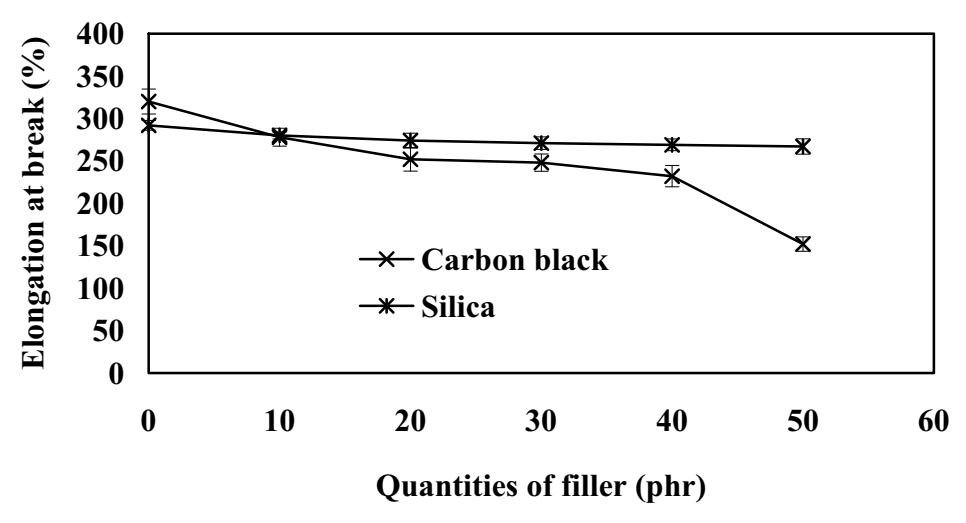
จากรูปที่ 132 และ 133 พบว่าเมื่อเพิ่มปริมาณสารตัวเติม มีผลทำให้เทอร์โม พลาสติกวัลคาในซ์มีความแข็งตึงหรือมอดูลัสเพิ่มขึ้น ทั้งนี้เนื่องจากเป็นสารตัวเติมชนิดเสริม ประสิทธิภาพ โดยสารตัวเติมที่เติมลงไปสามารถเกิดอันตรกิริยากับสายโช่พอลิเมอร์ ส่งผลให้ เทอร์โมพลาสติกมีความแข็งตึงมากขึ้น

จากข้อมูลในรูปที่ 132 และ 133 เขียนกราฟเปรียบเทียบความต้านทานต่อแรงดึงของ เทอร์โมพลาสติกวัลคาในซ์จากการเบลนด์ MNR/PP ที่แปรปริมาณเขม่าดำได้ผลแสดงดังรูปที่ 134



ร**ูปที่ 134** ความต้านทานต่อแรงดึงของเทอร์โมพลาสติกวัลคาในซ์จากการเบลนด์ MNR/PP ที่ แปรปริมาณสารตัวเติม

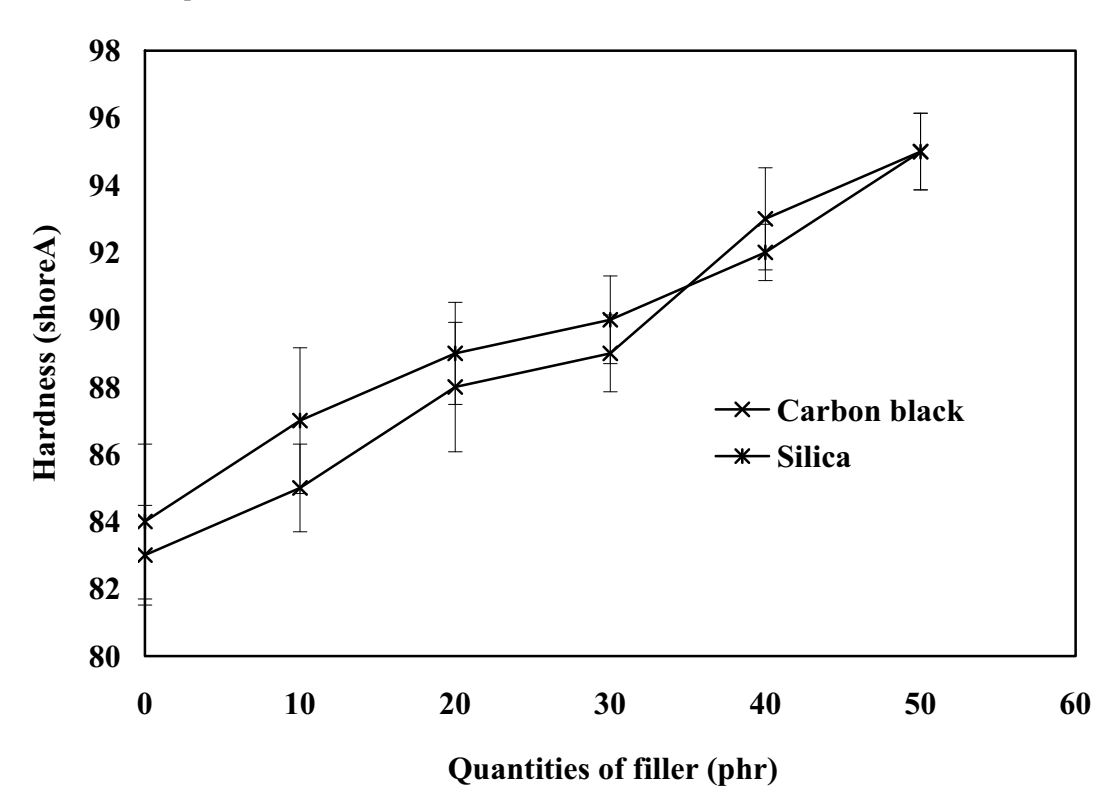
จากรูปที่ 134 พบว่าเมื่อเพิ่มปริมาณสารตัวเติม มีผลทำให้ความต้านทานต่อแรงดึงของ เทอร์โมพลาสติกวัลคาในซ์มีแนวโน้มเพิ่มขึ้น ทั้งนี้เนื่องจากซิลิกาและเขม่าดำเป็นสารตัวเติม ชนิดเสริมประสิทธิภาพ โดยสารตัวเติมที่เติมลงไปสามารถเกิดอันตรกิริยากับสายโซ่พอลิเมอร์ ทำให้เทอร์โมพลาสติกวัลคาในซ์มีความแข็งแรงเพิ่มขึ้น ความสามารถในการยืดจนขาดของ เทอร์โมพลาสติกวัลคาในซ์จากการเบลนด์ MNR/PP ที่แปรปริมาณสารตัวเติม แสดงดังรูปที่ 135



ร**ูปที่ 135** ความสามารถในการยืดจนขาดของเทอร์โมพลาสติกวัลคาในซ์จากการเบลนด์ MNR/PPโดยแปรปริมาณสารตัวเติม

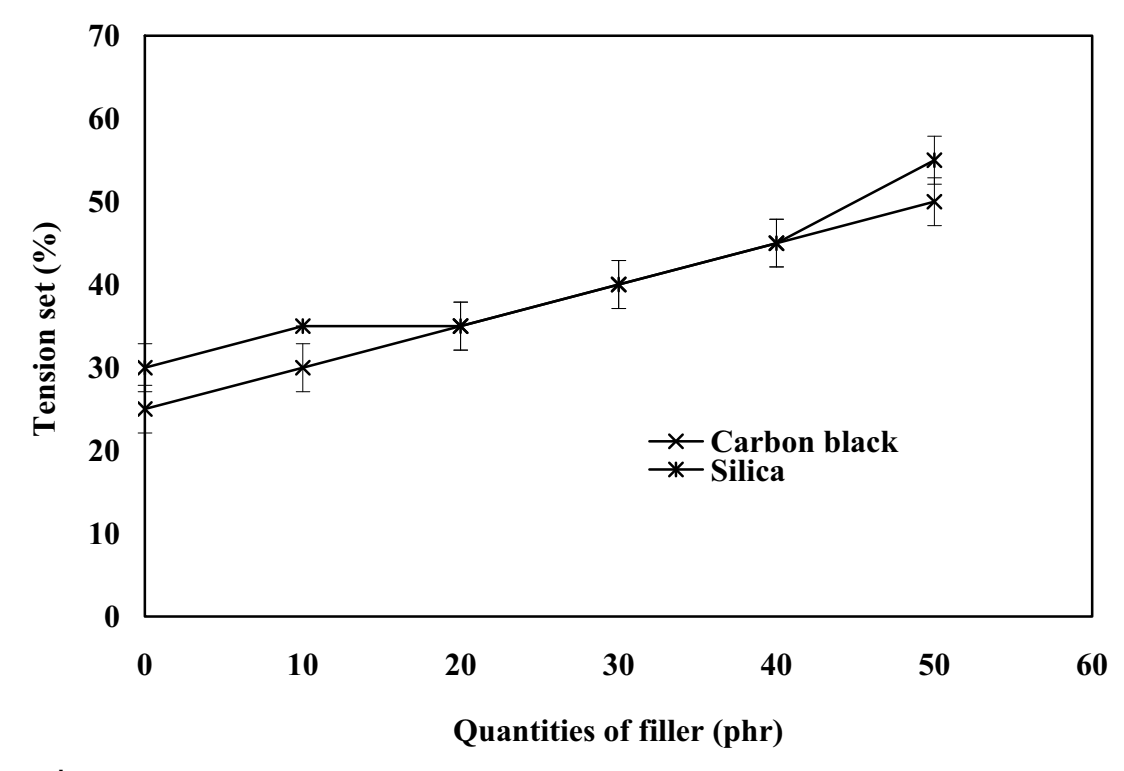
จากรูปที่ 135 พบว่าเมื่อเพิ่มปริมาณสารตัวเติม มีผลทำให้ความสามารถในการยืดของ เทอร์โมพลาสติกวัลคาในซ์มีแนวโน้มลดลง เนื่องจากสารตัวเติมซิลิกาและเขม่าดำเป็นสารตัว เติมชนิดเสริมประสิทธิภาพ ทำให้เทอร์โมพลาสติกวัลคาในซ์มีความแข็งแรงเพิ่มขึ้น โดยจะเกิด อันตรกิริยากับสายโช่พอลิเมอร์ ทำให้พอลิเมอร์ขยับตัวได้ยากและมีความยืดหยุ่นลดลง ซึ่ง พบว่าการใช้ซิลิกาทำให้ค่าความสามารถในการยืดขาดน้อยกว่ากรณีการใช้เขม่าดำที่ปริมาณ เดียวกัน ทั้งนี้อาจจะมีสาเหตุมาจากการมีไซเลนเป็นส่วนช่วยให้ยางกับซิลิกามีอันตรกิรยากัน สูงขึ้น

ความแข็งของเทอร์โมพลาสติกวัลคาในซ์จากการเบลนด์ MNR/PPโดยแปรแปรปริมาณ ซิลิกา แสดงดังรูปที่ 136



ร**ูปที่ 136** ความแข็งของเทอร์โมพลาสติกวัลคาในซ์จากการเบลนด์ MNR/PPโดยแปรแปร ปริมาณสารตัวเติม

จากรูปที่ 136 พบว่าเมื่อเพิ่มปริมาณสารตัวเติม มีผลทำให้ความแข็งของเทอร์โม พลาสติกวัลคาในซ์มีแนวโน้มเพิ่มขึ้นเล็กน้อย จากเหตุผลที่ได้กล่าวมาแล้วว่าสารตัวเติมที่เติม ลงไปจะเข้าไปแทรกระหว่างสายโซ่โมเลกุลพอลิเมอร์และเกิดอันตรกิริยากับสายโซ่พอลิเมอร์ ทำ ให้สายโซ่พอลิเมอร์ขยับตัวได้ยาก ทำให้แรงต้านการกดมากขึ้นความแข็งของเทอร์โม พลาสติกวัลคาในซ์จะสูงขึ้นตามปริมาณสารตัวเติมที่เพิ่มขึ้น ความสามารถในการคืนรูปของ เทอร์โมพลาสติกวัลคาในซ์จากการเบลนด์ MNR/PP ที่อัตราส่วน 60/40 โดยแปรปริมาณซิลิกา แสดงดังรูปที่ 136



ร**ูปที่ 137** ความสามารถในการคืนรูปของเทอร์โมพลาสติกวัลคาในซ์จากการเบลนด์ MNR/PP ที่อัตราส่วน 60/40 โดยแปรปริมาณซิลิกา

จากรูปที่ 137 พบว่าเมื่อเพิ่มปริมาณสารตัวเติม มีผลทำให้ความสามารถในการคืนรูป ของเทอร์โมพลาสติกวัลคาในซ์มีแนวโน้มลดลง (Tension set เพิ่มขึ้น) ทั้งนี้เนื่องจาก ซิลิกาและ เขม่าดำที่เติมลงไปจะเข้าไปแทรกระหว่างสายโซ่โมเลกุลพอลิเมอร์และเกิดอันตรกิริยาระหว่าง พอลิเมอร์ทำให้สายโซ่พอลิเมอร์ขยับตัวได้ยากและสมบัติความยืดหยุ่นจะลดลง ทำให้ ความสามารถในการคืนรูปร่างเดิมลดลงตามปริมาณซิลิกาที่เพิ่มขึ้น ซึ่งมีแนวโน้มเช่นเดียวกับ ความสามารถในการยืดจนขาด

5.8.2 สัณฐานวิทยาของเทอร์โมพลาสติกวัลคาไนซ์ที่แปรปริมาณสารตัวเติม

วิเคราะห์สัณฐานวิทยาของเทอร์โมพลาสติกวัลคาในซ์จากการเบลนด์ MNR/PP ที่อัตราส่วน 60/40 ใช้ PhHRJ-PP เป็นสารเพิ่มความเข้ากันได้และใช้น้ำมันพาราฟินิก 30 phr โดยแปร ปริมาณ เขม่าดำ ที่ 0, 10, 20, 30, 40, และ 50 phr ตามลำดับ ได้ผลการทดลองแสดงดังในรูปที่ 138 และ 139 ในกรณีการใช้เขม่าดำและซิลิกา ตามลำดับ